

برقی و مقناطیسیات

خالد خان یوسفزئی
 کامیٹ انسٹیٹیوٹ آف انفارمیشن ٹیکنالوجی، اسلام آباد
 khalidyousafzai@comsats.edu.pk

عنوان

3

1	4	سمتیات	1
1	5	مقداری اور سمتیہ	1.1
2	6	سمتی الجبرا	1.2
3	7	کارتیسی محدود	1.3
5	8	اکائی سمتیات	1.4
9	9	میدانی سمتیہ	1.5
9	10	سمتی رقبہ	1.6
10	11	غیر سمتی ضرب	1.7
14	12	سمتی ضرب یا صلیبی ضرب	1.8
17	13	گول نلکی محدود	1.9
20	14	1.9.1 نلکی اکائی سمتیات کا کارتسی اکائی سمتیات کے ساتھ غیر سمتی ضرب	
20	15	1.9.2 نلکی اور کارتسی اکائی سمتیات کا تعلق	
25	16	1.9.3 نلکی لامحدود سطحیں	
27	17	1.10 کروی محدود	
39	18	کولمب کا قانون	2
39	19	2.1 قوت کشش یا دفع	
43	20	2.2 برقی میدان کی شدت	
46	21	2.3 یکساں چارج بردار سیدھی لامحدود لکیر کا برقی میدان	
51	22	2.4 یکساں چارج بردار ہموار لامحدود سطح	
55	23	2.5 چارج بردار حجم	
56	24	2.6 مزید مثال	
64	25	2.7 برقی میدان کے سمت بہاؤ خط	

69 ²⁶	گاؤس کا قانون اور پھیلاؤ	3
69 ²⁷	ساکن چارج	3.1
69 ²⁸	فیراڈے کا تجربہ	3.2
70 ²⁹	گاؤس کا قانون	3.3
72 ³⁰	گاؤس کے قانون کا استعمال	3.4
72 ³¹	نقطہ چارج	3.4.1
74 ³²	یکساں چارج بردار کروی سطح	3.4.2
74 ³³	یکساں چارج بردار سیدھی لامحدود لکیر	3.4.3
75 ³⁴	ہم محوری تار	3.5
77 ³⁵	یکساں چارج بردار ہموار لامحدود سطح	3.6
77 ³⁶	انتہائی چھوٹی حجم پر گاؤس کے قانون کا اطلاق	3.7
80 ³⁷	پھیلاؤ	3.8
82 ³⁸	نلکی محدود میں پھیلاؤ کی مساوات	3.9
84 ³⁹	پھیلاؤ کی عمومی مساوات	3.10
86 ⁴⁰	مسئلہ پھیلاؤ	3.11
93 ⁴¹	توانائی اور برقی دباؤ	4
93 ⁴²	توانائی اور کام	4.1
94 ⁴³	لکیری تکملہ	4.2
99 ⁴⁴	برقی دباؤ	4.3
100 ⁴⁵	نقطہ چارج کا برقی دباؤ	4.3.1
101 ⁴⁶	لکیری چارج کثافت سے پیدا برقی دباؤ	4.3.2
102 ⁴⁷	ہم محوری تار کا برقی دباؤ	4.3.3
102 ⁴⁸	متعدد نقطہ چارجوں کی برقی دباؤ	4.4
106 ⁴⁹	برقی دباؤ کی ڈھلوان	4.5
110 ⁵⁰	نلکی محدود میں ڈھلوان	4.5.1
111 ⁵¹	کروی محدود میں ڈھلوان	4.5.2
112 ⁵²	جفت قطب	4.6
114 ⁵³	جفت قطب کے سمت بہاؤ خط	4.6.1
117 ⁵⁴	ساکن برقی میدان کی کثافت توانائی	4.7

125 _s	موصل، ذو برق اور کیپسٹر	5
125 _{s6}	برقی رو اور کثافت برقی رو	5.1
127 _{s7}	استمراری مساوات	5.2
129 _{s8}	موصل	5.3
134 _{s9}	موصل کے خصوصیات اور سرحدی شرائط	5.4
137 _{s10}	عکس کی ترکیب	5.5
140 _{s11}	نیم موصل	5.6
141 _{s12}	ذو برق	5.7
146 _{s13}	کامل ذو برق کے سرحد پر برقی شرائط	5.8
150 _{s14}	موصل اور ذو برقی کے سرحدی شرائط	5.9
150 _{s15}	کیپسٹر	5.10
152 _{s16}	5.10.1 متوازی چادر کیپسٹر	
153 _{s17}	5.10.2 ہم محوری کیپسٹر	
153 _{s18}	5.10.3 ہم محوری کرہ کیپسٹر	
155 _{s19}	5.11 سلسلہ وار اور متوازی جڑے کیپسٹر	
156 _{s20}	5.12 دو متوازی تاروں کا کیپسٹنس	
169 _{s21}	پوٹنسن اور لاپلاس مساوات	6
171 _{s22}	6.1 مسئلہ یکنائی	
173 _{s23}	6.2 لاپلاس مساوات خطی ہے	
173 _{s24}	6.3 نلکی اور کروی محدود میں لاپلاس کی مساوات	
174 _{s25}	6.4 لاپلاس مساوات کے حل	
181 _{s26}	6.5 پوٹنسن مساوات کے حل کی مثال	
183 _{s27}	6.6 لاپلاس مساوات کا ضربی حل	
191 _{s28}	6.7 عددی دہرائے کا طریقہ	

199 ₉	ساکن مقناطیسی میدان	7
199 ₀	بایوٹ-سیوارٹ کا قانون	7.1
203 ₁	ایمپیٹر کا دوری قانون	7.2
209 ₂	گردش	7.3
216 ₃	نلکی محدود میں گردش	7.3.1
222 ₄	عمومی محدود میں گردش کی مساوات	7.3.2
224 ₅	کروی محدود میں گردش کی مساوات	7.3.3
224 ₆	مسئلہ سٹوکس	7.4
228 ₇	مقناطیسی بہاو اور کثافت مقناطیسی بہاو	7.5
234 ₈	غیر سمتی اور سمتی مقناطیسی دباؤ	7.6
240 ₉	ساکن مقناطیسی میدان کے قوانین کا حصول	7.7
240 ₀	سمتی مقناطیسی دباؤ	7.7.1
241 ₁	ایمپیٹر کا دوری قانون	7.7.2
249 ₂	مقناطیسی قوتیں، مقناطیسی مادے اور امالہ	8
249 ₃	متحرک چارج پر قوت	8.1
250 ₄	تفرقی چارج پر قوت	8.2
254 ₅	برقی رو گزارتے تفرقی تاروں کے مابین قوت	8.3
255 ₆	قوت اور مروڑ	8.4
261 ₇	فولادی مقناطیسی اشیاء اور مقناطیسی خطے	8.5
262 ₈	مقناطیسیت اور مقناطیسی مستقل	8.6
265 ₉	مقناطیسی سرحدی شرائط	8.7
268 ₀₀	مقناطیسی دور	8.8
271 ₀₁	مقناطیسی مخفی توانائی	8.9
271 ₀₂	خود امالہ اور مشترکہ امالہ	8.10
277 ₀₃	مشترکہ امالہ	8.11

283 ₀₄	وقت کے ساتھ بدلنے میدان اور میکس ویل کے مساوات	9
283 ₀₅	فیراڈے کا قانون	9.1
290 ₀₆	انتقالی برقی رو	9.2
296 ₀₇	میکس ویل مساوات کی نقطہ شکل	9.3
298 ₀₈	میکس ویل مساوات کی تکمل شکل	9.4
303 ₀₉	تاخیری دباؤ	9.5
311 ₁₀	مستوی امواج	10
311 ₁₁	خالی خلاء میں برقی و مقناطیسی مستوی امواج	10.1
312 ₁₂	برقی و مقناطیسی مستوی امواج	10.2
320 ₁₃	10.2.1 خالی خلاء میں امواج	
323 ₁₄	10.2.2 خالص یا کامل ذو برق میں امواج	
325 ₁₅	10.2.3 ناقص یا غیر کامل ذو برقی میں امواج	
329 ₁₆	10.3 پوئنٹنگ سمتیہ	
334 ₁₇	10.4 پوئنٹنگ سمتیہ اور برقی دور	
336 ₁₈	10.5 موصل میں امواج	
342 ₁₉	10.6 انعکاس مستوی موج	
349 ₂₀	10.7 شرح ساکن موج	
354 ₂₁	10.8 دو سرحدی انعکاس	
359 ₂₂	10.8.1 فیری-پیروٹ طیف پیما	
360 ₂₃	10.8.2 $\eta_1 \neq \eta_3$ کی صورت میں ہم رکاوٹ صورت کا حصول	
362 ₂₄	10.8.3 متعدد سرحدی مسئلہ	
363 ₂₅	10.9 خطی، بیضوی اور دائری تقطیب	
370 ₂₆	10.10 بیضوی یا دائری قطبی امواج کا پوئنٹنگ سمتیہ	

379 ₂₇	11 ترسیلی تار
379 ₂₈	11.1 ترسیلی تار کے مساوات
383 ₂₉	11.2 ترسیلی تار کے مستقل
384 ₃₀	11.2.1 ہم محوری تار کے مستقل
387 ₃₁	11.2.2 دو متوازی تار کے مستقل
388 ₃₂	11.2.3 سطح مستوی ترسیلی تار
389 ₃₃	11.3 ترسیلی تار کے چند مثال
397 ₃₄	11.4 ترسیمی تجزیہ، سمتہ نقشہ
404 ₃₅	11.4.1 سمتہ فراوانی نقشہ
406 ₃₆	11.5 تجرباتی نتائج پر مبنی چند مثال
410 ₃₇	11.6 پیمائش ساکن موج
411 ₃₈	11.7 تجزیہ عارضی حال
429 ₃₉	12 ترچھی آمد، انعکاس، انحراف اور انکسار
429 ₄₀	12.1 ترچھی آمد
441 ₄₁	12.2 قطبی موج کی ترچھی آمد
445 ₄₂	12.3 ترسیم بائی گن
449 ₄₃	13 موج اور گھمکیا
449 ₄₄	13.1 برقی دور، ترسیلی تار اور موج کا موازنہ
450 ₄₅	13.2 دو لامحدود وسعت کے مستوی چادروں کے موج میں عرضی برقی موج
456 ₄₆	13.3 کھوکھلا مستطیل موج
465 ₄₇	13.3.1 مستطیلی موج کے میدان پر تفصیلی غور
472 ₄₈	13.4 مستطیلی موج میں عرضی مقناطیسی TM_{mn} موج
476 ₄₉	13.5 کھوکھلی نالی موج
483 ₅₀	13.6 انقطاعی تعدد سے کم تعدد پر تضعیف
484 ₅₁	13.7 انقطاعی تعدد سے بلند تعدد پر تضعیف
488 ₅₂	13.8 سطحی موج
492 ₅₃	13.9 ذو برق تختی موج
496 ₅₄	13.10 شیش ریشہ
498 ₅₅	13.11 پردہ بصارت
500 ₅₆	13.12 گھمکی خلاء
504 ₅₇	13.13 میکس ویل مساوات کا عمومی حل

517 ₅₈	
517 ₅₉	14.1 تعارف
517 ₆₀	14.2 تاخیری دباؤ
519 ₆₁	14.3 تکمل
520 ₆₂	14.4 مختصر جفت قطبی اینٹینا
528 ₆₃	14.5 مختصر جفت قطب کا اخراجی مزاحمت
532 ₆₄	14.6 ٹھوس زاویہ
533 ₆₅	14.7 اخراجی رقبہ، سمتیت اور افرائش
540 ₆₆	14.8 قطاری ترتیب
540 ₆₇	14.8.1 غیر سمتی، دو نقطہ منبع
541 ₆₈	14.8.2 ضرب نقش
542 ₆₉	14.8.3 ثنائی قطار
544 ₇₀	14.8.4 یکساں طاقت کے متعدد رکن پر مبنی قطار
546 ₇₁	14.8.5 یکساں طاقت کے متعدد رکن پر مبنی قطار: چوڑائی جانب اخراجی قطار
546 ₇₂	14.8.6 یکساں طاقت کے متعدد رکن پر مبنی قطار: لمبائی جانب اخراجی قطار
550 ₇₃	14.8.7 یکساں طاقت کے متعدد رکن پر مبنی قطار: بدلنے زاویہ اخراجی اینٹینا
551 ₇₄	14.9 تداخل پیمہ
552 ₇₅	14.10 مستطیل سطحی اینٹینا
555 ₇₆	14.11 درز کا دور میدان بذریعہ فوریر بدل
561 ₇₇	14.12 خطی اینٹینا
566 ₇₈	14.13 چلتی موج اینٹینا
568 ₇₉	14.14 چھوٹا گھیرا اینٹینا
568 ₈₀	14.15 پیچ دار اینٹینا
570 ₈₁	14.16 دو طرفہ کردار
573 ₈₂	14.17 جھری اینٹینا
573 ₈₃	14.18 پیپا اینٹینا
575 ₈₄	14.19 فرائس ریڈار مساوات
579 ₈₅	14.20 ریڈیائی دوربین، اینٹینا کی حرارت اور تحلیلی کارکردگی
580 ₈₆	14.21 حرارت نظام اور حرارت بعید

ساکن مقناطیسی میدان

برقی میدان کا منبع برقی چارج ہے جس پر باب 2 میں تفصیل سے بات کی گئی۔ مقناطیسی میدان کا منبع یا تو مقناطیس ہو سکتا ہے، یا وقت کے ساتھ بدلتا برقی میدان اور یا پھر برقی رو۔ اس کتاب میں مقناطیس سے پیدا ہونے والے مقناطیسی میدان پر غور نہیں کیا جائے گا۔ وقت کے ساتھ بدلتے برقی میدان سے پیدا مقناطیسی میدان پر ایک اور باب میں غور کیا جائے گا جبکہ اس باب میں برقی رو سے پیدا ساکن مقناطیسی میدان پر غور کیا جائے گا۔

7.1 بایوٹ-سیوارٹ کا قانون

برقی رو اور اس سے پیدا مقناطیسی میدان کا تعلق **بایوٹ-سیوارٹ**¹ کا قانون²

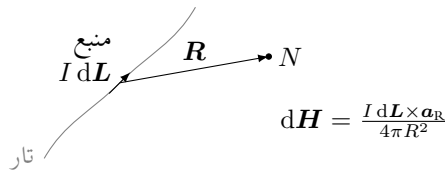
$$(7.1) \quad dH = \frac{I dL \times a_R}{4\pi R^2}$$

بیان کرتا ہے جہاں سے مقناطیسی شدت H کی اکائی ایمپیر فی میٹر ($\frac{A}{m}$) حاصل ہوتی ہے۔ آئیں شکل 7.1 کی مدد سے اس قانون کا مطلب سمجھیں۔

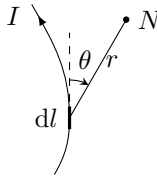
یہ قانون باریک تار کی انتہائی چھوٹی لمبائی dL جس میں برقی رو I گزر رہی ہو کی وجہ سے نقطہ N پر پیدا اسمتی برقی میدان H دیتا ہے۔ نقطہ N باریک تار کے چھوٹے حصے سے R فاصلے پر ہے۔ باریک تار سے مراد ایسی ٹھوس نکی نما موصل تار ہے جس کی موٹائی کم سے کم ہو۔ چھوٹی لمبائی dL کی سمت برقی رو کی سمت میں ہے اور $I dL$ مقناطیسی میدان کا منبع ہے۔

Biot-Savart law¹

² یہ قانون فرانس کے بایوٹ اور سیوارٹ نے 1820 میں پیش کیا۔ یہ دونوں ایمپیر کے ساتھی تھے۔



شکل 7.1: بایوٹ سیوارٹ کا قانون۔



شکل 7.2: تار کے چھوٹے حصے سے پیدا میدان۔

مقناطیسی شدت کی قیمت برقی رو ضرب باریک چھوٹی تار کی لمبائی $I dL$ اور a_R کے سمتی ضرب کے برائے راست تناسب جبکہ ان کے مابین فاصلہ R کے مربع کے بالعکس تناسب رکھتی ہے۔ تناسبی مستقل $\frac{1}{4\pi}$ ہے۔

2009

بایوٹ-سیوارٹ کے قانون کا موازنہ کولمب کے قانون کے ساتھ کرنے کی غرض سے دونوں مساوات کو ایک ساتھ لکھتے ہیں۔

$$(7.2) \quad dH_2 = \frac{I_1 dL_1 \times a_{R21}}{4\pi R_{21}^2}$$

$$dE_2 = \frac{dQ_1 a_{R21}}{4\pi \epsilon_0 R_{21}^2}$$

ان مساوات میں زیر نوشت میں 2 اس مقام کو ظاہر کرتی ہے جہاں میدان کی قیمت حاصل کی گئی ہے جبکہ زیر نوشت میں 1 میدان کے منبع کے مقام کو ظاہر کرتی ہے۔ دونوں میدان فاصلے کے مربع کا بالعکس تناسب رکھتے ہیں۔ دونوں اقسام کے میدان کی شدت اور میدان کی منبع کا خطی تعلق ہے۔ دونوں میں فرق میدان کی سمت کا ہے۔ برقی میدان کی سمت منبع سے اس نقطہ کی جانب ہے جس پر میدان حاصل کیا جا رہا ہو۔ مقناطیسی میدان کی سمت سمتی ضرب کے دائیں ہاتھ کے قانون سے حاصل ہوتی ہے۔

2013

شکل 7.2 میں تار کے چھوٹے حصے dl سے نقطہ N پر مقناطیسی میدان کی مقدار

$$(7.3) \quad dH = \frac{I dl \sin \theta}{4\pi r^2}$$

2014

ہوگا۔

بایوٹ-سیوارٹ کے قانون کو مساوات 7.1 کی شکل میں تجرباتی طور پر ثابت نہیں کیا جاسکتا چونکہ باریک تار کی چھوٹی لمبائی میں برقی رو تب گزرے گی جب برقی رو اس چھوٹی تار تک پہنچائی جائے۔ جو تار اس تک برقی رو پہنچائے گی، وہ بھی مقناطیسی میدان پیدا کرے گی۔ انہیں علیحدہ علیحدہ نہیں کیا جاسکتا۔ ہم فی الحال صرف ایک سمتی برقی رو کی بات کر رہے ہیں۔ ایک سمتی برقی رو کی صورت میں وقت کے ساتھ حجمی چارج کثافت تبدیل نہیں ہوگا لہذا صفحہ 129 پر دئے استمراری مساوات

$$\nabla \cdot \mathbf{J} = -\frac{\partial \rho_h}{\partial t}$$

سے

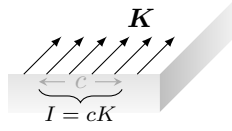
$$(7.4) \quad \nabla \cdot \mathbf{J} = 0$$

حاصل ہوگا جسے مسئلہ پھیلاؤ کی مدد سے

$$\oint_S \mathbf{J} \cdot d\mathbf{S} = 0$$

لکھا جاسکتا ہے۔ یہ مساوات کہتی ہے کہ کسی بھی بند سطح سے گزرتی ہوئی برقی رو صفر کے برابر ہے۔ یہ صرف اس صورت ممکن ہے جب برقی رو کسی بند راہ پر گزر رہی ہو۔ ہمیں ایسی ہی مکمل بند راہ کے برقی رو کے اثر کو دیکھنا ہوگا ناکہ تار کے کسی چھوٹے حصے کے برقی رو کو۔

2016



شکل 7.3: سطحی کثافت برقی رو کے c چوڑائی میں کل cK برقی رو ہو گا۔

یوں بايوٹ-سيوارٹ قانون کی مکمل شکل

$$(7.5) \quad H = \oint \frac{I dL \times a_R}{4\pi R^2}$$

ہی تجرباتی طور پر ثابت کی جاسکتی ہے۔

مساوات 7.1 سے مساوات 7.5 لکھی جاسکتی ہے۔ البتہ مساوات 7.5 میں مکمل کے اندر کوئی بھی ایسی اضافی تفاعل شامل کیا جاسکتا ہے جس کا بند مکمل صفر کے برابر ہو۔ مقداری میدان کا ڈھلوان ہر صورت بقائی میدان ہوتا ہے لہذا مساوات 7.5 میں ∇G کے شمول سے اس کے جواب میں کوئی فرق نہیں پڑے گا۔ G کوئی بھی مقداری میدان ہو سکتا ہے۔

واضح رہے کہ کسی بھی نقطے پر مقناطیسی میدان مکمل برقی دور کے اثر کو شامل کرنے سے ہی حاصل کیا جاسکتا ہے۔ برقی رو گزارتی تار کے کچھ حصے کے میدان یا ایسے میدان سے پیدا قوت کی بات بے معنی ہوگی۔

شکل 7.3 میں یکساں سطحی کثافت برقی رو K دکھایا گیا ہے۔ سطحی کثافت برقی رو کو ایمپیر فی اکائی چوڑائی پیش کیا جاتا ہے لہذا c چوڑائی کے حصے میں

$$I = cK$$

برقی رو ہو گا۔ اگر کثافت برقی رو یکساں نہ ہو تب کسی بھی چوڑائی میں کل برقی رو بذریعہ مکمل

$$I = \int K dc$$

حاصل ہوگی جہاں dc چوڑائی کا چھوٹا حصہ ہے۔ یوں dL کو سطحی کثافت برقی رو K یا جمعی کثافت برقی رو J کی صورت میں

$$(7.6) \quad I dL = K dS = J dh$$

لکھا جاسکتا ہے۔ یوں بايوٹ-سيوارٹ کے قانون کو

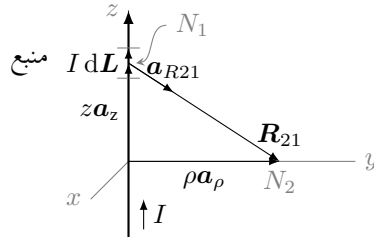
$$(7.7) \quad H = \int_S \frac{K \times a_R dS}{4\pi R^2}$$

یا

$$(7.8) \quad H = \int_h \frac{J \times a_R dh}{4\pi R^2}$$

لکھا جاسکتا ہے۔

آئیں سیدھی لامحدود لمبائی کی تار جس میں سے برقی رو گزر رہی ہو کی مقناطیسی میدان بايوٹ-سيوارٹ کے قانون سے حاصل کریں۔ شکل 7.4 میں صورت حال دکھائی گئی ہے۔ اس تار کے دونوں سرے لامحدود فاصلے پر ہیں۔ تار کے قریب نقطہ N_2 پر مقناطیسی میدان کا بیشتر حصہ تار کے اس حصے کی وجہ سے ہو گا جہاں N_2 کے قریب ہو۔ یوں لامحدود فاصلے پر تار کے سروں تک برقی رو پہنچانے والی تار کا نقطہ N_2 پر اثر کو نظر انداز کرتے ہوئے آگے بڑھتے ہیں۔



شکل 7.4: سیدھی لامحدود تار سے پیدا مقناطیسی میدان

نقطہ N_1 پر تار کے چھوٹے حصے dL میں برقی رو کو منبع مقناطیسی میدان تصور کرتے ہوئے مساوات 7.1 کی مدد سے نقطہ N_2 پر مقناطیسی میدان لکھا جاسکتا ہے۔ چونکہ

$$\mathbf{R}_{21} = \rho \mathbf{a}_\rho - z \mathbf{a}_z$$

کے برابر ہے لہذا

$$R_{21} = |\mathbf{R}_{21}| = \sqrt{\rho^2 + z^2}$$

$$\mathbf{a}_R = \frac{\mathbf{R}_{21}}{|\mathbf{R}_{21}|} = \frac{\rho \mathbf{a}_\rho - z \mathbf{a}_z}{\sqrt{\rho^2 + z^2}}$$

لکھے جاسکتے ہیں۔ نکلی محدود میں چھوٹی لمبائی

$$dL = d\rho \mathbf{a}_\rho + \rho d\phi \mathbf{a}_\phi + dz \mathbf{a}_z$$

لکھی جاتی ہے۔ چونکہ یہاں $d\rho = 0$ اور $d\phi = 0$ ہیں لہذا $dL = dz \mathbf{a}_z$ لکھتے ہوئے مساوات 7.1 کو

$$dH_2 = \frac{I dz \mathbf{a}_z \times (\rho \mathbf{a}_\rho - z \mathbf{a}_z)}{4\pi(\rho^2 + z^2)^{\frac{3}{2}}}$$

لکھا جاسکتا ہے۔ پورے تار کا مقناطیسی میدان اس مساوات کے مکمل سے حاصل ہوگا جہاں مکمل $-\infty$ تا $+\infty$ حاصل کیا جائے گا۔ اس طرح

$$H_2 = \int_{-\infty}^{\infty} \frac{I dz \mathbf{a}_z \times (\rho \mathbf{a}_\rho - z \mathbf{a}_z)}{4\pi(\rho^2 + z^2)^{\frac{3}{2}}}$$

$$= \frac{I\rho}{4\pi} \int_{-\infty}^{\infty} \frac{\mathbf{a}_\phi dz}{(\rho^2 + z^2)^{\frac{3}{2}}}$$

لکھا جاسکتا ہے جہاں صفحہ 18 پر مساوات 1.23 کی مدد سے $\mathbf{a}_z \times \mathbf{a}_\rho = \mathbf{a}_\phi$ جبکہ مساوات 1.24 کی مدد سے $\mathbf{a}_z \times \mathbf{a}_z = 0$ لکھے گئے ہیں۔

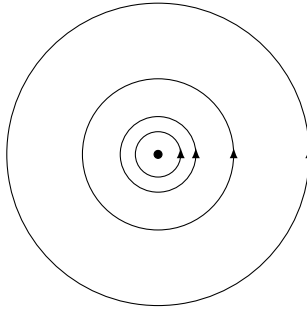
مندرجہ بالا مساوات میں مکمل کے اندر \mathbf{a}_ϕ پر نظر رکھنی ہوگی۔ اگرچہ \mathbf{a}_ϕ کا کئی سمتیہ ہے لہذا اس کی لمبائی تبدیل نہیں ہو سکتی البتہ یہ دیکھنا ضروری ہے کہ آیا مکمل کا متغیر یعنی z تبدیل کرنے سے \mathbf{a}_ϕ کی سمت تو تبدیل نہیں ہوتی۔ صفحہ 21 پر مساوات 1.34 کے تحت

$$\mathbf{a}_\phi = -\frac{y}{\sqrt{x^2 + y^2}} \mathbf{a}_x + \frac{x}{\sqrt{x^2 + y^2}} \mathbf{a}_y$$

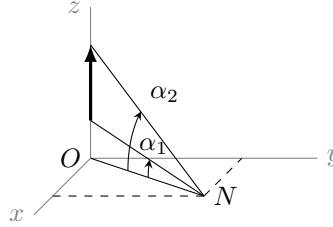
لکھا جاسکتا ہے۔ آپ دیکھ سکتے ہیں کہ z تبدیل کرنے سے \mathbf{a}_ϕ پر کوئی اثر نہیں پڑتا لہذا \mathbf{a}_ϕ کو مکمل کے باہر منتقل کیا جاسکتا ہے۔ یوں

$$H_2 = \frac{I\rho \mathbf{a}_\phi}{4\pi} \int_{-\infty}^{\infty} \frac{dz}{(\rho^2 + z^2)^{\frac{3}{2}}}$$

$$= \frac{I\rho \mathbf{a}_\phi}{4\pi} \frac{z}{\rho^2 \sqrt{\rho^2 + z^2}} \Bigg|_{-\infty}^{+\infty}$$



شکل 7.5: سیدھی لمبی تار کا مقناطیسی میدان تار کے گرد دائرے بناتا ہے۔ برقی رو صفحے سے باہر نکل رہی ہے۔



شکل 7.6: سیدھی محدود لمبائی کے تار کی مقناطیسی شدت۔

سے

$$(7.10) \quad H_2 = \frac{I}{2\pi\rho} a_\phi$$

حاصل ہوتا ہے۔ شکل 7.5 میں برقی رو صفحے سے باہر نکل رہی ہے جبکہ گول دائرے مقناطیسی میدان کو ظاہر کرتے ہیں۔ اگر تار کو دائیں ہاتھ سے یوں پکڑا جاسکے کہ انگوٹھا برقی رو کی سمت میں ہو تب اس ہاتھ کی انگلیاں تار کے گرد مقناطیسی میدان کی سمت میں لپٹی ہوں گی۔ آپ دیکھ سکتے ہیں کہ یہ مقناطیسی میدان نا تو z تبدیل کرنے اور نا ہی زاویہ ϕ تبدیل کرنے سے تبدیل ہوتا ہے۔ اس کی قیمت صرف تار سے فاصلے پر منحصر ہے۔

2030

اگر شکل 7.4 میں تار لا محدود نہ ہو تب مساوات 7.6 میں مکمل کے محدود حد وپر کرنے سے مقناطیسی میدان کی شدت

$$(7.11) \quad H = \frac{I}{4\pi\rho} (\sin \alpha_2 - \sin \alpha_1) a_\phi$$

حاصل ہوتی ہے جہاں شکل 7.6 میں α_1 اور α_2 کی نشاندہی کی گئی ہے۔ تار کا نچلا سرا xy سطح یعنی $z = 0$ سطح سے نیچے ہونے کی صورت میں α_1 کی قیمت منفی ہوگی۔ کچھ تار کے دوسرے سرے اور α_2 کے لئے بھی درست ہے۔

2032

7.2 ایمپیٹر کا دوری قانون

کولمب کے قانون کی مدد سے مختلف طرز پر پائے جانے والے چارج کے برقی میدان حاصل کرنے کے بعد ہم نے گاؤس کا قانون اخذ کیا جس سے ہماری زندگی نہایت آسان ہو گئی۔ گاؤس کے قانون کی مدد سے متناکل چارج سے پیدا برقی میدان انتہائی آسانی سے حاصل ہوتا ہے۔ متناکل برقی رو کے مقناطیسی میدان حاصل کرنے کا بھی اتنا ہی آسان طریقہ موجود ہے جسے **ایمپیٹر کا دوری قانون**³ کہتے ہیں۔ اس قانون کو بایوٹ-سیوارٹ کے قانون سے حصہ 7.7.2 میں حاصل کیا گیا ہے۔ فی الحال

ہم اس قانون کو استعمال کرنا سیکھتے ہیں۔ اس قانون کے استعمال کے وقت مسئلے پر غور کرتے ہوئے بغیر حساب و کتاب کے فیصلہ کیا جاتا ہے کہ مقناطیسی میدان کے کون کون سے اجزاء موجود نہیں ہونے چاہئے۔ یہ فیصلہ برقی رو کے راستے کو دیکھ کر کیا جاتا ہے۔

2038

ایمپیر کا دوری قانون کہتا ہے کہ یک سمتی برقی رو کے گرد کسی بھی راہ H کا لکیری بند مکمل گھیرے برقی رو کے برابر ہوگا یعنی

$$\oint H \cdot dL = I \quad (7.12)$$

لکیری بند مکمل کی سمت میں برقی رو کے گرد دائیں ہاتھ کی انگلیاں گھمانے سے اسی ہاتھ کا انگوٹھا مثبت برقی رو کی سمت دے گا۔ ایسا کرتے وقت انگوٹھے کی ہاتھ چار انگلیوں کے عمودی رکھا جاتا ہے۔

2040

کسی بھی راہ H کے لکیری مکمل سے مراد اس راہ کو انتہائی چھوٹے چھوٹے ٹکڑوں dL میں تقسیم کر کے ہر ٹکڑے پر H کی قیمت استعمال کرتے ہوئے H_{2041} dL حاصل کر کے تمام $H \cdot dL$ کا مجموعہ حاصل کرنا ہے۔ مقناطیسی شدت H کی قیمت مختلف مقامات پر عموماً مختلف ہوگی۔ یوں کسی ایک نقطے پر H_{2042} dL کی قیمت کسی دوسرے نقطے کے $H \cdot dL$ سے مختلف ہوگی۔ ایمپیر کا دوری قانون کہتا ہے کہ اگرچہ یک سمتی برقی رو کے گرد دو مختلف بند راہوں پر جگہ جگہ $H \cdot dL$ کی قیمتیں مختلف ہوں گی لیکن دونوں راہ پر ان کا مجموعہ عین برقی رو کے برابر ہوگا۔

2044

کسی بھی سطح کا محیط، بند راہ ہوتی ہے۔ اسی طرح کوئی بھی بند راہ، لامحدود سطحوں کا محیط ہوتا ہے۔ یوں بند راہ کا گھیرا ہوا برقی روان تمام سطحوں کو چھیرتا ہوا گردشے گا جن کا محیط یہ بند راہ ہو۔

2046

گاؤس کے قانون کا استعمال تب ممکن ہوتا ہے جب بند سطح میں کل برقی چارج معلوم ہو۔ ایمپیر کا دوری قانون اس صورت استعمال کیا جاسکتا ہے جب بند راہ میں گھیرا کل یک سمتی برقی رو معلوم ہو۔

2048

آہیں شکل 7.4 میں دکھائے گئے برقی رو گزارتے سیدھی لامحدود لمبائی کے تار کی مقناطیسی شدت ایمپیر کے دوری قانون یعنی مساوات 7.12 کی مدد سے حسابہ حاصل کریں۔ اس مساوات کو استعمال کرتے ہوئے برقی رو کے گرد راہ یوں چنی جاتی ہے کہ اس پر H اور dL یا تو آپس میں عمودی ہوں اور یا H کی قیمت قطعی اور اس کی سمت dL کے متوازی ہو۔ پہلی صورت میں دونوں متغیرات کے مابین نوے درجے کا زاویہ ہے اور $\cos 90 = 0$ ہوتا ہے لہذا $H \cdot dL$ صفر کے برابر ہوگا اور یوں راہ کے اس حصے پر مکمل صفر کے برابر ہوگا۔ دوسری صورت میں متغیرات کے مابین صفر درجے کا زاویہ ہے اور $\cos 0 = 1$ ہوتا ہے لہذا H_{2049} dL کو dL H لکھا جاسکتا ہے اور ساتھ ہی ساتھ مقناطیسی شدت کی قیمت قطعی ہونے کی وجہ سے H کو مکمل کے باہر لے جایا جاسکتا ہے۔ یوں راہ کے اس راستے پر مکمل کی قیمت HL کے برابر ہوگی جہاں L راہ کے اس حصے کی لمبائی ہے۔

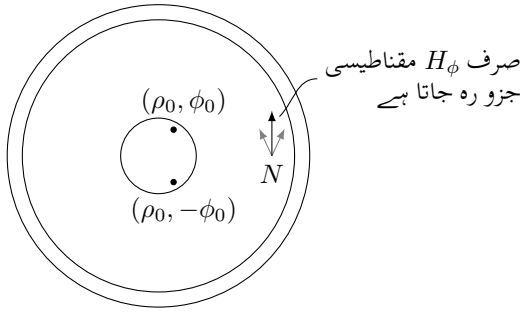
2054

تار کے گرد اور اس کے ساتھ ساتھ حرکت کرنے سے واضح ہوتا ہے کہ مسئلے کی نوعیت نا تو تار کے گرد زاویہ ϕ پر اور نہ ہی محدود پر منحصر ہے۔ تار سے دور یا اس کے قریب ہونے سے ہی مسئلے کی نوعیت میں تبدیلی آتی ہے۔ یوں صاف ظاہر ہے کہ مقناطیسی شدت صرف ρ پر منحصر ہو سکتی ہے۔ اسی طرح با یوٹ۔ سیوارٹ کے قانون کو مد نظر رکھتے ہوئے ہم دیکھ سکتے ہیں کہ مقناطیسی شدت α_ϕ سمت رکھتی ہے یعنی اس کا صرف H_ϕ جزو پایا جائے گا۔ یوں اگر ρ تبدیل کئے بغیر تار کے گرد چلا جائے تو ہم یقین رکھ سکتے ہیں کہ H کی حتمی قیمت H_ϕ تبدیل نہیں ہوگی۔ ساتھ ہی ساتھ اس راہ پر کسی بھی نقطے پر $\rho d\phi \alpha_\phi$ اور dL $H_\phi \alpha_\phi$ آپس میں متوازی ہوں گے لہذا ایمپیر کے دوری قانون سے

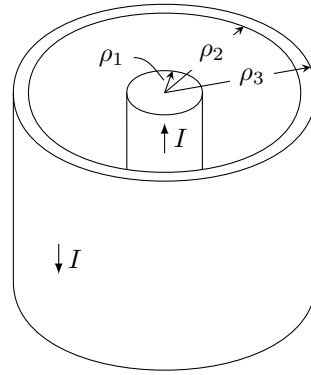
$$\oint H \cdot dL = \int_0^{2\pi} H_\phi \rho d\phi = H_\phi \rho \int_0^{2\pi} d\phi = H_\phi 2\pi \rho = I$$

یا

$$H_\phi = \frac{I}{2\pi\rho}$$



(ب) رداسی اجزاء آپس میں ختم ہو جاتے ہیں اور یوں صرف زاویائی جزو رہ جاتا ہے۔



(ا) ہم محوری تار کے اندرونی تار میں مثبت جبکہ بیرونی تار میں منفی برقی رو ہے۔

شکل 7.7: ہم محوری تار۔

حاصل ہوتا ہے جو ہم پہلے بھی حاصل کر چکے ہیں۔

ایمپیر کے دوری قانون کے استعمال کی دوسری مثال کی خاطر ہم شکل 7.7 میں دکھائے گئے ہم محوری تار لیتے ہیں۔ فرض کریں کہ z محدود پڑی ایسی لامحدود لمبائی کے ہم محوری تار کے اندرونی حصے میں I اور اس کے بیرونی سطح میں $-I$ برقی رو گزر رہی ہے۔ اندرونی موصل موٹی ساخت کے تار کو نہایت پتلی فرضی تاروں کا مجموعہ تصور کیا جاسکتا ہے۔ آئیں ان پتلی فرضی تاروں سے نقطہ N پر پیدا مقامی شدت پر غور کریں۔ نقطہ N کو کارٹیزی محدود کے x محدود پر رکھتے ہوئے مسئلے کی نوعیت شکل 7.7-ب میں دکھائی گئی ہے۔ پچھلی مثال سے یہ واضح ہے کہ ایسی کسی بھی پتلی تار کی مقامی شدت میں H_z جزو نہیں پایا جاتا۔ ساتھ ہی ساتھ ہم یہ بھی جانتے ہیں کہ ایسی تار کی مقامی شدت تار کے گرد گول دائرہ بناتی ہے۔ کسی بھی فرضی تار جو (ρ_0, ϕ_0) پر پائی جاتی ہو N پر ΔH_ρ اور ΔH_ϕ اجزاء پیدا کرے گی۔ ایسی طرح $(\rho_0, -\phi_0)$ پر پتلی تار سے پیدا مقامی شدت کے بھی ایسے رداسی اور زاویائی اجزاء ہوں گے۔ ان دونوں پتلی تاروں کے رداسی اجزاء آپس میں الٹ سٹ میں ہوں گے لہذا یہ ایک دوسرے کو ختم کریں گے جبکہ زاویائی اجزاء ایک ہی سمت میں ہوتے ہیں لہذا N پر صرف زاویائی جزو پایا جائے گا۔

اندرونی ٹھوس موصل تار کے گرد ایسا گول دائرہ لیتے ہیں جس کا رداس ρ اندرونی تار کے رداس ρ_1 سے زیادہ مگر بیرونی تار کے اندرونی رداس ρ_2 سے کم ہو۔ اس راہ پر ہم ایمپیر کے دوری قانون کی مدد سے

$$H_\phi = \frac{I}{2\pi\rho} \quad (\rho_1 < \rho < \rho_2) \quad (7.13)$$

لکھ سکتے ہیں۔

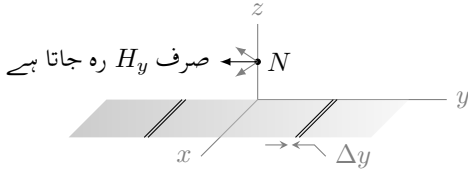
اندرونی تار کا رقبہ عمودی تراش $\pi\rho_1^2$ ہے لہذا اس میں کثافت برقی رو $\frac{I}{\pi\rho_1^2}$ ہوگی۔ اگر ρ کو اندرونی ٹھوس موصل تار کے رداس ρ_1 سے کم رکھا جائے تب یہ

راہ

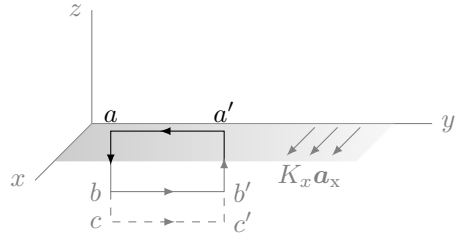
$$I_{\text{ہم}} = \frac{I}{\pi\rho_1^2} \pi\rho^2 = \frac{\rho^2}{\rho_1^2} I$$

برقی رو کو گھیرے گا لہذا ایمپیر کے دوری قانون کے تحت اندرونی ٹھوس تار میں

$$H_\phi = \frac{\rho I}{2\pi\rho_1^2} \quad (\rho < \rho_1)$$



(ب) کسی بھی نقطے کے دونوں جانب فرضی تاروں کے H_z اجزاء آپس میں ختم ہو جاتے ہیں جبکہ ان کے H_y اجزاء جمع ہوتے ہیں۔



(ا) لامحدود جسمات کے موصل سطح پر سطحی کثافت برقی رو۔

شکل 7.8: لامحدود سطحی کثافت برقی رو۔

مقناطیسی شدت پایا جائے گا۔ اسی طرح اگر ρ کو بیرونی تار کے بیرونی رداس ρ_3 سے زیادہ رکھا جائے تب یہ راہ اندرونی تار کے $I + I$ اور بیرونی تار کے $I - I$ کو گھیرے گی لہذا یہ کل $I - I = 0$ برقی رو کو گھیرے گا لہذا

$$H_\phi = 0 \quad (\rho_3 < \rho)$$

ہوگا۔ آخر میں اس صورت کو بھی دیکھتے ہیں جب ρ بیرونی تار کے اندر پایا جائے۔ ایسی صورت میں یہ راہ

$$I_{\text{گھیر}} = I - \left(\frac{\rho^2 - \rho_2^2}{\rho_3^2 - \rho_2^2} \right) I = \left(\frac{\rho_3^2 - \rho^2}{\rho_3^2 - \rho_2^2} \right) I$$

برقی رو گھیرے گی لہذا بیرونی تار میں

$$H_\phi = \frac{I}{2\pi\rho} \left(\frac{\rho_3^2 - \rho^2}{\rho_3^2 - \rho_2^2} \right) \quad (\rho_2 < \rho < \rho_3)$$

ہوگا۔

ہم محوری تار کے باہر مقناطیسی شدت صفر کے برابر ہے۔ اس کی وجہ یہ ہے کہ تار کے باہر کوئی بھی بند گول دائرہ اندرونی تار کی برقی رو I اور بیرونی تار کی برقی رو $-I$ دونوں کو گھیرتا ہے۔ یہ دونوں برابر مقدار مگر الٹ سمت کے برقی رو ہر نقطے پر برابر مگر الٹ سمت میں مقناطیسی شدت پیدا کرتے ہیں جن کا مجموعہ صفر کے برابر ہوتا ہے۔ ہم محوری تار کی یہ خاصیت کہ یہ بیرون تار کسی قسم کا مقناطیسی میدان نہیں پیدا کرتا انتہائی اہمیت کا حامل ہے۔ ہم محوری تار کی خاصیت کی بنا پر ہر ایسی جگہ پر استعمال کیا جاتا ہے جہاں تار میں پائے گئے برقی اشارات سے بیرونی تار کسی قسم کا اثر ناقابل برداشت ہو۔

ایمپیر کے دوری قانون کے استعمال کی تیسری مثال کو شکل 7.8-الف میں دکھایا گیا ہے جہاں $z = 0$ لامحدود چوڑائی اور لامحدود لمبائی کے موصل سطح پر $K_x a_x$ سطحی کثافت برقی رو گزر رہی ہے۔ ہمیں اس سطح کے قریب نقطہ N پر مقناطیسی شدت حاصل کرنے سے دلچسپی ہے۔ سطح کے $x = +\infty$ سے $x = -\infty$ تک برقی رو بذریعہ دو لامحدود چوڑائی کے موصل سطحوں سے واپس پہنچتی ہے۔ یہ سطحیں $z = +\infty$ اور $z = -\infty$ پر ہیں۔ اتنی دو سطحوں کے اثر کو نقطہ N پر نظر انداز کیا جاسکتا ہے۔

موصل سطح کو Δy چوڑائی کی فرضی تاروں میں تقسیم کیا جاسکتا ہے۔ ایسا شکل 7.8-ب میں دکھایا گیا ہے۔ یوں ہر ایسی فرضی تار $K_x \Delta y a_x$ برقی رو گزارتی ہے۔ لامحدود تار کے مقناطیسی میدان سے ہم بخوبی واقف ہیں۔ ایسی کسی بھی فرضی تار کی برقی رو H_x جزو پیدا نہیں کرے گا۔ سطح پر N کے ایک جانب فرضی تار کا H_z جزو، سطح پر N کے دوسری جانب فرضی تار کے H_z جزو کو ختم کرتا ہے جبکہ ان کے H_y اجزاء مل کر دگنی مقناطیسی شدت پیدا کرتے ہیں۔ اس طرح مقناطیسی شدت کا صرف اور صرف H_y جزو ممکن ہے۔

شکل 7.8-الف میں موصل سطح کے کچھ حصے کو گھیرتی ہوئی مستطیلی راہ $aa'bb'$ دکھائی گئی ہے۔ aa' یا bb' کی لمبائی y_1 ہے جبکہ ab یا $a'b'$ کی لمبائی $2z_1$ ہے۔ اس راہ کے z_1 حصوں پر مقناطیسی شدت صفر کے برابر ہے لہذا اس حصے پر مقناطیسی شدت کا مکمل بھی صفر کے برابر ہوگا۔ راہ کے y_1 اطراف سطح سے

دونوں جانب z_1 فاصلے پر ہیں۔ سطح کے دونوں اطراف بالکل یکساں مشابہت رکھتے ہیں۔ بایوٹ-سیوارٹ کے قانون سے آپ دیکھ سکتے ہیں کہ سطحی کثافت برقی روموصل سطح کے اوپر جانب $-H_{ya}a_y$ جبکہ اس کے نیچے جانب $H_{yb}a_y$ مقناطیسی شدت پیدا کرتا ہے۔ مستطیلی راہ Ky_1 برقی رو کو گھیرتی ہے لہذا ایمپیر کے دوری قانون کے تحت

$$H_{ya}y_1 + H_{yb}y_1 = K_x y_1$$

یا

$$(7.14) \quad H_{ya} + H_{yb} = K_x$$

ہوگا۔ اب اگر موصل سطح کے ایک جانب مستطیلی راہ کا y_1 حصہ قدر دور کرتے ہوئے z_2 فاصلے پر کر دیا جائے تب مندرجہ بالا مساوات

$$H_{ya} + H_{yc} = K_x$$

صورت اختیار کر لے گی جس سے صاف ظاہر ہے کہ H_{yb} اور H_{yc} عین برابر ہیں یعنی مقناطیسی شدت کا دار و مدار سطح سے فاصلے پر ہر گز نہیں ہے۔ اس طرح تمام ایسے نقطے جو مثبت z پر پائے جاتے ہوں پر مقناطیسی شدت برابر ہوگی۔ یہی کچھ تمام ایسے نقطوں کے لئے بھی درست ہے جو منفی z پر پائے جاتے ہوں۔²⁰⁷⁸

سطح کے دونوں اطراف بالکل یکساں مشابہت رکھتے ہیں لہذا دونوں جانب مقناطیسی شدت بھی برابر ہوگی یعنی $|H_{ya}| = |H_{yb}|$ ہوگا۔ اس طرح مساوات 7.14 سے $H_{ya} = H_{yb} = H_y = \frac{K_x}{2}$ لکھتے ہوئے

$$H_y = -\frac{1}{2}K_x a_x \quad (z > 0)$$

$$H_y = +\frac{1}{2}K_x a_x \quad (z < 0)$$

حاصل ہوتا ہے جسے بہتر طور پر

$$(7.15) \quad \mathbf{H} = \frac{1}{2} \mathbf{K} \times \mathbf{a}_N$$

لکھا جاسکتا ہے جہاں \mathbf{a}_N موصل سطح کی عمودی اکائی سمتیہ ہے۔

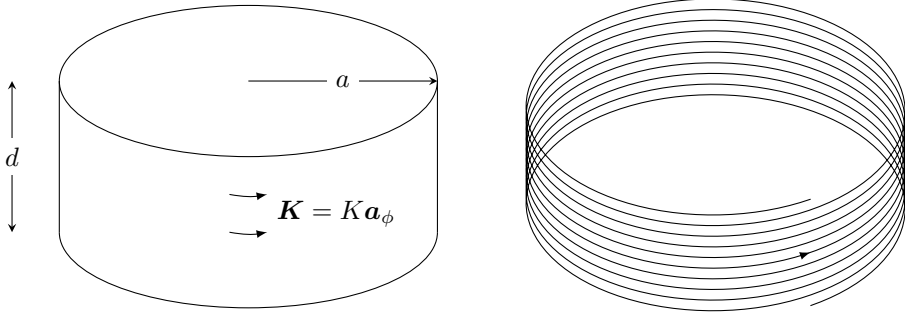
اگر $z = -h$ پر دوسری لامحدود موصل سطح رکھی جائے جس میں سطحی کثافت برقی رو $K_x a_x$ ہو تب دونوں سطحی کثافت برقی رو کی مجموعی مقناطیسی شدت

$$(7.16) \quad \begin{aligned} \mathbf{H} &= \mathbf{K} \times \mathbf{a}_N & (-h < z < 0) \\ \mathbf{H} &= 0 & (z < -h, \quad z > 0) \end{aligned}$$

ہوگی۔

ایمپیر کے دوری قانون کے استعمال میں سب سے مشکل کام ایسی راہ تلاش کرنا ہے جس پر مقناطیسی میدان یا راہ کے عمودی ہو اور یا پھر اس کی قیمت مستقل ہو۔ جہاں قبل از وقت ایسا جاننا ممکن نہ ہو وہاں بایوٹ-سیوارٹ کا قانون ہی قابل استعمال ہوگا۔²⁰⁸¹
²⁰⁸²

آئیں ایمپیر کے دوری قانون کو استعمال کرتے ہوئے شکل 7.9-الف میں دکھائے گئے، لامحدود لمبائی کے پیچدار لچھے⁴ کا مقناطیسی میدان حاصل کریں لچھے کارڈ اس a جبکہ اس میں لمبائی جانب d فاصلے پر N چکر پائے جاتے ہیں جن میں برقی رو I گزر رہی ہے۔ لچھے کا محور عین z محور پایا جاتا ہے۔²⁰⁸⁴



(ب) پیچدار لچھے کو سطحی کثافت تصور کیا جا سکتا ہے۔

(ا) پیچ دار لچھا۔

شکل 7.9: پیچدار لچھے کے میدان کا حصول۔

لچھے کے چکر انتہائی قریب قریب ہونے کی صورت میں لچھے کے تاروں میں برقی رو کو سطحی کثافت رو تصور کیا جاسکتا ہے۔ شکل 7.9-ب میں ایسا ہی کرتے ہوئے لچھے کو نلکی سطحی کثافت

$$K = Ka_\phi = \frac{NI}{d} a_\phi$$

تصور کیا گیا ہے۔ سطحی کثافت برقی رو کی صورت میں سطح کے باہر مقناطیسی میدان صفر کے برابر ہوگا جبکہ اس کے اندر میدان نہ تو ρ اور نہ ہی ϕ پر منحصر ہے۔ لامحدود لمبائی کی نلکی میں میدان z پر بھی منحصر نہیں ہوگا۔ ساتھ ہی ساتھ میدان صرف اور صرف a_z سمت میں ہوگا۔

نلکی کے اندر اور باہر، z محدد کے متوازی لمبائی d کے فرضی لکیروں کے سرے آپس میں جوڑنے سے بند راہ پر ایمپیر کادوری قانون لاگو کرتے ہوئے میدان

$$(7.17) \quad H = Ka_z = \frac{NI}{d} a_z \quad \text{نلکی کے اندر}$$

$$(7.18) \quad H = 0 \quad \text{نلکی کے باہر}$$

حاصل ہوتا ہے۔

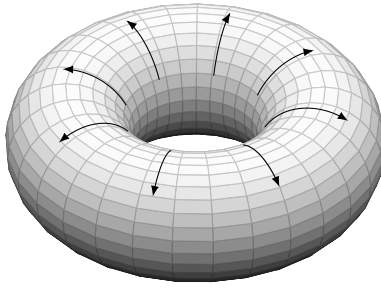
محدود لمبائی کی پیچدار لچھا جس کے چکر قریب قریب ہوں کا میدان مساوات 7.17 ہی دیتی ہے۔ یہ مساوات لچھے کے سروں اور تار سے دور میدان کی صحیح قیمت دیتی ہے۔

آئیں ایمپیر کے دوری قانون کی ایک اور مثال دیکھیں۔ شکل 7.9-الف کے پیچدار لچھے کو دائری شکل دے کر شکل 7.10-الف حاصل ہوتا ہے۔

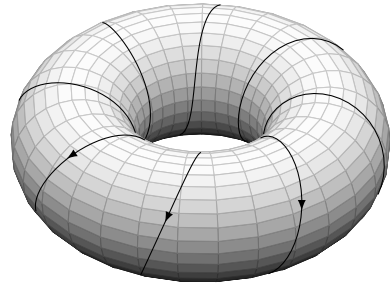
شکل 7.10-الف میں اندر سے⁶⁵ شکل کی سطح پر N چکر کی لپٹی تار میں I برقی رو گزر رہی ہے۔ اندر سے $z = 0$ سطح پر پڑی ہے جبکہ z محدد اس کے محور سے گزرتا ہے۔ لپٹی تار کے چکر قریب قریب ہونے کی صورت میں اندر سے کی سطح پر K کثافت برقی رو تصور کی جاسکتی ہے۔ اندر سے کا عمودی تراش رداس a کا دائرہ ہے جبکہ اندر سے کا وسط رداس b ہے۔ اس طرح اندر سے کا اندرونی رداس $b - a$ جبکہ اس کا بیرونی رداس $b + a$ ہوگا۔ یوں اندر سے کے محور کے قریبی سطح پر کثافت برقی رو

$$K = \frac{NI}{2\pi(b-a)} \quad \frac{A}{m}$$

⁶⁵ بچپن میں اندر سے کس نے نہیں کھایا۔ یہ شکل اندر سے کی طرح ہے لہذا اس کتاب میں اسے اندر سے ہی پکارا جائے گا۔ اگر آپ کو مٹھائی پسند نہیں تو اسے سائیکل کے ٹائر میں موجود ٹیوب تصور کر سکتے



(ب) اندرسہ کی سطح پر کثافت برقی رو پائی جاتی ہے۔



(ا) اندرسہ لچھا۔

شکل 7.10: اندرسہ کی سطح پر تار میں برقی رو کو کثافت برقی رو تصور کیا جا سکتا ہے۔

ہوگی۔ ایمپیر کے دوری قانون استعمال کرنے کی غرض سے ہم اندرسہ کے اندر داس $(b - a) < \rho < (b + a)$ کا دائرہ لیتے ہیں۔ یہ فرضی دائرہ اندرسہ کے محور کے قریبی سطح پر کثافت K کو گھیرے گا لہذا یہ

$$2\pi(b - a)K$$

برقی رو کو گھیرے گا۔ یوں ایمپیر کے دوری قانون سے اس رداس پر مقناطیسی میدان

$$\begin{aligned} \mathbf{H} &= \frac{2\pi(b - a)K}{2\pi\rho} = \frac{NI}{2\pi\rho} \mathbf{a}_\phi && \text{اندر سے کے اندر} \\ \mathbf{H} &= 0 && \text{اندر سے کے باہر} \end{aligned} \quad (7.19)$$

ہوگا۔

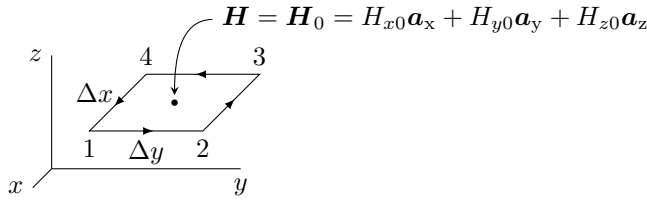
شکل 7.10- الف میں تار کے چکر قریب قریب نہ ہونے کی صورت میں جب تک ہم دو چکر کے مابین فاصلے سے چند گنا زیادہ دور، تار سے ہٹ کر رہیں، یہی مساوات اصل میدان کی قیمت کے قریب قریب جواب دے گی۔

7.3 گردش

آپ کو یاد ہو گا کہ ہم نے گاؤس کے قانون کو انتہائی چھوٹی حجم پر لاگو کرتے ہوئے پھیلاؤ کی مساوات حاصل کی تھی۔ اس حصے میں ہم ایمپیر کے دوری قانون کو انتہائی چھوٹی بند راہ پر استعمال کرتے ہوئے گردش⁷ کی مساوات حاصل کریں گے۔

کارٹیزی محدد میں ہم کسی نقطے N پر Δx اور Δy اطراف کی چھوٹی بند راہ لیتے ہیں۔ شکل 7.11 میں اس چھوٹی بند راہ کو دکھایا گیا ہے جو رقبہ $\Delta x \Delta y$ کو گھیرتی ہے۔ یہ راہ مقناطیسی میدان $\mathbf{H} = H_x \mathbf{a}_x + H_y \mathbf{a}_y + H_z \mathbf{a}_z$ میں پائی جاتی ہے۔ شکل میں راہ پر تیر کے نشان راہ پر چلنے کی سمت کو ظاہر کرتے ہیں۔ اس رقبے کے عین وسط میں نقطہ (x_0, y_0, z_0) پر مقناطیسی شدت

$$\begin{aligned} \mathbf{H}_0 &= H_x(x_0, y_0, z_0) \mathbf{a}_x + H_y(x_0, y_0, z_0) \mathbf{a}_y + H_z(x_0, y_0, z_0) \mathbf{a}_z \\ &= H_{x0} \mathbf{a}_x + H_{y0} \mathbf{a}_y + H_{z0} \mathbf{a}_z \end{aligned}$$



شکل 7.11: گردش کی تعریف۔

کے برابر ہے۔ ایمپیئر کے دوری قانون کے تحت اس بند راہ کے گرد مقناطیسی شدت کا مکمل رقبہ $\Delta x \Delta y$ سے گزرتی برقی رو کے برابر ہوگا۔ آئیں اس مکمل کو حاصل کریں۔ ایسا کرنے کی خاطر ہم بند راہ پر 1 سے 2 کی طرف چلتے ہوئے پورا چکر کاٹیں گے۔

2098

کارٹیزی محدود میں کسی بھی چھوٹے فاصلے کو $dL = dx a_x + dy a_y + dz a_z$ لکھا جاسکتا ہے۔ شکل 7.11 میں 1 تا 2 پر $dx = 0$ اور $dz = 0$ ہیں لہذا اس چھوٹے فاصلے کو $dL = dy a_y$ لکھا جاسکتا ہے۔ چھوٹے چکور کا وسط (x_0, y_0, z_0) ہے۔ یوں چکور کا 1 کونا $(x_0 + \frac{\Delta x}{2}, y_0 - \frac{\Delta y}{2})$ پر اور 2 کونا $(x_0 + \frac{\Delta x}{2}, y_0 + \frac{\Delta y}{2})$ پر ہوگا۔ یوں راہ کے پہلے حصے 1 تا 2 پر لکیری مکمل

$$\int_{y_0 - \frac{\Delta y}{2}}^{y_0 + \frac{\Delta y}{2}} (H_x a_x + H_y a_y + H_z a_z) \cdot dy a_y = \int_{y_0 - \frac{\Delta y}{2}}^{y_0 + \frac{\Delta y}{2}} H_y dy = H_{y21} \int_{y_0 - \frac{\Delta y}{2}}^{y_0 + \frac{\Delta y}{2}} dy = H_{y21} \Delta y$$

لکھا جاسکتا ہے جہاں 1 تا 2 پر مقناطیسی شدت کو H_y کے بجائے H_{y21} لکھتے ہوئے اور اس راہ پر مقناطیسی شدت میں تبدیلی کو نظر انداز کرتے ہوئے مکمل کے باہر لے جایا گیا۔ ہمیں اس طرح کے مکمل بار بار حاصل کرنے ہوں گے لہذا اس پورے عمل کو ہم

$$(7.20) \quad (H \cdot dL)_{21} = H_{y21} \Delta y$$

لکھیں گے۔ ہمیں رقبے کے عین وسط میں مقناطیسی شدت معلوم ہے البتہ راہ کے پہلے حصے پر ہمیں اس کے بارے میں معلومات فراہم نہیں ہے۔ ایسی صورت میں ہمیں **ٹیلر تسلسل** کو بروئے کار لانا ہوگا۔

2100

ٹیلر تسلسل

$$f(x + \delta x) = f(x) + \frac{1}{1!} \frac{\partial f}{\partial x} \delta x + \frac{1}{2!} \frac{\partial^2 f}{\partial x^2} (\delta x)^2 + \dots$$

سے آپ بخوبی واقف ہیں جہاں $\frac{\partial f}{\partial x}$ اور دیگر تفریق کو نقطہ x پر حاصل کیا جاتا ہے۔ اگر اس میں $\delta x = \frac{\Delta x}{2}$ پر کیا جائے تو اس کی نئی شکل

$$f(x + \frac{\Delta x}{2}) = f(x) + \frac{1}{1!} \frac{\partial f}{\partial x} \frac{\Delta x}{2} + \frac{1}{2!} \frac{\partial^2 f}{\partial x^2} \left(\frac{\Delta x}{2} \right)^2 + \dots$$

2101

حاصل ہوتی ہے جسے ہم اب استعمال کرتے ہیں۔

اگر نقطہ (x_0, y_0, z_0) پر تفاعل H_y کی قیمت $H_y(x_0, y_0, z_0)$ ہو تب نقطہ $(x_0 + \frac{\Delta x}{2}, y_0, z_0)$ پر اس کی قیمت مسئلہ ٹیلر سے

$$\begin{aligned} H_y(x_0 + \frac{\Delta x}{2}, y_0, z_0) &= H_y(x_0, y_0, z_0) + \frac{\partial H_y}{\partial x} \frac{\Delta x}{2} + \dots \\ &= H_{y0} + \frac{\partial H_y}{\partial x} \frac{\Delta x}{2} + \dots \end{aligned}$$

حاصل ہوتی ہے جہاں $\frac{\partial H_y}{\partial x}$ کو نقطہ (x_0, y_0, z_0) پر حاصل کیا جاتا ہے۔ راہ 1 تا 2 پر مقناطیسی شدت کی قیمت ٹیلر تسلسل کے پہلے دو اجزاء سے حاصل کرتے ہوئے

$$(7.21) \quad H_{y21} \doteq H_{y0} + \frac{\partial H_y}{\partial x} \frac{\Delta x}{2}$$

لکھ کر مساوات 7.20 کو

$$(7.22) \quad (\mathbf{H} \cdot d\mathbf{L})_{21} \doteq \left(H_{y0} + \frac{\partial H_y}{\partial x} \frac{\Delta x}{2} \right) \Delta y$$

2102

لکھا جاسکتا ہے۔

مساوات 7.21 کو یوں بھی حاصل کیا جاسکتا ہے۔ چھوٹے رقبے کے وسط میں x کے ساتھ H_y میں تبدیل ہونے کی شرح $\frac{\partial H_y}{\partial x}$ ہے۔ یوں اگر x میں Δx تبدیلی پیدا ہو تب H_y میں تبدیلی تقریباً $\frac{\partial H_y}{\partial x} \Delta x$ ہوگی اور یوں اس کی نئی قیمت تقریباً $H_y + \frac{\partial H_y}{\partial x} \Delta x$ ہوگی۔ اسی طرح اگر x میں $\frac{\Delta x}{2}$ تبدیلی پیدا ہو تب H_y میں تبدیلی تقریباً $\frac{\partial H_y}{\partial x} \frac{\Delta x}{2}$ ہوگی اور یوں اس کی نئی قیمت تقریباً $H_y + \frac{\partial H_y}{\partial x} \frac{\Delta x}{2}$ ہوگی۔ اب رقبے کے وسط سے $\frac{\Delta x}{2} +$ فاصلے پر 1 تا 2 راہ کا درمیانہ نقطہ ہے لہذا یہاں

$$(7.23) \quad H_{y21} \doteq H_{y0} + \frac{\partial H_y}{\partial x} \frac{\Delta x}{2}$$

2103

ہوگا جو عین مساوات 7.21 ہی ہے۔

راہ کے اگلے حصے یعنی 2 تا 3 بھی کچھ کرتے ہوئے

$$(7.24) \quad (\mathbf{H} \cdot d\mathbf{L})_{32} = H_{x32}(-\Delta x) \doteq - \left(H_{x0} + \frac{\partial H_x}{\partial y} \frac{\Delta y}{2} \right) \Delta x$$

جبکہ 3 تا 4 پر

$$(7.25) \quad (\mathbf{H} \cdot d\mathbf{L})_{43} = H_{43}(-\Delta y) \doteq - \left(H_{y0} - \frac{\partial H_y}{\partial x} \frac{\Delta x}{2} \right) \Delta y$$

اور 4 تا 1 پر

$$(7.26) \quad (\mathbf{H} \cdot d\mathbf{L})_{14} = H_{x14} \Delta x \doteq \left(H_{x0} - \frac{\partial H_x}{\partial y} \frac{\Delta y}{2} \right) \Delta x$$

حاصل ہوتے ہیں۔ مساوات 7.22، مساوات 7.24، مساوات 7.25 اور مساوات 7.26 کو جمع کرتے ہوئے پورے بند راستے کا مکمل

$$(7.27) \quad \oint \mathbf{H} \cdot d\mathbf{L} \doteq \left(\frac{\partial H_y}{\partial x} - \frac{\partial H_x}{\partial y} \right) \Delta x \Delta y$$

حاصل ہوتا ہے۔ اگر اس چھوٹے بند راہ کے گھیرے رقبے پر کثافت برقی رو

$$\mathbf{J} = J_x \mathbf{a}_x + J_y \mathbf{a}_y + J_z \mathbf{a}_z$$

ہو تب اس رقبے سے $J_z \Delta x \Delta y$ برقی رو گزرے گی۔ ایمپیر کے دوری قانون کے تحت بند راہ کا مکمل اور رقبے سے گزرتی برقی رو برابر ہوں گے یعنی

$$\oint \mathbf{H} \cdot d\mathbf{L} \doteq \left(\frac{\partial H_y}{\partial x} - \frac{\partial H_x}{\partial y} \right) \Delta x \Delta y \doteq J_z \Delta x \Delta y$$

ہو گا جسے

$$\oint \frac{\mathbf{H} \cdot d\mathbf{L}}{\Delta x \Delta y} \doteq \frac{\partial H_y}{\partial x} - \frac{\partial H_x}{\partial y} \doteq J_z$$

لکھا جاسکتا ہے۔ رقبے کو جتنا چھوٹا کیا جائے مندرجہ بالا مساوات اتنی ہی زیادہ درست ہوگی حتیٰ کہ $0 \rightarrow \Delta x$ اور $0 \rightarrow \Delta y$ کی صورت میں یہ مکمل طور پر درست ہوگا اور یوں مساوات میں تقریباً برابر کی علامت \doteq کی جگہ بالکل برابر $=$ کی علامت استعمال کی جائے گی یعنی

$$(7.28) \quad \lim_{\substack{\Delta x \rightarrow 0 \\ \Delta y \rightarrow 0}} \oint \frac{\mathbf{H} \cdot d\mathbf{L}}{\Delta x \Delta y} = \frac{\partial H_y}{\partial x} - \frac{\partial H_x}{\partial y} = J_z$$

لکھا جائے گا۔

اگر ہم کار تینسی محدود کے بقایا دو محدود کے عمودی چھوٹے رقبے لیں اور مندرجہ بالا عمل دہرائیں تو ہمیں

$$(7.29) \quad \lim_{\substack{\Delta y \rightarrow 0 \\ \Delta z \rightarrow 0}} \oint \frac{\mathbf{H} \cdot d\mathbf{L}}{\Delta y \Delta z} = \frac{\partial H_z}{\partial y} - \frac{\partial H_y}{\partial z} = J_x$$

اور

$$(7.30) \quad \lim_{\substack{\Delta z \rightarrow 0 \\ \Delta x \rightarrow 0}} \oint \frac{\mathbf{H} \cdot d\mathbf{L}}{\Delta z \Delta x} = \frac{\partial H_x}{\partial z} - \frac{\partial H_z}{\partial x} = J_y$$

حاصل ہوں گے۔ مساوات 7.29 میں چھوٹے رقبے کے اطراف Δy اور Δz ہیں جس سے $J_x \Delta y \Delta z$ برقی رو گزرتی ہے۔ اسی طرح مساوات 7.30 میں چھوٹے رقبے کے اطراف Δz اور Δx ہیں جس سے $J_y \Delta z \Delta x$ برقی رو گزرتی ہے۔

2106

ایمپیر کے دوری قانون سے شروع کرتے ہوئے ہم نے مساوات 7.28، مساوات 7.29 اور مساوات 7.30 حاصل کئے جو مقناطیسی شدت کے بند تکمل فی اکائی رقبہ کو گھیرے گئے کثافت برقی رو کے برابر ٹھہراتے ہیں۔ کسی بھی متغیر کے بند تکمل فی اکائی رقبہ کو اس متغیر کی گردش کہتے ہیں۔ انتہائی چھوٹے رقبے کے گردش کرتے ہوئے کسی بھی متغیر کے بند تکمل کو اس نقطے پر متغیر کے گھومنے یا گردش کی ناپ تصور کی جاسکتی ہے۔ اسی لئے اس عمل کو گردش کہا جاتا ہے۔

کسی بھی سمتیہ کی گردش بھی سمتیہ ہوگی۔ گردش کا کوئی بھی جزو انتہائی چھوٹے سیدھے رقبے کے گردش کے بند تکمل فی اکائی رقبہ کے برابر ہوگا جہاں بند تکمل کی راہ درکار جزو کے عمودی سطح میں پایا جاتا ہو اور رقبے کی قیمت صفر کے قریب سے قریب تر ہو۔ گردش کی یہ تعریف کسی بھی محدود پر مبنی نہیں ہے۔ اس تعریف کی حسابی شکل

$$\mathbf{H}_{\text{گردش}} = \lim_{\Delta S_n \rightarrow 0} \frac{\oint \mathbf{H} \cdot d\mathbf{L}}{\Delta S_n}$$

ہے جہاں \mathbf{H} کی گردش حاصل کی گئی ہے۔ اس مساوات میں ΔS_n وہ چھوٹا سیدھا رقبہ ہے جس کے گردش \mathbf{H} کا بند تکمل حاصل کیا گیا ہے۔ گردش از خود سیدھے سطح کے عمودی ہوگا۔ رقبہ ΔS_n لکھتے ہوئے زیر نوشت میں n اسی حقیقت کی یاد دہانی کرتا ہے کہ رقبے اور گردش کے درمیان نوے درجے کا زاویہ پایا جاتا ہے۔²¹¹

کار تینسی محدود میں گردش \mathbf{H} کے x, y, z اجزاء مساوات 7.29، مساوات 7.30 اور مساوات 7.28 بالترتیب دیتے ہیں لہذا

$$(7.31) \quad \mathbf{H}_{\text{گردش}} = \left(\frac{\partial H_z}{\partial y} - \frac{\partial H_y}{\partial z} \right) \mathbf{a}_x + \left(\frac{\partial H_x}{\partial z} - \frac{\partial H_z}{\partial x} \right) \mathbf{a}_y + \left(\frac{\partial H_y}{\partial x} - \frac{\partial H_x}{\partial y} \right) \mathbf{a}_z = \mathbf{J}$$

لکھا جاسکتا ہے۔ اس مساوات کو قالب کے **حتی قیمت**¹⁰ کی شکل میں

$$(7.32) \quad H_{\text{گردش}} = \begin{vmatrix} \mathbf{a}_x & \mathbf{a}_y & \mathbf{a}_z \\ \frac{\partial}{\partial x} & \frac{\partial}{\partial y} & \frac{\partial}{\partial z} \\ H_x & H_y & H_z \end{vmatrix} = J$$

لکھا جاسکتا ہے۔ صفحہ 81 پر مساوات 3.29 نیپلا ∇ کے عمل کو بیان کرتا ہے جسے یہاں دوبارہ پیش کرتے ہیں

$$\nabla = \frac{\partial}{\partial x} \mathbf{a}_x + \frac{\partial}{\partial y} \mathbf{a}_y + \frac{\partial}{\partial z} \mathbf{a}_z$$

اور صفحہ 15 پر مساوات 1.19 دو سمتیات کا سمتی ضرب دیتا ہے۔ ان سے گردش نہایت خوبصورتی سے

$$(7.33) \quad H_{\text{گردش}} = \nabla \times H$$

لکھی جاسکتی ہے۔ آپ جلد دیکھیں گے کہ صرف کارتیسی محدود میں ہی گردش ∇ اور H کے صلیبی ضرب سے حاصل ہوتا ہے۔ اس کے باوجود کسی بھی محدود میں گردش کو $\nabla \times H$ سے ہی ظاہر کیا جاتا ہے۔ یوں کارتیسی محدود میں H کی گردش یوں لکھی جائے گی۔

$$(7.34) \quad \nabla \times H = \left(\frac{\partial H_z}{\partial y} - \frac{\partial H_y}{\partial z} \right) \mathbf{a}_x + \left(\frac{\partial H_x}{\partial z} - \frac{\partial H_z}{\partial x} \right) \mathbf{a}_y + \left(\frac{\partial H_y}{\partial x} - \frac{\partial H_x}{\partial y} \right) \mathbf{a}_z$$

ایمپیر کے دوری قانون کی نقطہ شکل

$$(7.35) \quad \nabla \times H = J$$

لکھی جاسکتی ہے جو میکس ویل کی دوسری مساوات ہے جو وقت کے ساتھ تبدیل نہ ہوتے میدان کے لئے درست ہے۔ یہاں میکس ویل کی تیسری مساوات کا بھی ذکر کر لیتے ہیں جو $E \cdot dL$ کی نقطہ شکل

$$(7.36) \quad \nabla \times E = 0$$

ہے۔ میکس ویل کے چوتھی مساوات پر اس کتاب میں آگے غور کیا جائے گا۔

آپ جانتے ہیں کہ ساکن برقی میدان بقائی میدان ہوتا ہے لہذا اس میں چارج q کو کسی بھی بند راہ پر پورا چکر گھمانے کے لئے صفر توانائی درکار ہوگی۔ یوں $\oint E \cdot dL$ صفر کے برابر ہوگا جس سے E کا گردش بھی صفر ہوگا۔ مساوات 7.36 یہی کہتی ہے۔ اس کے برعکس وقت کے ساتھ غیر تغیر پذیر مقناطیسی میدان غیر بقائی میدان ہے جس میں چارج کو برقی رو گھیرتی ہوئی کسی بھی بند راہ پر پورا چکر گھمانے کے لئے توانائی درکار ہوگی۔ اسی لئے اس کی گردش صفر نہیں ہوگی۔ مساوات 7.35 یہی کہتی ہے۔

مشق 7.1: گردش یعنی $\nabla \times H$ کو

$$\left(\frac{\partial}{\partial x} \mathbf{a}_x + \frac{\partial}{\partial y} \mathbf{a}_y + \frac{\partial}{\partial z} \mathbf{a}_z \right) \times (H_x \mathbf{a}_x + H_y \mathbf{a}_y + H_z \mathbf{a}_z)$$

لکھ کر سمتی ضرب سے مساوات 7.31 حاصل کریں۔

2118

2119

2120

2123

2124

2125

مثال 7.1: سمتیہ $\mathbf{A} = A_x \mathbf{a}_x + A_y \mathbf{a}_y + A_z \mathbf{a}_z$ کے گردش کی گردش یعنی $\nabla \times \mathbf{A}$ حاصل کریں۔

حل: مساوات 7.34 سے

$$(7.37) \quad \nabla \times \mathbf{A} = \left(\frac{\partial A_z}{\partial y} - \frac{\partial A_y}{\partial z} \right) \mathbf{a}_x + \left(\frac{\partial A_x}{\partial z} - \frac{\partial A_z}{\partial x} \right) \mathbf{a}_y + \left(\frac{\partial A_y}{\partial x} - \frac{\partial A_x}{\partial y} \right) \mathbf{a}_z$$

لکھتے ہیں۔ مساوات 7.34 دوبارہ استعمال کرتے ہوئے

$$\begin{aligned} \nabla \times \nabla \times \mathbf{A} = & \left[\frac{\partial}{\partial y} \left(\frac{\partial A_y}{\partial x} - \frac{\partial A_x}{\partial y} \right) - \frac{\partial}{\partial z} \left(\frac{\partial A_x}{\partial z} - \frac{\partial A_z}{\partial x} \right) \right] \mathbf{a}_x \\ & + \left[\frac{\partial}{\partial z} \left(\frac{\partial A_z}{\partial y} - \frac{\partial A_y}{\partial z} \right) - \frac{\partial}{\partial x} \left(\frac{\partial A_y}{\partial x} - \frac{\partial A_x}{\partial y} \right) \right] \mathbf{a}_y \\ & + \left[\frac{\partial}{\partial x} \left(\frac{\partial A_x}{\partial z} - \frac{\partial A_z}{\partial x} \right) - \frac{\partial}{\partial y} \left(\frac{\partial A_z}{\partial y} - \frac{\partial A_y}{\partial z} \right) \right] \mathbf{a}_z \end{aligned}$$

تمام تفرق حاصل کرتے ہوئے

$$\begin{aligned} \nabla \times \nabla \times \mathbf{A} = & \left[\frac{\partial^2 A_y}{\partial y \partial x} - \frac{\partial^2 A_x}{\partial y^2} - \frac{\partial^2 A_x}{\partial z^2} + \frac{\partial^2 A_z}{\partial z \partial x} \right] \mathbf{a}_x \\ & + \left[\frac{\partial^2 A_z}{\partial z \partial y} - \frac{\partial^2 A_y}{\partial z^2} - \frac{\partial^2 A_y}{\partial x^2} + \frac{\partial^2 A_x}{\partial x \partial y} \right] \mathbf{a}_y \\ & + \left[\frac{\partial^2 A_x}{\partial x \partial z} - \frac{\partial^2 A_z}{\partial x^2} - \frac{\partial^2 A_z}{\partial y^2} + \frac{\partial^2 A_y}{\partial y \partial z} \right] \mathbf{a}_z \end{aligned}$$

اس مساوات کے پہلے جزو میں $\frac{\partial^2 A_x}{\partial x^2}$ ، دوسرے جزو میں $\frac{\partial^2 A_y}{\partial y^2}$ اور تیسرے میں $\frac{\partial^2 A_z}{\partial z^2}$ شامل کرتے ہوئے ذرہ مختلف ترتیب سے لکھتے ہیں۔

$$\begin{aligned} \nabla \times \nabla \times \mathbf{A} = & \left[\frac{\partial^2 A_x}{\partial x^2} + \frac{\partial^2 A_y}{\partial y \partial x} + \frac{\partial^2 A_z}{\partial z \partial x} \right] \mathbf{a}_x - \left[\frac{\partial^2 A_x}{\partial x^2} + \frac{\partial^2 A_x}{\partial y^2} + \frac{\partial^2 A_x}{\partial z^2} \right] \mathbf{a}_x \\ (7.38) \quad & + \left[\frac{\partial^2 A_x}{\partial x \partial y} + \frac{\partial^2 A_y}{\partial y^2} + \frac{\partial^2 A_z}{\partial z \partial y} \right] \mathbf{a}_y - \left[\frac{\partial^2 A_y}{\partial x^2} + \frac{\partial^2 A_y}{\partial y^2} + \frac{\partial^2 A_y}{\partial z^2} \right] \mathbf{a}_y \\ & + \left[\frac{\partial^2 A_x}{\partial x \partial z} + \frac{\partial^2 A_y}{\partial y \partial z} + \frac{\partial^2 A_z}{\partial z^2} \right] \mathbf{a}_z - \left[\frac{\partial^2 A_z}{\partial x^2} + \frac{\partial^2 A_z}{\partial y^2} + \frac{\partial^2 A_z}{\partial z^2} \right] \mathbf{a}_z \end{aligned}$$

یہاں رک کر \mathbf{A} کے پھیلاؤ کی ڈھلوان یعنی $\nabla(\nabla \cdot \mathbf{A})$ حاصل کرتے ہیں۔ پھیلاؤ

$$\nabla \cdot \mathbf{A} = \frac{\partial A_x}{\partial x} + \frac{\partial A_y}{\partial y} + \frac{\partial A_z}{\partial z}$$

استعمال کرتے ہوئے

$$\begin{aligned} \nabla(\nabla \cdot \mathbf{A}) = & \left(\frac{\partial^2 A_x}{\partial x^2} + \frac{\partial^2 A_y}{\partial x \partial y} + \frac{\partial^2 A_z}{\partial x \partial z} \right) \mathbf{a}_x \\ (7.39) \quad & + \left(\frac{\partial^2 A_x}{\partial y \partial x} + \frac{\partial^2 A_y}{\partial y^2} + \frac{\partial^2 A_z}{\partial y \partial z} \right) \mathbf{a}_y \\ & + \left(\frac{\partial^2 A_x}{\partial z \partial x} + \frac{\partial^2 A_y}{\partial z \partial y} + \frac{\partial^2 A_z}{\partial z^2} \right) \mathbf{a}_z \end{aligned}$$

حاصل ہوتا ہے۔ اگر ہم

$$\begin{aligned} (7.40) \quad \nabla^2 \mathbf{A} \equiv & \nabla^2 A_x \mathbf{a}_x + \nabla^2 A_y \mathbf{a}_y + \nabla^2 A_z \mathbf{a}_z \\ = & \left(\frac{\partial^2 A_x}{\partial x^2} + \frac{\partial^2 A_x}{\partial y^2} + \frac{\partial^2 A_x}{\partial z^2} \right) \mathbf{a}_x + \left(\frac{\partial^2 A_y}{\partial x^2} + \frac{\partial^2 A_y}{\partial y^2} + \frac{\partial^2 A_y}{\partial z^2} \right) \mathbf{a}_y + \left(\frac{\partial^2 A_z}{\partial x^2} + \frac{\partial^2 A_z}{\partial y^2} + \frac{\partial^2 A_z}{\partial z^2} \right) \mathbf{a}_z \end{aligned}$$

لکھیں تب مندرجہ بالا دو مساواتوں کی مدد سے مساوات 7.38 کو یوں لکھا جاسکتا ہے۔

$$(7.41) \quad \nabla \times \nabla \times \mathbf{A} \equiv \nabla(\nabla \cdot \mathbf{A}) - \nabla^2 \mathbf{A}$$

مساوات 7.40 سمتیہ کی لاپلاسی¹¹ ہے۔

2126

2127

2128

مثال 7.2: سمتیہ \mathbf{S} اور مقداری M کے حاصل ضرب کی گردش کے لئے ثابت کریں کہ

$$(7.42) \quad \nabla \times (M\mathbf{S}) \equiv (\nabla M) \times \mathbf{S} + M(\nabla \times \mathbf{S})$$

کے برابر ہے۔

2129

حل: سمتیہ اور مقداری کے حاصل ضرب کو

$$MS = M(S_x \mathbf{a}_x + S_y \mathbf{a}_y + S_z \mathbf{a}_z) = MS_x \mathbf{a}_x + MS_y \mathbf{a}_y + MS_z \mathbf{a}_z$$

لکھتے ہوئے اس کی گردش مساوات 7.34 کی طرح لکھ کر

$$\nabla \times MS = \left(\frac{\partial MS_z}{\partial y} - \frac{\partial MS_y}{\partial z} \right) \mathbf{a}_x + \left(\frac{\partial MS_x}{\partial z} - \frac{\partial MS_z}{\partial x} \right) \mathbf{a}_y + \left(\frac{\partial MS_y}{\partial x} - \frac{\partial MS_x}{\partial y} \right) \mathbf{a}_z$$

تفرق کھولتے ہیں۔

$$\begin{aligned} \nabla \times MS &= \left(\frac{\partial M}{\partial y} S_z + M \frac{\partial S_z}{\partial y} - \frac{\partial M}{\partial z} S_y - M \frac{\partial S_y}{\partial z} \right) \mathbf{a}_x \\ &+ \left(\frac{\partial M}{\partial z} S_x + M \frac{\partial S_x}{\partial z} - \frac{\partial M}{\partial x} S_z - M \frac{\partial S_z}{\partial x} \right) \mathbf{a}_y \\ &+ \left(\frac{\partial M}{\partial x} S_y + M \frac{\partial S_y}{\partial x} - \frac{\partial M}{\partial y} S_x - M \frac{\partial S_x}{\partial y} \right) \mathbf{a}_z \end{aligned}$$

اس کو یوں ترتیب دیتے ہیں

$$\begin{aligned} \nabla \times MS &= \left[\left(\frac{\partial M}{\partial y} S_z - \frac{\partial M}{\partial z} S_y \right) \mathbf{a}_x + \left(\frac{\partial M}{\partial z} S_x - \frac{\partial M}{\partial x} S_z \right) \mathbf{a}_y + \left(\frac{\partial M}{\partial x} S_y - \frac{\partial M}{\partial y} S_x \right) \mathbf{a}_z \right] \\ &+ M \left[\left(\frac{\partial S_z}{\partial y} - \frac{\partial S_y}{\partial z} \right) \mathbf{a}_x + \left(\frac{\partial S_x}{\partial z} - \frac{\partial S_z}{\partial x} \right) \mathbf{a}_y + \left(\frac{\partial S_y}{\partial x} - \frac{\partial S_x}{\partial y} \right) \mathbf{a}_z \right] \end{aligned}$$

اس مساوات کا دوسرا جزو $M(\nabla \times S)$ کے برابر ہے جبکہ اس کا پہلا جزو $(\nabla M) \times S$ کے برابر ہے جسے

$$(\nabla M) \times S = \left(\frac{\partial M}{\partial x} \mathbf{a}_x + \frac{\partial M}{\partial y} \mathbf{a}_y + \frac{\partial M}{\partial z} \mathbf{a}_z \right) \times (S_x \mathbf{a}_x + S_y \mathbf{a}_y + S_z \mathbf{a}_z)$$

لکھ کر صلیبی ضرب کے بعد ترتیب دینے سے

$$(\nabla M) \times S = \left(\frac{\partial M}{\partial y} S_z - \frac{\partial M}{\partial z} S_y \right) \mathbf{a}_x + \left(\frac{\partial M}{\partial z} S_x - \frac{\partial M}{\partial x} S_z \right) \mathbf{a}_y + \left(\frac{\partial M}{\partial x} S_y - \frac{\partial M}{\partial y} S_x \right) \mathbf{a}_z$$

حاصل کیا جاسکتا ہے۔

2130

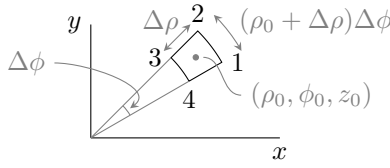
2131

2132

7.3.1 نلکی محدود میں گردش

نلکی محدود میں J_z کثافت برقی رو کے عمودی سطح پر چھوٹا رقبہ لیتے ہیں جسے شکل 7.12 میں دکھایا گیا ہے۔ ایسے رقبے کے اطراف $\Delta \rho$ اور $\Delta \phi$ ہوں گے جبکہ اس سطح پر z کی قیمت تبدیل نہیں ہوگی۔ اس رقبے کے وسط میں

$$H_0(\rho_0, \phi_0, z_0) = H_{\rho 0} \mathbf{a}_\rho + H_{\phi 0} \mathbf{a}_\phi + H_{z 0} \mathbf{a}_z$$



شکل 7.12: نلکی محدد میں چھوٹا رقبہ۔

ہوگا۔ کارتیسی محدود میں رقبے کے وسط سے $\frac{\Delta x}{2}$ اور $-\frac{\Delta x}{2}$ فاصلے پر اطراف کی لمبائیاں عین برابر تھیں۔ نلکی محدود میں رقبے کے وسط سے $\frac{\Delta \rho}{2}$ فاصلے پر طرف کی لمبائی $(\rho_0 + \frac{\Delta \rho}{2}) \Delta \phi$ جبکہ وسط سے $-\frac{\Delta \rho}{2}$ فاصلے پر طرف کی لمبائی $(\rho_0 - \frac{\Delta \rho}{2}) \Delta \phi$ ہے۔ انہیں اطراف پر مقناطیسی شدت بالترتیب

$$H_{\phi 21} \doteq H_{\phi 0} + \frac{\partial H_{\phi}}{\partial \rho} \frac{\Delta \rho}{2}$$

اور

$$H_{\phi 43} \doteq H_{\phi 0} - \frac{\partial H_{\phi}}{\partial \rho} \frac{\Delta \rho}{2}$$

ہوگی جہاں $\frac{\partial H_{\phi}}{\partial \rho}$ چھوٹے رقبے کے وسط میں حاصل کیا جائے گا۔ یوں 1 سے 2 جانب چھوٹے رقبے کے گرد چکر کاٹتے ہوئے ان دو اطراف پر مکمل

$$\begin{aligned} (\mathbf{H} \cdot d\mathbf{L})_{21} &\doteq \left(H_{\phi 0} + \frac{\partial H_{\phi}}{\partial \rho} \frac{\Delta \rho}{2} \right) \left(\rho_0 + \frac{\Delta \rho}{2} \right) \Delta \phi \\ &\doteq \left[H_{\phi 0} \rho_0 + H_{\phi 0} \frac{\Delta \rho}{2} + \rho_0 \frac{\partial H_{\phi}}{\partial \rho} \frac{\Delta \rho}{2} + \frac{\partial H_{\phi}}{\partial \rho} \left(\frac{\Delta \rho}{2} \right)^2 \right] \Delta \phi \end{aligned}$$

اور

$$\begin{aligned} (\mathbf{H} \cdot d\mathbf{L})_{43} &\doteq \left(H_{\phi 0} - \frac{\partial H_{\phi}}{\partial \rho} \frac{\Delta \rho}{2} \right) \left[- \left(\rho_0 - \frac{\Delta \rho}{2} \right) \Delta \phi \right] \\ &\doteq \left[-H_{\phi 0} \rho_0 + H_{\phi 0} \frac{\Delta \rho}{2} + \rho_0 \frac{\partial H_{\phi}}{\partial \rho} \frac{\Delta \rho}{2} - \frac{\partial H_{\phi}}{\partial \rho} \left(\frac{\Delta \rho}{2} \right)^2 \right] \Delta \phi \end{aligned}$$

ہوں گے۔

چھوٹے رقبے کے وسط سے $\frac{\Delta \phi}{2}$ یا $-\frac{\Delta \phi}{2}$ پر اطراف $\Delta \rho$ لمبائی رکھتے ہیں جبکہ ان پر اوسط شدت بالترتیب

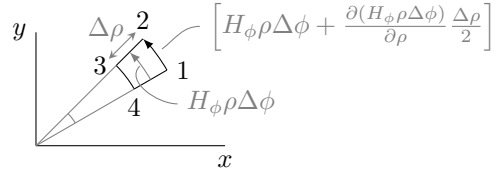
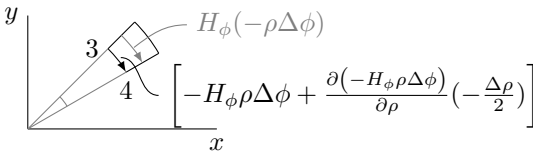
$$H_{\phi 32} \doteq H_{\rho 0} + \frac{\partial H_{\rho}}{\partial \phi} \frac{\Delta \phi}{2}$$

اور

$$H_{\phi 14} \doteq H_{\rho 0} - \frac{\partial H_{\rho}}{\partial \phi} \frac{\Delta \phi}{2}$$

ہیں۔ یوں ان اطراف پر مکمل

$$(\mathbf{H} \cdot d\mathbf{L})_{32} \doteq \left(H_{\rho 0} + \frac{\partial H_{\rho}}{\partial \phi} \frac{\Delta \phi}{2} \right) (-\Delta \rho)$$



(ا) چھوٹے رقبے کے وسط پر تکمل کے قیمت سے بیرونی زاویائی تکمل کی قیمت کا حصول۔ (ب) چھوٹے رقبے کے وسط پر تکمل کے قیمت سے اندرونی زاویائی تکمل کی قیمت کا حصول۔

شکل 7.13: زاویائی حصوں پر تکمل کے قیمت کے حصول کا بہتر طریقہ۔

اور

$$(\mathbf{H} \cdot d\mathbf{L})_{14} \doteq \left(H_{\rho 0} - \frac{\partial H_{\rho}}{\partial \phi} \frac{\Delta \phi}{2} \right) \Delta \rho$$

ہوں گے۔

یوں پورا تکمل ان چار جوابات کا مجموعہ

$$(7.43) \quad \oint \mathbf{H} \cdot d\mathbf{L} \doteq \left(H_{\phi 0} + \rho_0 \frac{\partial H_{\phi}}{\partial \rho} - \frac{\partial H_{\rho}}{\partial \phi} \right) \Delta \rho \Delta \phi$$

ہوگا۔ اس چھوٹے رقبے سے $J_z \rho_0 \Delta \rho \Delta \phi$ برقی رو گزرے گی۔ یوں ایکسیئر کے دوری قانون سے

$$\oint \mathbf{H} \cdot d\mathbf{L} \doteq \left(H_{\phi 0} + \rho_0 \frac{\partial H_{\phi}}{\partial \rho} - \frac{\partial H_{\rho}}{\partial \phi} \right) \Delta \rho \Delta \phi \doteq J_z \rho_0 \Delta \rho \Delta \phi$$

یعنی

$$\frac{\oint \mathbf{H} \cdot d\mathbf{L}}{\rho_0 \Delta \rho \Delta \phi} \doteq \left(\frac{H_{\phi 0}}{\rho_0} + \frac{\partial H_{\phi}}{\partial \rho} - \frac{1}{\rho_0} \frac{\partial H_{\rho}}{\partial \phi} \right) \doteq J_z$$

لکھا جاسکتا ہے۔ اگر $\Delta \rho$ اور $\Delta \phi$ کو کم سے کم کرتے ہوئے صفر کے قریب تر کر دیا جائے تب مندرجہ بالا مساوات بالکل درست ہوگی اور تقریباً برابر کی علامت \doteq کی جگہ برابر کی علامت $=$ استعمال کی جائے گی۔ اس طرح گردش کا پہلا جزو

$$(7.44) \quad \lim_{\substack{\Delta \rho \rightarrow 0 \\ \Delta \phi \rightarrow 0}} \frac{\oint \mathbf{H} \cdot d\mathbf{L}}{\rho_0 \Delta \rho \Delta \phi} = \left(\frac{H_{\phi 0}}{\rho_0} + \frac{\partial H_{\phi}}{\partial \rho} - \frac{1}{\rho_0} \frac{\partial H_{\rho}}{\partial \phi} \right) = J_z$$

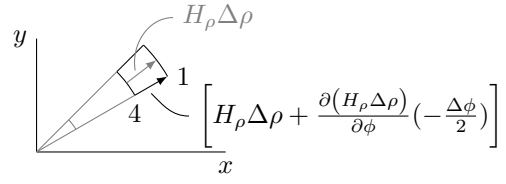
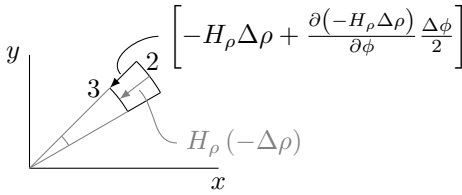
لکھا جاسکتا ہے۔

اس سے پہلے کہ ہم گردش کے بقایا دو اجزاء بھی حاصل کریں، انہیں مساوات 7.43 کو قدر مختلف اور بہتر طریقے سے حاصل کریں۔ شکل 7.13-الف کو دیکھتے ہوئے آگے پڑھیں۔ اگر ہم کسی نقطے کے $-\frac{\Delta \phi}{2}$ سے نقطے کے $+\frac{\Delta \phi}{2}$ تک حرکت کریں تو ہم $\rho \Delta \phi$ فاصلہ طے کریں گے۔ اس راہ پر تکمل تقریباً

$$\mathbf{H} \cdot d\mathbf{L} = H_{\phi} \rho \Delta \phi$$

کے برابر ہوگا۔ اس تکمل کو تفاعل g تصور کرتے ہوئے یعنی $g = H_{\phi} \rho \Delta \phi$ لیتے ہوئے ہم دیکھتے ہیں کہ اگر ہم چھوٹے رقبے کے وسط سے رداسی سمت میں $+\frac{\Delta \rho}{2}$ حرکت کریں تو اس تفاعل کی قیمت میں تبدیلی

$$\Delta(\mathbf{H} \cdot d\mathbf{L}) = \frac{\partial g}{\partial \rho} \frac{\Delta \rho}{2} = \frac{\partial(H_{\phi} \rho \Delta \phi)}{\partial \rho} \frac{\Delta \rho}{2}$$



(۱) چھوٹے رقبے کے وسط پر رداسی تکمل کے قیمت سے کم زاویہ پر تکمل کی قیمت کا (ب) چھوٹے رقبے کے وسط پر رداسی تکمل کے قیمت سے زیادہ زاویہ پر تکمل کی قیمت کا حصول۔

شکل 7.14: رداسی حصوں پر تکمل کے قیمت کے حصول کا بہتر طریقہ۔

لکھی جاسکتی ہے جہاں $\frac{\partial(H_\phi \rho \Delta \phi)}{\partial \rho}$ کو چھوٹے رقبے کے وسط پر حاصل کیا جاتا ہے جہاں رداس ρ_0 کے برابر ہے۔ چونکہ چھوٹے رقبے کے عین وسط پر اس تکمل کی قیمت $H_{\phi 0} \rho_0 \Delta \phi$ کے برابر ہے لہذا وسط سے $\frac{\Delta \rho}{2}$ فاصلے پر تکمل کی قیمت

$$(7.45) \quad \mathbf{H} \cdot d\mathbf{L}_{21} = H_\phi \rho \Delta \phi + \frac{\partial(H_\phi \rho \Delta \phi)}{\partial \rho} \frac{\Delta \rho}{2}$$

ہوگی۔ اسی طرح، جیسا شکل 7.13-ب میں دکھایا گیا ہے، اگر ہم کسی نقطے کے $+\frac{\Delta \phi}{2}$ سے نقطے کے $-\frac{\Delta \phi}{2}$ تک حرکت کریں تو اس راہ پر تکمل

$$\mathbf{H} \cdot d\mathbf{L} = H_\phi(-\rho \Delta \phi)$$

کے برابر ہوگا۔ اگر اس نقطے کو چھوٹے رقبے کا وسط تصور کیا جائے تب وسط سے $-\frac{\Delta \rho}{2}$ فاصلے پر یہی تکمل

$$(7.46) \quad \begin{aligned} \mathbf{H} \cdot d\mathbf{L}_{43} &= -H_\phi \rho \Delta \phi + \frac{\partial(-H_\phi \rho \Delta \phi)}{\partial \rho} \left(-\frac{\Delta \rho}{2}\right) \\ &= -H_\phi \rho \Delta \phi + \frac{\partial(H_\phi \rho \Delta \phi)}{\partial \rho} \frac{\Delta \rho}{2} \end{aligned}$$

ہوگا۔

اسی طرح، جیسے شکل 7.14-الف میں دکھایا گیا ہے، کسی بھی نقطے پر $-\frac{\Delta \rho}{2}$ تا $+\frac{\Delta \rho}{2}$ حرکت کرتے ہوئے تکمل کی قیمت $H_\phi \rho \Delta \phi$ ہوگی۔ اس نقطے سے $-\frac{\Delta \phi}{2}$ پر تکمل کی قیمت میں تبدیلی رونما ہوگی جسے

$$\Delta(\mathbf{H} \cdot d\mathbf{L}) = \frac{\partial(H_\phi \rho \Delta \phi)}{\partial \phi} \left(-\frac{\Delta \phi}{2}\right)$$

لکھا جاسکتا ہے اور یوں تکمل کی نئی قیمت

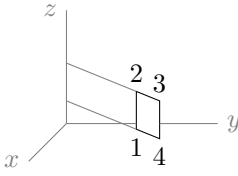
$$\mathbf{H} \cdot d\mathbf{L} = H_\phi \rho \Delta \phi - \frac{\partial(H_\phi \rho \Delta \phi)}{\partial \phi} \frac{\Delta \phi}{2}$$

ہوگی۔ اگر چھوٹے رقبے کے عین وسط کو یہی نقطہ تصور کیا جائے تب مندرجہ بالا مساوات 1 تا 4 پر تکمل دیتا ہے یعنی

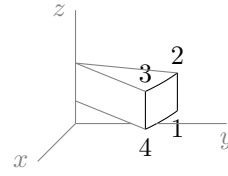
$$(7.47) \quad \mathbf{H} \cdot d\mathbf{L}_{14} = H_\phi \rho \Delta \phi - \frac{\partial(H_\phi \rho \Delta \phi)}{\partial \phi} \frac{\Delta \phi}{2}$$

اسی طرح، جیسے شکل 7.14-ب میں دکھایا گیا ہے، کسی بھی نقطے پر $+\frac{\Delta \rho}{2}$ تا $-\frac{\Delta \rho}{2}$ حرکت کرتے ہوئے تکمل کی قیمت

$$\mathbf{H} \cdot d\mathbf{L} = H_\phi(-\Delta \phi)$$



(ب) نلکی محدد میں شدت کا زاویائی جزو حاصل کرنے کے لئے چھوٹا رقبہ۔



(ا) نلکی محدد میں شدت کا رداسی جزو حاصل کرنے کے لئے چھوٹا رقبہ۔

شکل 7.15: نلکی محدد میں گردش کے رداسی اور زاویائی اجزاء کے رقبے۔

ہوگی۔ اس نقطے کو چھوٹے رقبے کا وسط تصور کرتے ہوئے وسط سے $\frac{\Delta\phi}{2}$ پر یہی مکمل

$$(7.48) \quad \mathbf{H} \cdot d\mathbf{L}_{32} = -H_\rho \Delta\rho - \frac{\partial(H_\rho \Delta\rho)}{\partial\phi} \frac{\Delta\phi}{2}$$

کے برابر ہوگا۔

مساوات 7.45، مساوات 7.46، مساوات 7.47 اور مساوات 7.48 کا مجموعہ چھوٹے رقبے کے گرد پورا مکمل دیتا ہے یعنی

$$(7.49) \quad \oint \mathbf{H} \cdot d\mathbf{L} = \frac{\partial(H_\phi \rho \Delta\phi)}{\partial\rho} \Delta\rho - \frac{\partial(H_\rho \Delta\rho)}{\partial\phi} \Delta\phi$$

$$= \left[\frac{\partial(H_\phi \rho)}{\partial\rho} - \frac{\partial H_\rho}{\partial\phi} \right] \Delta\rho \Delta\phi$$

جہاں تفرق رقبے کے وسط پر حاصل کئے جاتے ہیں۔ اس مساوات کو یوں بھی لکھا جاسکتا ہے

$$\oint \mathbf{H} \cdot d\mathbf{L} = \left[H_{\phi 0} + \rho_0 \frac{\partial H_\phi}{\partial\rho} - \frac{\partial H_\rho}{\partial\phi} \right] \Delta\rho \Delta\phi$$

بالکل مساوات 7.43 ہی ہے۔ یاد رہے کہ $\frac{\partial(H_\phi \rho)}{\partial\rho}$ کو چھوٹے رقبے کے وسط میں حاصل کیا جائے گا۔ یوں رداس ρ_0 اور مقناطیسی شدت $H_{\phi 0}$ کے برابر ہوں گے۔ مساوات 7.49 سے گردش

$$(7.50) \quad \lim_{\substack{\Delta\rho \rightarrow 0 \\ \Delta\phi \rightarrow 0}} \frac{\oint \mathbf{H} \cdot d\mathbf{L}}{\Delta\rho \Delta\phi} = \left[\frac{1}{\rho} \frac{\partial(H_\phi \rho)}{\partial\rho} - \frac{1}{\rho} \frac{\partial H_\rho}{\partial\phi} \right] = J_z$$

آئیں اب نلکی محدد میں گردش کے بقایا دو اجزاء بھی حاصل کریں۔ گردش کا رداسی جزو حاصل کرنے کی خاطر ہم $\rho = \rho_0$ سطح پر چھوٹا رقبہ لیتے ہیں جس کے اطراف Δz اور $\rho_0 \Delta\phi$ لمبائی رکھیں گے۔ اس رقبے کو شکل 7.15 الف میں دکھایا گیا ہے۔ اس پر 1 سے 2 جانب گھومتے ہوئے کائیری مکمل حاصل کیا جائے گا۔ مستقل رداس کے سطح پر کسی بھی نقطے کے قریب $-\frac{\Delta z}{2}$ تا $+\frac{\Delta z}{2}$ چلتے ہوئے مکمل $H_z \Delta z$ حاصل ہوتا ہے۔ اس نقطے سے $+\frac{\Delta\phi}{2}$ زاویہ پر اس مکمل کی قیمت ٹیلر تسلسل سے

$$\mathbf{H} \cdot d\mathbf{L}_{21} = H_z \Delta z + \frac{\partial(H_z \Delta z)}{\partial\phi} \left(+\frac{\Delta\phi}{2} \right)$$

حاصل ہوتی ہے۔ اسی طرح نقطے کے قریب $+\frac{\Delta z}{2}$ تا $-\frac{\Delta z}{2}$ چلتے ہوئے مکمل $-H_z \Delta z$ جبکہ نقطے سے $-\frac{\Delta\phi}{2}$ زاویہ پر

$$\mathbf{H} \cdot d\mathbf{L}_{43} = -H_z \Delta z + \frac{\partial(-H_z \Delta z)}{\partial\phi} \left(-\frac{\Delta\phi}{2} \right)$$

حاصل ہوتا ہے۔ ان دو جوابات سے رقبے کے اطراف کا مکمل

$$(7.51) \quad \mathbf{H} \cdot d\mathbf{L}_{21} + \mathbf{H} \cdot d\mathbf{L}_{43} = + \frac{\partial H_z}{\partial \phi} \Delta z \Delta \phi$$

حاصل ہوتا ہے۔ کسی بھی نقطے کے قریب $-\frac{\Delta \phi}{2}$ تا $+\frac{\Delta \phi}{2}$ پر مکمل کی قیمت $H_\phi \rho \Delta \phi$ جبکہ نقطے سے $-\frac{\Delta z}{2}$ فاصلے پر یہی مکمل ٹیلر تسلسل سے

$$\mathbf{H} \cdot d\mathbf{L}_{14} = H_\phi \rho \Delta \phi + \frac{\partial (H_\phi \rho \Delta \phi)}{\partial z} \left(-\frac{\Delta z}{2} \right)$$

حاصل ہوتا ہے۔ اسی طرح نقطے کے قریب $+\frac{\Delta \phi}{2}$ تا $-\frac{\Delta \phi}{2}$ پر مکمل کی قیمت $-H_\phi \rho \Delta \phi$ جبکہ نقطے سے $+\frac{\Delta z}{2}$ فاصلے پر یہی مکمل ٹیلر تسلسل سے

$$\mathbf{H} \cdot d\mathbf{L}_{32} = -H_\phi \rho \Delta \phi + \frac{\partial (-H_\phi \rho \Delta \phi)}{\partial z} \left(+\frac{\Delta z}{2} \right)$$

حاصل ہوتا ہے۔ ان دو جوابات کے مجموعے سے چھوٹے رقبے کے گرد گھومتے ہوئے زاویائی حصے کا مکمل

$$(7.52) \quad \mathbf{H} \cdot d\mathbf{L}_{14} + \mathbf{H} \cdot d\mathbf{L}_{32} = -\rho \frac{\partial H_\phi}{\partial z} \Delta z \Delta \phi$$

حاصل ہوتا ہے۔

2138

مساوات 7.51 اور مساوات 7.52 کا مجموعہ چھوٹے رقبے کے گرد مکمل نکمل دیتا ہے جو رقبے سے گزرتی برقی $J_\rho \rho \Delta \phi \Delta z$ کے برابر ہوگا یعنی

$$\oint \mathbf{H} \cdot d\mathbf{L} = \left[\frac{\partial H_z}{\partial \phi} - \rho \frac{\partial H_\phi}{\partial z} \right] \Delta z \Delta \phi = J_\rho \rho \Delta \phi \Delta z$$

جس سے گردش کا رداسی جزو

$$(7.53) \quad \lim_{\substack{\Delta \phi \rightarrow 0 \\ \Delta z \rightarrow 0}} \frac{\oint \mathbf{H} \cdot d\mathbf{L}}{\rho \Delta \phi \Delta z} = \left[\frac{1}{\rho} \frac{\partial H_z}{\partial \phi} - \frac{\partial H_\phi}{\partial z} \right] = J_\rho$$

2139

ملتا ہے۔

شکل 7.15-ب میں 1 سے 2 جانب گھومتے ہوئے \mathbf{H} کے لکیری مکمل مندرجہ ذیل ہیں

$$\begin{aligned} \mathbf{H} \cdot d\mathbf{L}_{21} &= H_z \Delta z + \frac{\partial (H_z \Delta z)}{\partial \rho} \left(-\frac{\Delta \rho}{2} \right) \\ \mathbf{H} \cdot d\mathbf{L}_{43} &= -H_z \Delta z + \frac{\partial (-H_z \Delta z)}{\partial \rho} \left(+\frac{\Delta \rho}{2} \right) \\ \mathbf{H} \cdot d\mathbf{L}_{32} &= H_\rho \Delta \rho + \frac{\partial (H_\rho \Delta \rho)}{\partial z} \frac{\Delta z}{2} \\ \mathbf{H} \cdot d\mathbf{L}_{14} &= -H_\rho \Delta \rho + \frac{\partial (-H_\rho \Delta \rho)}{\partial z} \left(-\frac{\Delta z}{2} \right) \end{aligned}$$

اور یوں ایمپیر کے دوری قانون سے

$$(7.54) \quad \lim_{\substack{\Delta \rho \rightarrow 0 \\ \Delta z \rightarrow 0}} \frac{\oint \mathbf{H} \cdot d\mathbf{L}}{\Delta \rho \Delta z} = \left(\frac{\partial H_\rho}{\partial z} - \frac{\partial H_z}{\partial \rho} \right) = J_\phi$$

لکھا جاسکتا ہے۔

مساوات 7.54، مساوات 7.53 اور مساوات 7.50 کا مجموعہ نکلی محدود میں گردش دیتا ہے یعنی

$$(7.55) \quad \nabla \times \mathbf{H} = \left(\frac{1}{\rho} \frac{\partial H_z}{\partial \phi} - \frac{\partial H_\phi}{\partial z} \right) \mathbf{a}_\rho + \left(\frac{\partial H_\rho}{\partial z} - \frac{\partial H_z}{\partial \rho} \right) \mathbf{a}_\phi + \left[\frac{1}{\rho} \frac{\partial (H_\phi \rho)}{\partial \rho} - \frac{1}{\rho} \frac{\partial H_\rho}{\partial \phi} \right] \mathbf{a}_z$$

یہاں ایک بار پھر یہ بتانا ضروری ہے کہ نکلی محدود میں ∇ اور H کا صلیبی ضرب کسی صورت مندرجہ بالا مساوات کا دایاں ہاتھ نہیں دیتا۔ اس کے باوجود H کے گردش کو $\nabla \times H$ سے ہی ظاہر کیا جاتا ہے۔

مشق 7.3: $\mathbf{H} = (3\rho \cos \phi + 5)\mathbf{a}_\rho + 6 \sin \phi \mathbf{a}_\phi + 2\mathbf{a}_z$ تب $\nabla \times \mathbf{H}$ کیا ہوگا۔

جواب: $\nabla \times \mathbf{H} = \left(\frac{6}{\rho} + 3 \right) \sin \phi \mathbf{a}_z$

7.3.2 عمومی محدود میں گردش کی مساوات

صفحہ 84 پر حصہ 3.10 میں عمومی محدود استعمال کرتے ہوئے پھیلاؤ کی مساوات حاصل کی گئی۔ یہاں عمومی محدود میں گردش کی مساوات حاصل کرتے ہیں۔ عمومی محدود کے متغیرات (u, v, w) جبکہ اکائی سمتیت $(\mathbf{a}_u, \mathbf{a}_v, \mathbf{a}_w)$ ہیں۔ ان میں تین اطراف

$$dL_u = k_1 du$$

$$dL_v = k_2 dv$$

$$dL_w = k_3 dw$$

لکھے جاتے ہیں۔

گردش کا پہلا جزو حاصل کرنے کی خاطر ہم نقطہ (u, v, w) پر u کے عمودی سطح پر چھوٹا رقبہ لیتے ہیں جس کے اطراف $k_2 \Delta v$ اور $k_3 \Delta w$ ہوں گے۔ اب $v - \frac{\Delta v}{2}$ سے $v + \frac{\Delta v}{2}$ تک فاصلہ $k_2 \Delta v$ کے برابر ہے لہذا اس پر چلتے ہوئے مکمل $H_v k_2 \Delta v$ کے برابر ہوگا۔ نقطہ (u, v, w) سے $-\frac{\Delta w}{2}$ پر یہی مکمل ٹیلر تسلسل سے

$$\mathbf{H} \cdot d\mathbf{L}_{21} = H_v k_2 \Delta v + \frac{\partial (H_v k_2 \Delta v)}{\partial w} \left(-\frac{\Delta w}{2} \right)$$

حاصل ہوتا ہے۔ اسی طرح $v + \frac{\Delta v}{2}$ سے $v - \frac{\Delta v}{2}$ تک مکمل $-H_v k_2 \Delta v$ کے برابر ہوگا۔ نقطہ (u, v, w) سے $+\frac{\Delta w}{2}$ پر یہی مکمل

$$\mathbf{H} \cdot d\mathbf{L}_{43} = -H_v k_2 \Delta v + \frac{\partial (-H_v k_2 \Delta v)}{\partial w} \left(\frac{\Delta w}{2} \right)$$

ہوگا۔ یوں ان اطراف پر کل مکمل

$$(7.56) \quad \mathbf{H} \cdot d\mathbf{L}_{21} + \mathbf{H} \cdot d\mathbf{L}_{43} = -\frac{\partial (H_v k_2)}{\partial w} \Delta v \Delta w$$

ہوگا۔ یہی طریقہ کار استعمال کرتے ہوئے

$$\begin{aligned} \mathbf{H} \cdot d\mathbf{L}_{32} &= H_w k_3 \Delta w + \frac{\partial(H_w k_3 \Delta w)}{\partial v} \left(\frac{\Delta v}{2} \right) \\ \mathbf{H} \cdot d\mathbf{L}_{14} &= -H_w k_3 \Delta w + \frac{\partial(-H_w k_3 \Delta w)}{\partial v} \left(-\frac{\Delta v}{2} \right) \end{aligned}$$

حاصل ہوتے ہیں جن سے

$$(7.57) \quad \mathbf{H} \cdot d\mathbf{L}_{32} + \mathbf{H} \cdot d\mathbf{L}_{14} = \frac{\partial(H_w k_3)}{\partial v} \Delta v \Delta w$$

لکھا جاسکتا ہے۔ یوں چھوٹے رقبے کے گرد کل مکمل

$$(7.58) \quad \oint \mathbf{H} \cdot d\mathbf{L} = \left[\frac{\partial(H_w k_3)}{\partial v} - \frac{\partial(H_v k_2)}{\partial w} \right] \Delta v \Delta w$$

لکھتے ہوئے ایمپیر کے دوری قانون سے

$$\oint \mathbf{H} \cdot d\mathbf{L} = \left[\frac{\partial(H_w k_3)}{\partial v} - \frac{\partial(H_v k_2)}{\partial w} \right] \Delta v \Delta w = J_u k_2 k_3 \Delta v \Delta w$$

لکھ کر گردش کا پہلا جزو

$$(7.59) \quad \lim_{\substack{\Delta v \rightarrow 0 \\ \Delta w \rightarrow 0}} \frac{\oint \mathbf{H} \cdot d\mathbf{L}}{k_2 k_3 \Delta v \Delta w} = \frac{1}{k_2 k_3} \left[\frac{\partial(H_w k_3)}{\partial v} - \frac{\partial(H_v k_2)}{\partial w} \right] = J_u$$

حاصل ہوتا ہے۔ آپ اسی مساوات میں متغیرات ذرہ دیکھ کر تبدیل کرتے ہوئے گردش کے بقایا دو اجزاء

$$(7.60) \quad \lim_{\substack{\Delta u \rightarrow 0 \\ \Delta w \rightarrow 0}} \frac{\oint \mathbf{H} \cdot d\mathbf{L}}{k_1 k_3 \Delta u \Delta w} = \frac{1}{k_1 k_3} \left[\frac{\partial(H_u k_1)}{\partial w} - \frac{\partial(H_w k_3)}{\partial u} \right] = J_v$$

اور

$$(7.61) \quad \lim_{\substack{\Delta u \rightarrow 0 \\ \Delta v \rightarrow 0}} \frac{\oint \mathbf{H} \cdot d\mathbf{L}}{k_1 k_2 \Delta u \Delta v} = \frac{1}{k_1 k_2} \left[\frac{\partial(H_v k_2)}{\partial u} - \frac{\partial(H_u k_1)}{\partial v} \right] = J_w$$

لکھ سکتے ہیں۔ عمومی محدود میں گردش کے ان اجزاء کو

$$(7.62) \quad \begin{aligned} \nabla \times \mathbf{H} &= \frac{1}{k_2 k_3} \left[\frac{\partial(H_w k_3)}{\partial v} - \frac{\partial(H_v k_2)}{\partial w} \right] \mathbf{a}_u + \frac{1}{k_1 k_3} \left[\frac{\partial(H_u k_1)}{\partial w} - \frac{\partial(H_w k_3)}{\partial u} \right] \mathbf{a}_v \\ &\quad + \frac{1}{k_1 k_2} \left[\frac{\partial(H_v k_2)}{\partial u} - \frac{\partial(H_u k_1)}{\partial v} \right] \mathbf{a}_w \end{aligned}$$

یا قالب کا حتمی قیمت

$$(7.63) \quad \mathbf{H} \text{ گردش} = \begin{vmatrix} \frac{\mathbf{a}_u}{k_2 k_3} & \frac{\mathbf{a}_v}{k_3 k_1} & \frac{\mathbf{a}_w}{k_1 k_2} \\ \frac{\partial}{\partial u} & \frac{\partial}{\partial v} & \frac{\partial}{\partial w} \\ k_1 H_u & k_2 H_v & k_3 H_w \end{vmatrix}$$

لکھا جاسکتا ہے۔

7.3.3 کروی محدود میں گردش کی مساوات

جیسے صفحہ 84 پر حصہ 3.10 میں بتلایا گیا عمومی محدود میں

$$\begin{aligned} k_1 &= 1 \\ k_2 &= r \\ k_3 &= r \sin \theta \end{aligned}$$

اور a_u کی جگہ a_r ، a_v کی جگہ a_θ اور a_w کی جگہ a_ϕ پر کرنے سے کروی محدود حاصل ہوتا ہے۔ مساوات 7.62 میں یہی کچھ پر کرتے ہوئے یوں کروی محدود میں گردش کی مساوات

$$\begin{aligned} \nabla \times \mathbf{H} &= \frac{1}{r^2 \sin \theta} \left[\frac{\partial(H_\phi r \sin \theta)}{\partial \theta} - \frac{\partial(H_\theta r)}{\partial \phi} \right] \mathbf{a}_r + \frac{1}{r \sin \theta} \left[\frac{\partial H_r}{\partial \phi} - \frac{\partial(H_\phi r \sin \theta)}{\partial r} \right] \mathbf{a}_\theta \\ &\quad + \frac{1}{r} \left[\frac{\partial(H_\theta r)}{\partial r} - \frac{\partial H_r}{\partial \theta} \right] \mathbf{a}_\phi \end{aligned}$$

یا

$$\begin{aligned} (7.64) \quad \nabla \times \mathbf{H} &= \frac{1}{r \sin \theta} \left[\frac{\partial(H_\phi \sin \theta)}{\partial \theta} - \frac{\partial H_\theta}{\partial \phi} \right] \mathbf{a}_r + \frac{1}{r} \left[\frac{1}{\sin \theta} \frac{\partial H_r}{\partial \phi} - \frac{\partial(r H_\phi)}{\partial r} \right] \mathbf{a}_\theta \\ &\quad + \frac{1}{r} \left[\frac{\partial(r H_\theta)}{\partial r} - \frac{\partial H_r}{\partial \theta} \right] \mathbf{a}_\phi \end{aligned}$$

حاصل ہوتی ہے۔

مشق 7.4: میدان $\mathbf{H} = 3\rho^2 \cos \phi \mathbf{a}_\rho - 2\rho \sin \phi \mathbf{a}_\phi + \frac{z}{\rho} \mathbf{a}_z$ اور $\mathbf{H} = 2r^2 \cos \theta \mathbf{a}_r - 5r \sin \theta \mathbf{a}_\theta$ کے لئے $\nabla \times \mathbf{H}$ حاصل کریں۔

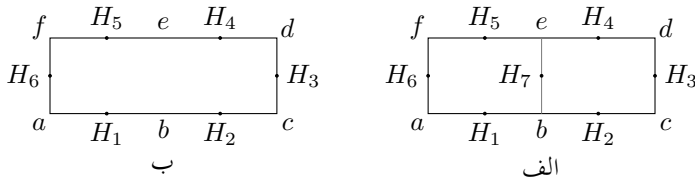
$$\nabla \times \mathbf{H} = (2r - 10) \sin \theta \mathbf{a}_\phi, \quad \nabla \times \mathbf{H} = \frac{z}{\rho^2} \mathbf{a}_\phi + (3\rho - 4) \sin \phi \mathbf{a}_z$$

جوابات:

7.4 مسئلہ سٹوکس

شکل 7.16-الف میں ایک رقبہ دکھایا گیا ہے جسے دو چھوٹے ٹکڑوں میں تقسیم کیا گیا ہے۔ بائیں چھوٹے رقبے کے لئے گردش

$$\frac{\oint \mathbf{H} \cdot d\mathbf{L}_B}{\Delta S_B} \doteq (\nabla \times \mathbf{H}_B)_N$$



شکل 7.16: چھوٹے رقبوں کے گرد لکیری مکمل پورے رقبے کے گرد لکیری مکمل کے برابر ہے۔

لکھی جاسکتی ہے جہاں زیر نوشت میں N اس بات کی یاد دہانی کرتا ہے کہ گردش رقبے ΔS_B کے عمودی ہے اور زیر نوشت میں B بائیں رقبے کو ظاہر کرتا ہے۔ یوں dL_B سے مراد بائیں رقبے کی سرحد پر چھوٹا فاصلہ ہے جبکہ H_B سے مراد بائیں چھوٹے رقبے کے وسط میں مقناطیسی شدت ہے۔ اس طرح اسی مساوات کو

$$\oint \frac{\mathbf{H} \cdot d\mathbf{L}_B}{\Delta S_B} \doteq (\nabla \times \mathbf{H}_B) \cdot \mathbf{a}_N$$

یا

$$\oint \mathbf{H} \cdot d\mathbf{L}_B \doteq (\nabla \times \mathbf{H}_B) \cdot \mathbf{a}_N \Delta S_B = (\nabla \times \mathbf{H}) \cdot \Delta S_B$$

بھی لکھا جاسکتا ہے جہاں \mathbf{a}_N اس رقبے کی اکائی عمودی سمتیہ ہے۔ اب شکل کو دیکھ کر

$$\oint \mathbf{H} \cdot d\mathbf{L}_B \doteq \mathbf{H}_1 \cdot \Delta \mathbf{L}_{ba} + \mathbf{H}_7 \cdot \Delta \mathbf{L}_{eb} + \mathbf{H}_5 \cdot \Delta \mathbf{L}_{fe} + \mathbf{H}_6 \cdot \Delta \mathbf{L}_{af}$$

لکھا جاسکتا ہے۔

اسی طرح دائیں چھوٹے رقبے کے لئے

$$\oint \mathbf{H} \cdot d\mathbf{L}_D \doteq (\nabla \times \mathbf{H}_D) \cdot \Delta S_D$$

اور

$$\oint \mathbf{H} \cdot d\mathbf{L}_D \doteq \mathbf{H}_2 \cdot \Delta \mathbf{L}_{cb} + \mathbf{H}_3 \cdot \Delta \mathbf{L}_{dc} + \mathbf{H}_4 \cdot \Delta \mathbf{L}_{ed} + \mathbf{H}_7 \cdot \Delta \mathbf{L}_{be}$$

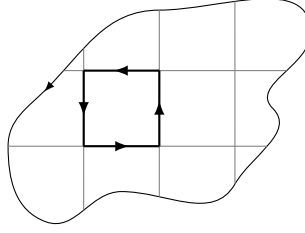
لکھا جاسکتا ہے۔

دائیں رقبے کے لکیری مکمل میں $\mathbf{H}_7 \cdot \Delta \mathbf{L}_{be} = -\mathbf{H}_7 \cdot \Delta \mathbf{L}_{eb}$ لکھ کر دونوں رقبوں کے لکیری مکمل جمع کرتے ہوئے

$$\begin{aligned} \oint \mathbf{H} \cdot d\mathbf{L}_B + \oint \mathbf{H} \cdot d\mathbf{L}_D &\doteq \mathbf{H}_1 \cdot \Delta \mathbf{L}_{ba} + \mathbf{H}_2 \cdot \Delta \mathbf{L}_{cb} + \mathbf{H}_3 \cdot \Delta \mathbf{L}_{dc} + \mathbf{H}_4 \cdot \Delta \mathbf{L}_{ed} + \mathbf{H}_5 \cdot \Delta \mathbf{L}_{fe} + \mathbf{H}_6 \cdot \Delta \mathbf{L}_{af} \\ &\doteq (\nabla \times \mathbf{H}_B) \cdot \Delta S_B + (\nabla \times \mathbf{H}_D) \cdot \Delta S_D \end{aligned}$$

حاصل ہوتا ہے۔ آپ دیکھ سکتے ہیں کہ چھوٹے رقبوں کے مشترک طرف ΔL_{be} پر دونوں کے لکیری مکمل آپس میں کٹ گئے ہیں۔ یہاں پہلی مساوات پورے رقبے کے گرد لکیری مکمل کے برابر ہے جو شکل 7.16-ب کو دیکھ کر لکھی جاسکتی ہے۔ ہم نے شکل 7.16-الف میں رقبے کے صرف دو ٹکڑے لئے۔ آپ دیکھ سکتے ہیں کہ رقبے کے زیادہ ٹکڑے کرتے ہوئے بھی یہی طریقہ کار استعمال کیا جاسکتا ہے۔ اس طرح اگر کسی بھی بڑے رقبے کو انتہائی چھوٹے چھوٹے رقبوں میں تقسیم کرتے ہوئے ہر ایک کے گرد لکیری مکمل لیا جائے تو ان کا مجموعہ پورے رقبے کی سرحد پر گھومتے لکیری مکمل کے برابر ہوگا۔ شکل 7.17 میں بڑے رقبے کو چھوٹے حصوں میں تقسیم کیا دکھایا گیا ہے۔ ہر دو بڑے چھوٹے رقبوں کے مشترک طرف پر لکیری مکمل آپس میں کٹ جائیں گے۔ یوں تمام چھوٹے رقبوں کے لکیری مکمل کے مجموعے کو بڑے رقبے کا لکیری مکمل لیتے ہوئے اور تمام چھوٹے رقبوں کے $(\nabla \times \mathbf{H}_B) \cdot \Delta S$ کے مجموعے کو مکمل کی شکل میں لکھتے ہوئے

$$(7.65) \quad \oint \mathbf{H} \cdot d\mathbf{L} = \int_S (\nabla \times \mathbf{H}_B) \cdot d\mathbf{S}$$



شکل 7.17: کسی بھی بڑے رقبے کو انتہائی چھوٹے رقبوں میں تقسیم کرتے ہوئے ہر کے گرد لکیری تکمل لیں۔ ان تمام کا مجموعہ پورے رقبے کے سرحد پر لکیری تکمل کے برابر ہو گا۔

لکھا جاسکتا ہے جہاں dL کو صرف بڑے رقبے S کی سرحد پر لیا جاتا ہے۔

اگرچہ ہم نے مساوات 7.65 مقناطیسی میدان کے لئے حاصل کیا، درحقیقت یہ ایک عمومی مساوات ہے جو کسی بھی سمتی میدان کے لئے درست ہے۔ یہ مساوات **مسئلہ سٹوکس**¹² بیان کرتا ہے۔

مسئلہ سٹوکس سے ایمپیئر کا دوری قانون باآسانی حاصل ہوتا ہے۔ ایسا کرنے کی خاطر $\nabla \times \mathbf{H} = \mathbf{J}$ کے دونوں اطراف کا dS کے ساتھ غیر سمتی ضرب لیتے ہوئے دونوں اطراف کھلی سطح S پر سطحی تکمل لیتے ہوئے مسئلہ سٹوکس کا استعمال کریں گے۔

$$\int_S (\nabla \times \mathbf{H}) \cdot d\mathbf{S} = \int_S \mathbf{J} \cdot d\mathbf{S} = \oint \mathbf{H} \cdot d\mathbf{L}$$

کثافت برقی رو کی سطحی تکمل سطح S سے گزرتی برقی رو کے برابر ہے لہذا مندرجہ بالا سے

$$\oint \mathbf{H} \cdot d\mathbf{L} = I$$

حاصل ہوتا ہے جو ایمپیئر کا دوری قانون ہے۔ ایمپیئر کے دوری قانون کے اس مختصر حصول سے یہ حقیقت بھی واضح ہوتی ہے کہ I ان تمام سطحوں سے گزرتی برقی رو ہے جن کی سرحد تکمل میں استعمال بند راہ ہے۔

مسئلہ سٹوکس سطحی تکمل اور بند لکیری تکمل کے مابین تعلق بیان کرتا ہے۔ آپ کو یاد ہو گا کہ مسئلہ پھیلاؤ حجمی تکمل اور بند سطحی تکمل کے مابین تعلق بیان کرتا ہے۔ یہ دونوں مسئلے عمومی سمتی ثبوت پیش کرنے میں اہم کردار ادا کرتے ہیں۔ آئیں ایسی ایک مثال دیکھتے ہیں جس میں ہم $\nabla \cdot \mathbf{A}$ کو بیان کرنے کا مختلف طریقہ حاصل کرنے کی کوشش کرتے ہیں جہاں \mathbf{A} کوئی بھی عمومی سمتی میدان ہو سکتا ہے۔

شروع کرنے سے پہلے یاد رہے کہ گردش کا حاصل جواب سمتیہ ہوتا ہے جبکہ پھیلاؤ کا حاصل جواب غیر سمتی ہوتا ہے۔ کسی بھی عمومی سمتیہ میدان \mathbf{A} کا گردش $\nabla \times \mathbf{A}$ بھی سمتیہ ہو گا جبکہ اس گردش کا پھیلاؤ $\nabla \cdot \mathbf{A}$ غیر سمتی ہو گا جسے ہم T کہتے ہیں یعنی

$$\nabla \cdot \nabla \times \mathbf{A} = T$$

دونوں اطراف کا حجمی تکمل لیتے ہیں۔

$$\int_{\text{حجم}} (\nabla \cdot \nabla \times \mathbf{A}) dh = \int_{\text{حجم}} T dh$$

بائیں ہاتھ پر مسئلہ پھیلا دلا گو کرتے ہوئے

$$\oint_S (\nabla \times \mathbf{A}) \cdot d\mathbf{S} = \int_{\text{حجم}} T dh$$

لکھا جاسکتا ہے۔ اس مساوات کا بائیں ہاتھ حجم کو گھیرتے بند سطح پر $\nabla \times \mathbf{A}$ کا مکمل ہے۔ مسئلہ سٹوکس کسی بھی سطح پر سطحی مکمل اور اس سطح کے سرحد پر لکیری مکمل کا تعلق بیان کرتا ہے۔ یوں مندرجہ بالا مساوات کے بائیں ہاتھ میں اگر سطح کو تھیلا سمجھا جائے تو تھیلا کا منہ سطح کی سرحد ہو گا جس پر لکیری مکمل لیا جائے گا۔ جیسے جیسے تھیلا کے منہ کو چھوٹا کیا جائے ویسے ویسے تھیلا بند سطح کی شکل اختیار کرے گا جبکہ سطح کی سرحد چھوٹی سے چھوٹی ہوتی جائے گی حتیٰ کہ جب تھیلا کا منہ مکمل بند ہو جائے تو تھیلا مکمل بند سطح ہو گا جبکہ اس کی سرحد صفر کے برابر ہوگی۔ صفر لمبائی کے راہ پر مکمل صفر کے برابر ہوتا ہے یعنی

$$\int_0^0 \mathbf{A} \cdot d\mathbf{L} = 0$$

یوں

$$\int_{\text{حجم}} T dh = 0$$

حاصل ہوتا ہے۔ چونکہ یہ مساوات کسی بھی حجم کے لئے درست ہے لہذا یہ تفرقی حجم dh کے لئے بھی درست ہے یعنی

$$T dh = 0$$

جس سے

$$T = 0$$

یا

$$(7.66) \quad \nabla \cdot \nabla \times \mathbf{A} = 0$$

حاصل ہوتا ہے۔ مساوات 7.66 انتہائی اہم ثبوت ہے جس کے تحت کسی بھی عمومی سمتی میدان کے گردش کا پھیلا صفر کے برابر ہوتا ہے۔ اس ثبوت کو مندرجہ ذیل مثال میں کارتیسی محدود استعمال کرتے ہوئے بھی حاصل کیا گیا ہے۔

2168

مثال 7.3: کسی بھی عمومی سمتی میدان $\mathbf{A} = A_x \mathbf{a}_x + A_y \mathbf{a}_y + A_z \mathbf{a}_z$ کا گردش اور گردش کا پھیلا کارتیسی محدود میں حاصل کرتے ہوئے ثابت کریں کہ گردش کا پھیلا صفر کے برابر ہوگا۔

2170

حل: پہلے گردش حاصل کرتے ہیں

$$\nabla \times \mathbf{A} = \left(\frac{\partial A_z}{\partial y} - \frac{\partial A_y}{\partial z} \right) \mathbf{a}_x + \left(\frac{\partial A_x}{\partial z} - \frac{\partial A_z}{\partial x} \right) \mathbf{a}_y + \left(\frac{\partial A_y}{\partial x} - \frac{\partial A_x}{\partial y} \right) \mathbf{a}_z$$

جس کا پھیلاؤ

$$\nabla \cdot \nabla \times \mathbf{A} = \frac{\partial^2 A_z}{\partial x \partial y} - \frac{\partial^2 A_y}{\partial x \partial z} + \frac{\partial^2 A_x}{\partial y \partial z} - \frac{\partial^2 A_z}{\partial y \partial x} + \frac{\partial^2 A_y}{\partial z \partial x} - \frac{\partial^2 A_x}{\partial z \partial y} = 0$$

2171

کے برابر ہے جہاں $\frac{\partial^2 A_z}{\partial x \partial y}$ اور $\frac{\partial^2 A_x}{\partial y \partial x}$ کی طرح بقیہ اجزاء بھی آپس میں کٹ جاتے ہیں۔

2172

ساکن مقناطیسی میدان یعنی وقت کے ساتھ تبدیل نہ ہوتے مقناطیسی میدان کے لئے ایمپیر کے دوری قانون کی نقطہ شکل

$$\nabla \times \mathbf{H} = \mathbf{J}$$

ہے۔ اس مساوات کے دونوں اطراف کا پھیلاؤ حاصل کرتے ہوئے

$$\nabla \cdot \nabla \times \mathbf{H} = \nabla \cdot \mathbf{J}$$

لکھا جاسکتا ہے۔ مساوات 7.66 کے تحت گردش کا پھیلاؤ صفر کے برابر ہوتا ہے لہذا

$$\nabla \cdot \mathbf{J} = 0 \quad (7.67)$$

ہوگا۔ اس سے ظاہر ہے کہ ساکن مقناطیسی میدان صرف ایسی برقی رو سے حاصل ہوتا ہے جس کے لئے مساوات 7.67 درست ہو۔ یہی نتیجہ ہم پہلے بھی مساوات 7.4 میں حاصل کر چکے ہیں جہاں ہم دیکھ چکے کہ $\nabla \cdot \mathbf{J} = 0$ سے مراد بند راہ سے کل صفریک سمتی برقی رو کا گزرنا ہے۔

2174

2175

7.5 مقناطیسی بہاؤ اور کثافت مقناطیسی بہاؤ

خالی خلاء میں کثافت مقناطیسی بہاؤ B کی تعریف

$$\mathbf{B} = \mu_0 \mathbf{H} \quad (7.68)$$

ہے جہاں B کی اکائی ویبر فی مربع میٹر Wb/m^2 ہے جسے ¹³ ٹسلا¹³ پکارا اور T سے ظاہر کیا جاتا ہے۔ اس مساوات میں μ_0 خالی خلاء کا **مقناطیسی مستقل**¹⁴ ہے جسے ہینری فی میٹر $\frac{H}{m}$ میں ناپا جاتا ہے۔ خالی خلاء میں

$$\mu_0 = 4\pi \times 10^{-7} \frac{H}{m} \quad (7.69)$$

2176

کے برابر ہے۔

چونکہ H کی اکائی ایمپیر فی میٹر ہے لہذا ویبر کی اکائی ہینری ضرب ایمپیر ہے۔ ہینری کو اکائی تصور کرتے ہوئے ہم دیکھتے ہیں کہ ہینری ضرب ایمپیر کو ویبر لکھا جاتا ہے۔ وقت کے ساتھ بدلنے میدان پر غور کے دوران ہم دیکھیں گے کہ ویبر سے مراد وولٹ ضرب سیکنڈ بھی لیا جاسکتا ہے۔

2178

خالی خلاء میں کثافت برقی بہاؤ D اور برقی میدان کی شدت E کا تعلق

$$\mathbf{D} = \epsilon_0 \mathbf{E}$$

ہو بہو مساوات 7.68 کی طرح ہے۔ کثافت برقی بہاؤ کا سطحی مکمل برقی بہاؤ ψ دیتا ہے۔

$$\psi = \int_S \mathbf{D} \cdot d\mathbf{S}$$

کسی بھی بند سطح سے گزرتی برقی بہاؤ اس سطح میں گھیرے چارج Q کے برابر ہوتا ہے۔

$$\psi = \oint_S \mathbf{D} \cdot d\mathbf{S} = Q$$

¹³ Tesla

¹⁴ magnetic constant, permeability

مثبت چارج سے برقی بہاؤ کا اخراج ہوتا ہے جبکہ منفی چارج پر برقی بہاؤ کا اختتام ہوتا ہے۔ یوں برقی بہاؤ کا منبع برقی چارج ہے۔ مقناطیسی قطب ہر صورت جوڑی کی شکل میں پائے جاتے ہیں۔ آج تک تنہا مقناطیسی قطب نہیں پایا گیا۔ یوں آج تک ایسی صورت دیکھنے کو نہیں ملی جہاں تنہا مقناطیسی قطب سے مقناطیسی بہاؤ کا اخراج ہو یا مقناطیسی بہاؤ اس پر اختتام پذیر ہو۔ مقناطیسی بہاؤ کا منبع برقی رو ہے۔ یاد رہے کہ نا تو مقناطیسی بہاؤ اس برقی رو سے خارج اور نائی اس پر اختتام پذیر ہوتی ہے بلکہ یہ بند دائرے کی شکل میں برقی رو کو گھیرتی ہے۔ کثافت مقناطیسی بہاؤ کا سطحی مکمل **مقناطیسی بہاؤ** Φ^{15} دیتا ہے جسے **ویبر** Wb^{16} میں ناپا جاتا ہے۔

$$\Phi = \int_S \mathbf{B} \cdot d\mathbf{S} \quad Wb \quad (7.70)$$

چونکہ مقناطیسی بہاؤ بند دائرہ بناتا ہے لہذا کسی بھی بند سطح میں جتنا مقناطیسی بہاؤ داخل ہوتا ہے، اتنا ہی مقناطیسی بہاؤ اس سطح سے خارج بھی ہوتا ہے لہذا کسی بھی بند سطح پر مقناطیسی بہاؤ کا مکمل صفر کے برابر ہوگا۔

$$\oint_S \mathbf{B} \cdot d\mathbf{S} = 0 \quad (7.71)$$

مسئلہ پھیلاؤ کے استعمال سے مندرجہ بالا مساوات سے

$$\nabla \cdot \mathbf{B} = 0 \quad (7.72)$$

حاصل ہوتا ہے۔

ہم نے مساوات 7.71 کو ثابت نہیں کیا بلکہ حقیقت کو سامنے رکھتے ہوئے اسے لکھا ہے۔ اس کو آگے ثابت کیا جائے گا۔ فی الحال اس کو قبول کر لیں اور یوں مساوات 7.72 کو بھی درست تصور کریں۔

ساکن مقناطیسی اور ساکن برقی میدان کے لئے مساوات 7.72 میکس ویل کی چوتھی اور آخری مساوات ہے۔ ان تمام کو یہاں دوبارہ پیش کرتے ہیں۔

$$\begin{aligned} \nabla \cdot \mathbf{D} &= \rho \\ \nabla \times \mathbf{E} &= 0 \\ \nabla \times \mathbf{H} &= \mathbf{J} \\ \nabla \cdot \mathbf{B} &= 0 \end{aligned} \quad (7.73)$$

ان کے ساتھ

$$\begin{aligned} \mathbf{D} &= \epsilon_0 \mathbf{E} \\ \mathbf{B} &= \mu_0 \mathbf{H} \end{aligned} \quad (7.74)$$

کو بھی شامل کرتے ہیں۔ ہم برقی میدان کی شدت اور ساکن برقی دباؤ کا تعلق بھی پیش کرتے ہیں۔

$$\mathbf{E} = -\nabla V \quad (7.75)$$

مساوات 7.73 برقی اور مقناطیسی میدان کے پھیلاؤ اور گردش بیان کرتے ہیں جو ان میدان کی خاصیت کے نقطہ اشکال ہیں۔ ان کی مکمل اشکال مندرجہ ذیل ہیں۔

$$\begin{aligned} \oint_S \mathbf{D} \cdot d\mathbf{S} &= Q = \int_{\text{حجم}} \rho_h dV \\ \oint \mathbf{E} \cdot d\mathbf{L} &= 0 \\ \oint \mathbf{H} \cdot d\mathbf{L} &= I = \int_S \mathbf{J} \cdot d\mathbf{S} \\ \oint_S \mathbf{B} \cdot d\mathbf{S} &= 0 \end{aligned} \quad (7.76)$$

ہم جلد ساکن مقناطیسی میدان کے مقناطیسی دباؤ پر بھی غور کریں گے۔ ہم نے برقی میدان پر غور کے دوران موصل اجزاء کے اثر کو بھی تقطیب P کی صورت میں شامل کیا۔ ایسا کرتے ہوئے جزو برقی مستقل کا سہارا لیا گیا۔ اگلے باب میں اسی طرح دیگر اجزاء کا مقناطیسی میدان پر اثر دیکھا جائے گا۔

2183

آئیں مقناطیسی بہاؤ اور کثافت مقناطیسی بہاؤ کا استعمال ہم محوری تار کے اندر بہاؤ کے مثال کی صورت میں دیکھیں۔ ایسی ہم محوری تار جسے شکل 7.7 میں دکھایا گیا ہے میں مقناطیسی شدت

$$H_\phi = \frac{I}{2\pi\rho} \quad (\rho_1 < \rho < \rho_2)$$

ہم پہلے حاصل کر چکے ہیں۔ یوں کثافت مقناطیسی بہاؤ

$$B = \mu_0 H = \frac{\mu_0 I}{2\pi\rho} a_\phi$$

ہو گا۔ اندرونی اور بیرونی تار کے درمیان مقناطیسی بہاؤ وہی ہو گا جو ان تاروں کے درمیان رداسی سیدھی سطح سے گزرے گا۔ تار کو z محور پر تصور کرتے ہوئے $z = 0$ تک رداسی سطح سے گزرتی مقناطیسی بہاؤ

$$\Phi = \int_S B \cdot dS = \int_0^d \int_{\rho_1}^{\rho_2} \frac{\mu_0 I}{2\pi\rho} a_\phi \cdot (d\rho dz a_\phi)$$

یعنی

$$(7.77) \quad \Phi = \frac{\mu_0 I d}{2\pi} \ln \frac{\rho_2}{\rho_1}$$

2184

ہو گی۔ یہ مساوات آگے جا کر ہم محوری تار کے امالہ کے حصول میں کام آئے گی۔

2185

مشق 7.5: تانبے کی تار کو پانی سے ٹھنڈا کرتے ہوئے اس میں زیادہ کثافت برقی رو گزاری جاسکتی ہے۔ ایک ایسی ہم محوری تار جس کے اندرونی تار کا اندرونی رداس 25 mm جبکہ اس کا بیرونی رداس 28 mm ہے اور جس کے بیرونی تار کا اندرونی رداس 35 mm اور بیرونی رداس 37 mm ہے میں 10 000 A کا ایک سمتی برقی روتاروں میں الٹ سمت میں گزر رہی ہے۔ ٹھنڈا پانی اندرونی تار کے اندر اور تاروں کے درمیان فاصلے سے گزارا نہیں ٹھنڈا رکھا جاتا ہے۔ دونوں تاروں کے اندر اور ان کے مابین H اور B حاصل کرنے کے بعد 1 m لمبائی کے لئے دونوں تاروں کے اندر اور ان کے مابین مقناطیسی بہاؤ حاصل کریں۔

2189

جوابات: اندرونی تار میں $J = 20 \frac{A}{mm^2}$ اور $\Phi = 109 \mu Wb$ ہیں۔ بیرونی تار میں $J = 22.1 \frac{A}{mm^2}$ اور $\Phi = 56.6 \mu Wb$ ہیں۔ تاروں کے درمیانی فاصلے میں $\Phi = 446 \mu Wb$ ہے۔

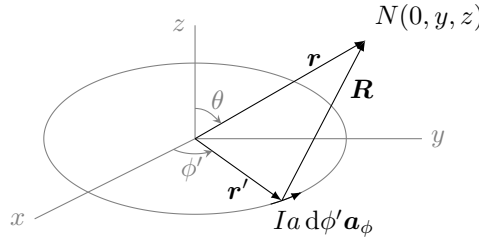
2191

2192

2193

مشق 7.6: $z = 0$ سطح پر ρ رداس کے گول بند دائرے میں I برقی رو گزر رہی ہے۔ گول دائرے کا مرکز کارٹیزی محدد کے $(0, 0, 0)$ پر ہے۔ اگر شہیت z جانب سے دیکھا جائے تو برقی رو گھڑی کے الٹ سمت میں گھوم رہی ہے۔ باپوٹ سیوارٹ کے قانون سے دائرے کے عین وسط میں H حاصل کریں۔

2195



شکل 7.18: گول بند دائرے میں یک سمتی برقی رو کا محور سے ہٹ کر مقناطیسی میدان۔

$$H = \frac{I}{2\rho} a_z \text{ جواب:}$$

مندرجہ بالا مشتق میں آپ نے دائرے کے مرکز پر مقناطیسی میدان حاصل کیا۔ یہی طریقہ استعمال کرتے ہوئے دائرے کے محور پر کسی بھی نقطے پر مقناطیسی میدان حاصل کیا جاسکتا ہے۔ البتہ جیسے ہی محور سے ہٹ کر مقناطیسی میدان مطلوب ہو مسئلہ خاصہ مشکل ہو جاتا ہے۔ مندرجہ ذیل مثال میں اس حقیقت کو سمجھنے رکھا جائے گا کہ محور سے ہٹ کر برقی رو گزارتے گول دائرے کا مقناطیسی میدان حاصل کرنا کیوں ممکن نہیں ہوگا۔ اس کے بعد اس مسئلے کا عددی حل¹⁷ حاصل کرنا دکھایا جائے گا۔ کمپیوٹر استعمال کرتے ہوئے کسی بھی مسئلے کا عددی حل حاصل کیا جاسکتا ہے۔

مثال 7.4: شکل 7.18 میں $x = 0$ سطح یعنی yz سطح پر نقطہ $N(0, y, z)$ پر گول بند دائرے میں یک سمتی برقی رو سے پیدا ہونے والا مقناطیسی میدان کی شدت حاصل کریں۔

حل: رداس a کے گول دائرے پر نقطہ $N'(a, \frac{\pi}{2}, \phi')$ پر چھوٹی سمتی لمبائی کو $a'_{\phi} d\phi'$ لکھا جاسکتا ہے جہاں اکائی سمتیہ a'_{ϕ} کو کارتیسی محدود میں

$$a'_{\phi} = -\sin \phi' a_x + \cos \phi' a_y$$

لکھا جاسکتا ہے۔ یوں

$$dL' = a d\phi' (-\sin \phi' a_x + \cos \phi' a_y)$$

لکھا جاسکتا ہے۔ یہ چھوٹی لمبائی خود $(a \cos \phi', a \sin \phi')$ پر پائی جاتی ہے یعنی

$$r' = a a'_{\rho} = a \cos \phi' a_x + a \sin \phi' a_y$$

کے برابر ہے۔ نقطہ N کا مقام کارتیسی محدود میں

$$r = y a_y + z a_z$$

ہے۔ یوں

$$R = r - r' = -a \cos \phi' a_x + (y - a \sin \phi') a_y + z a_z$$

لکھتے ہوئے

$$|\mathbf{R}| = R = \sqrt{(-a \cos \phi')^2 + (y - a \sin \phi')^2 + z^2}$$

$$= \sqrt{a^2 + y^2 + z^2 - 2ay \sin \phi'}$$

اور

$$\mathbf{a}_R = \frac{\mathbf{R}}{|\mathbf{R}|} = \frac{-a \cos \phi' \mathbf{a}_x + (y - a \sin \phi') \mathbf{a}_y + z \mathbf{a}_z}{\sqrt{a^2 + y^2 + z^2 - 2ay \sin \phi'}}$$

حاصل ہوتے ہیں۔ بائیوٹ سیوارٹ قانون میں $\frac{\mathbf{R}}{R}$ \mathbf{a}_R پر کرتے ہوئے

$$\mathbf{H} = \oint \frac{I d\mathbf{L}' \times \mathbf{R}}{4\pi R^3}$$

لکھا جاسکتا ہے۔ آئیں پہلے $d\mathbf{L}' \times \mathbf{R}$ کی سادہ شکل حاصل کریں۔

$$d\mathbf{L}' \times \mathbf{R} = a d\phi' (-\sin \phi' \mathbf{a}_x + \cos \phi' \mathbf{a}_y) \times [-a \cos \phi' \mathbf{a}_x + (y - a \sin \phi') \mathbf{a}_y + z \mathbf{a}_z]$$

$$= a d\phi' [z \cos \phi' \mathbf{a}_x + z \sin \phi' \mathbf{a}_y + (a - y \sin \phi') \mathbf{a}_z]$$

یوں بائیوٹ سیوارٹ کے قانون کو

$$\mathbf{H} = \frac{aI}{4\pi} \int_0^{2\pi} \frac{z \cos \phi' \mathbf{a}_x + z \sin \phi' \mathbf{a}_y + (a - y \sin \phi') \mathbf{a}_z}{(a^2 + y^2 + z^2 - 2ay \sin \phi')^{\frac{3}{2}}} d\phi'$$

لکھا جاسکتا ہے۔ اس مساوات میں H_x جزو صفر کے برابر ہے۔ یہ حقیقت سیدھی منطق سے ثابت ہوتی ہے۔ کسی بھی زاویہ ϕ' پر چھوٹی لمبائی سے پیدا میدان کو زاویہ لمبائی کا میدان ختم کرتا ہے۔ یوں یہ جزو صفر کے برابر ہے۔ یہی نتیجہ تخلیلی طور پر حاصل کرنے کی خاطر H_x جزو میں نیا متغیر $w = a^2 + y^2 + z^2 - 2ay \sin \phi'$ پر کرتے ہوئے مکمل

$$H_x = \frac{aI}{4\pi} \int_0^{2\pi} \frac{z \cos \phi' d\phi'}{(a^2 + y^2 + z^2 - 2ay \sin \phi')^{\frac{3}{2}}} = 0$$

سے حاصل کیا جاسکتا ہے۔ بتایا دوا جزاء

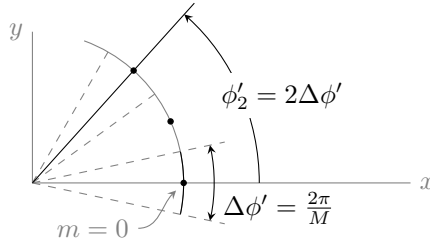
$$H_y = \frac{aI}{4\pi} \int_0^{2\pi} \frac{z \sin \phi' d\phi'}{(a^2 + y^2 + z^2 - 2ay \sin \phi')^{\frac{3}{2}}}$$

(7.78)

$$H_z = \frac{aI}{4\pi} \int_0^{2\pi} \frac{(a - y \sin \phi') d\phi'}{(a^2 + y^2 + z^2 - 2ay \sin \phi')^{\frac{3}{2}}}$$

ہیں۔ یہ دونوں بیضوی تکمل¹⁸ ہیں جنہیں الجبرائی طریقے سے حل کرنا ممکن نہیں ہے۔

بیضوی تکمل کا عددی حل¹⁹ بذریعہ کمپیوٹر حاصل کیا جاتا ہے۔ آئیں قلم و کاغذ استعمال کرتے ہوئے بیضوی تکمل کا عددی حل حاصل کریں۔



شکل 7.19: تکمل کے راہ کو متعدد چھوٹے ٹکڑوں میں تقسیم کیا گیا ہے۔

2208

مثال 7.5: مندرجہ بالا مثال میں H_y اور H_z کے حل **بیضوی تکمل** کی صورت میں حاصل ہوئے۔ نقطہ $N(0, a, a)$ پر H_y کا **عددی حل** حاصل کریں۔

حل: اس نکتے پر

$$\begin{aligned} H_y &= \frac{aI}{4\pi} \int_0^{2\pi} \frac{a \sin \phi' d\phi'}{(a^2 + a^2 + a^2 - 2a^2 \sin \phi')^{\frac{3}{2}}} \\ &= \frac{I}{4\pi a} \int_0^{2\pi} \frac{\sin \phi' d\phi'}{(3 - 2 \sin \phi')^{\frac{3}{2}}} \end{aligned}$$

لکھا جائے گا۔ اس تکمل کو مجموعے کی شکل میں لکھا جاسکتا ہے۔ شکل 7.19 کو دیکھ کر آگے پڑھیں۔ تکمل کے راہ کو M برابر ٹکڑوں میں تقسیم کرتے ہوئے ہر ٹکڑے پر $\Delta\phi' = \frac{2\pi}{M}$ کے برابر ہوگا۔ ان ٹکڑوں کی گنتی کا حساب ہم m سے رکھتے ہیں جہاں m کی قیمت 0 تا $(M-1)$ ہے۔ یوں پہلے ٹکڑے کو $m = 0$ سے ظاہر کیا جائے گا اور اس ٹکڑے کے عین وسط میں زاویہ $\phi'_0 = 0$ ہوگا۔ شکل میں راہ کے چھوٹے ٹکڑوں کے عین وسط کو نقطوں سے ظاہر کیا گیا ہے۔ دوسرے ٹکڑے پر $m = 1$ اور زاویہ $\phi'_1 = \Delta\phi' = \frac{2\pi}{M}$ ہوگا۔ جیسے شکل میں دکھایا گیا ہے، تیسرے پر $m = 2$ اور زاویہ $\phi'_2 = 2\Delta\phi' = \frac{2 \times 2\pi}{M}$ ہوگا۔ یوں عمومی ٹکڑے m پر زاویہ $\phi'_m = m\Delta\phi' = \frac{2m\pi}{M}$ ہوگا۔

2214

اگر ان چھوٹے ٹکڑوں پر تفاعل کی قیمت میں تبدیلی کو رد کرنا ممکن ہو تب ہر چھوٹے ٹکڑے پر تکمل تقریباً

$$\begin{aligned} \Delta H_y &= \frac{I}{4\pi a} \frac{\sin \phi'_m \Delta\phi'}{(3 - 2 \sin \phi'_m)^{\frac{3}{2}}} \\ &= \frac{I}{4\pi a} \frac{\sin(\frac{2m\pi}{M}) \frac{2\pi}{M}}{(3 - 2 \sin \frac{2m\pi}{M})^{\frac{3}{2}}} \end{aligned}$$

کے برابر ہوگا۔ یوں تمام ٹکڑوں کا مجموعہ

$$H_y = \frac{I}{4\pi a} \frac{2\pi}{M} \sum_{m=0}^{M-1} \frac{\sin \frac{2m\pi}{M}}{(3 - 2 \sin \frac{2m\pi}{M})^{\frac{3}{2}}}$$

$\frac{\sin \frac{2m\pi}{M}}{(3-2\sin \frac{2m\pi}{M})^{\frac{3}{2}}}$	m
0.00000	0
0.23852	1
0.82674	2
0.82674	3
0.23852	4
0.00000	5
-0.06889	6
-0.08763	7
-0.08763	8
-0.06889	9

جدول 7.1: دائرے پر برقی رو سے حاصل مقناطیسی میدان کی شدت بذریعہ عددی حل۔

ہوگا۔ جدول 7.1 میں $M = 10$ کی صورت میں m کے تمام قیمتوں پر حاصل $\frac{\sin \frac{2m\pi}{M}}{(3-2\sin \frac{2m\pi}{M})^{\frac{3}{2}}}$ اجزاء دئے گئے ہیں۔ ان تمام کا مجموعہ

$$\begin{aligned}
 H_y &= \frac{I}{4\pi a} \frac{2\pi}{M} (0.00000 + 0.23852 + 0.82674 + 0.82674 + 0.23852 + 0.00000 \\
 &\quad - 0.06889 - 0.08763 - 0.08763 - 0.06889) \\
 &= \frac{I}{4\pi a} \frac{2\pi}{10} (1.8175) \\
 &= 1.1420 \left(\frac{I}{4\pi a} \right)
 \end{aligned}$$

حاصل ہوتا ہے۔ زیادہ سے زیادہ ٹکڑے لیتے ہوئے زیادہ درست جواب حاصل ہوتا ہے۔ اگر $M = 100$ کر دیا جائے تب $H_y = \frac{1.1433I}{4\pi a}$ حاصل ہوتا ہے۔

جدول کو دیکھتے ہوئے ظاہر ہے کہ $m = 0$ اور $m = 5$ برابر حصہ ڈالتے ہیں۔ اسی طرح $m = 1$ اور $m = 4$ بھی برابر حصہ ڈالتے ہیں۔ ان حقائق کو مد نظر رکھتے ہوئے پورے جدول کو حل کرنا درکار نہیں ہے۔ درحقیقت موجودہ مثال میں جدول کے صرف پانچ یعنی آدھے خانوں کا حل درکار ہے۔ موجودہ مسئلے میں صرف دس چھوٹے ٹکڑے کرتے ہوئے تقریباً درست جواب حاصل ہوتا ہے۔ دس اور سو ٹکڑوں کے جوابات میں صرف

$$\left(\frac{1.1433 - 1.1420}{1.1433} \right) \times 100 = 0.11 \%$$

کا فرق ہے۔

2216

2217

7.6 غیر سمتی اور سمتی مقناطیسی دباؤ

برقی میدان کے مسائل برقی دباؤ کے استعمال سے نہایت آسان ہو جاتے ہیں۔ گھریلو 220 کے برقی دباؤ سے آپ بخوبی واقف ہیں۔ اگرچہ برقی دباؤ سے ہمیں روزمرہ زندگی میں عموماً واسطہ پڑتا ہے اور یہ ہمارے لئے ایک حقیقت رکھتا ہے، مقناطیس و برقیات کے میدان میں برقی دباؤ کی اہمیت صرف اس وجہ سے ہے کہ اس کی مدد سے برقی مسائل باآسانی حل ہو جاتے ہیں۔ مثال کے طور پر ہم کسی بھی چارج سے پہلے برقی دباؤ اور پھر برقی دباؤ سے برقی شدت حاصل کرتے ہیں۔

2221

برقی دباو غیر سمتی مقدار ہے۔ ہم جلد دیکھیں گے کہ برقی دباو کے طرز پر **غیر سمتی مقناطیسی دباو**²⁰ بیان کیا جاسکتا ہے۔ البتہ یہ صرف کثافت برقی روسے پاک مقامات پر قابل بیان ہوتا ہے۔ یوں اس کا استعمال ہر جگہ ممکن نہیں ہوگا۔ اس کے برعکس **سمتی مقناطیسی دباو**²¹ بھی بیان کیا جاسکتا ہے جو انتہائی اہمیت کا حامل ہے سمتی مقناطیسی دباو **اینٹینا**²²، **موج**²³ اور مائیکروویو چولھے (خرد موج چولھے)²⁴ پر غور کرنے میں مدد دیتا ہے۔ یہ وقت کے ساتھ تبدیل ہوتے میدان میں بھی قابل استعمال ہوگا اور یہ ان مقامات پر بھی قابل بیان ہوگا جہاں برقی رو پائی جائے۔ انہیں پہلے غیر سمتی مقناطیس دباو دیکھیں۔

برقی دباو اور برقی میدان کی شدت کا تعلق صفحہ 108 پر مساوات 4.46 میں بیان کیا گیا ہے۔ ہم فرض کرتے ہیں بالکل اسی طرح غیر سمتی مقناطیسی دباو V_m کی ڈھلوان منفی مقناطیسی شدت دیتا ہے یعنی

$$\mathbf{H} = -\nabla V_m$$

یہ نیا تفاعل مقناطیسی میدان کے دیگر تفاعل کے ساتھ ہم آہنگ ہونا چاہیے لہذا اسے ایمپیر کے دوری قانون کے نقطہ صورت پر پورا اترنا ہوگا۔ اس طرح

$$\nabla \times \mathbf{H} = \mathbf{J} = \nabla \times (-\nabla V_m) \quad (7.79)$$

ہوگا۔ البتہ جیسے آپ مشق 7.7 میں دیکھیں گے، کسی بھی متغیرہ کی ڈھلوان کا گردش صفر کے برابر ہوتا ہے۔ یوں مقناطیسی میدان کے شدت اور غیر سمتی مقناطیسی دباو کا تعلق صرف اس صورت درست ہو سکتا ہے جب $\mathbf{J} = 0$ ہو یعنی

$$\mathbf{H} = -\nabla V_m \quad (\mathbf{J} = 0) \quad (7.80)$$

اب آپ دیکھ سکتے ہیں کہ غیر مقناطیسی دباو پر لاگو شرط کہ کثافت برقی روسے ہونا ضروری ہے ناقابل قبول شرط ہے۔ اگرچہ کئی صورتوں میں کثافت برقی روسے صفر ہوگی اور V_m کا استعمال ممکن ہوگا لیکن ہمیں ایسے مسائل بھی درپیش ہوں گے جہاں کثافت برقی روسے صفر نہ ہوگی۔ ایسی صورت میں V_m ہمارے کسی کام کا نہ ہوگا۔ غیر سمتی مقناطیسی دباو V_m کی تعریف سے ظاہر ہے کہ اسے ایمپیر میں ناپا جائے گا۔

خالی خلاء میں

$$\nabla \cdot \mathbf{B} = \mu_0 \nabla \cdot \mathbf{H} = 0$$

سے

$$\mu_0 \nabla \cdot (-\nabla V_m) = 0$$

یا

$$\nabla^2 V_m = 0 \quad (\mathbf{J} = 0) \quad (7.81)$$

جو لاپلاس مساوات ہے حاصل ہوتا ہے۔ یوں غیر سمتی مقناطیسی دباو لاپلاس مساوات پر پورا اترتا ہے۔ ہم دیکھیں گے کہ ہر طرف یکساں خاصیت کے مقناطیسی اشیاء میں بھی V_m لاپلاس مساوات پر پورا اترتا ہے۔ یاد رہے کہ V_m صرف اور صرف کثافت برقی روسے پاک مقامات پر درست ثابت ہوتا ہے۔

اگلے باب میں V_m پر تفصیلی غور کیا جائے گا۔ یہاں یہ بتلانا ضروری ہے کہ چونکہ مقناطیسی میدان بقائی میدان نہیں ہے لہذا V_m کی قیمت اٹل نہیں ہوگی۔ آپ کو یاد ہوگا کہ برقی میدان میں کسی نقطے کو برقی زمین رکھتے ہوئے کسی دوسرے نقطے پر برقی دباو اٹل قیمت رکھتی ہے۔ مقناطیسی میدان میں ایسا ممکن نہیں ہے۔ ایسی ایک مثال دیکھنے کی خاطر z محور پر رکھی لا محدود لمبائی کے تار پر غور کرتے ہیں جس میں a_z جانب I برقی رو گزر رہی ہو۔ ایسی تار کے گرد جہاں $\mathbf{J} = 0$ ہے

$$\mathbf{H} = \frac{I}{2\pi\rho} \mathbf{a}_\phi$$

scalar magnetic potential²⁰

vector magnetic potential²¹

antenna²²

waveguide²³

microwave oven²⁴

ہو گا اور غیر سمتی مقناطیسی دباؤ حاصل کیا جاسکتا ہے۔ مساوات 7.80 اور نکلی محدود میں V_m کے ڈھلوان کا زاویائی جزو لیتے ہوئے

$$\frac{I}{2\pi\rho} = -\frac{1}{\rho} \frac{\partial V_m}{\partial \phi}$$

یا

$$\frac{\partial V_m}{\partial \phi} = -\frac{I}{2\pi}$$

سے

$$V_m = -\frac{I}{2\pi}\phi$$

حاصل ہوتا ہے جہاں مکمل کے مستقل کو صفر چنا گیا ہے تاکہ $\phi = 0$ پر مقناطیسی زمین ہو۔ آپ دیکھ سکتے ہیں کہ $\phi = 0$ پر $V_m = 0$ ہے لہذا یہی مقناطیسی زمین ہے۔ اب اگر ہم تار کے گرد پورا چکر کاٹیں تو ہم اسی مقناطیسی زمین پر دوبارہ پہنچتے ہیں لیکن مندرجہ بالا مساوات کے تحت $\phi = 2\pi$ پر $V_m = -I$ کے برابر ہے تاکہ صفر۔ تار کے گرد دو چکر کے بعد اسی نقطے پر $V_m = -2I$ حاصل ہوتا ہے۔ آپ دیکھ سکتے ہیں کہ کسی بھی نقطے پر غیر سمتی مقناطیسی دباؤ کے متعدد قیمتیں ممکن ہیں۔ آپ کو یاد ہو گا کہ برقی میدان میں ایک مرتبہ برقی زمین چننے کے بعد کسی بھی ایک نقطے پر ایک ہی برقی دباؤ کی قیمت حاصل ہوتی ہے۔

2234

آئیں غیر سمتی مقناطیسی دباؤ کے متعدد قیمتوں کا ممکن ہونا سمجھیں۔ ساکن برقی میدان میں

$$\nabla \times \mathbf{E} = 0$$

$$\oint \mathbf{E} \cdot d\mathbf{L} = 0$$

ہوتا ہے لہذا دو نقطوں کے مابین لکیری مکمل

$$V_{ab} = -\int_b^a \mathbf{E} \cdot d\mathbf{L}$$

کا دار و مدار مکمل کے راہ پر منحصر نہیں ہوتا۔ ساکن مقناطیسی میدان میں

$$\nabla \times \mathbf{H} = 0 \quad (\mathbf{J} = 0)$$

ہوتا ہے لیکن

$$\oint \mathbf{H} \cdot d\mathbf{L} = I$$

کے برابر ہوتا ہے اگرچہ مکمل کے راہ پر $\mathbf{J} = 0$ ہے۔ یوں مکمل لیتے ہوئے جب بھی ایک چکر پورا ہو، مکمل کی قیمت میں I برابر اضافہ آئے گا۔ ہاں اگر مکمل کی راہ صفر برقی رو گھیرے تب غیر سمتی مقناطیسی دباؤ بھی ایک قیمت رکھے گا۔ ان حقائق کو مد نظر رکھتے ہوئے غیر سمتی مقناطیسی دباؤ

$$V_{ab} = -\int_b^a \mathbf{H} \cdot d\mathbf{L} \quad (\text{قیمت راہ پر منحصر ہے}) \quad (7.82)$$

بیان کی جاتی ہے۔ ہم یہ فیصلہ کر سکتے ہیں کہ غیر سمتی مقناطیسی دباؤ حاصل کرتے وقت صرف ایک چکر کاٹنا جائے گا۔ اس شرط پر چلتے ہوئے V_m ایک قیمت رکھے گا۔ یہ آپ مندرجہ بالا مثال سے دیکھ سکتے ہیں یعنی

$$V_m = -\frac{I}{2\pi}\phi \quad (-\pi < \phi \leq \pi) \quad (7.83)$$

کی صورت میں $\phi = 0$ پر $V_m = 0$ ہی حاصل ہوتا ہے۔ اس مساوات میں چکر کی وضاحت ضروری ہے۔ صفر زاویہ سے شروع ہو کر اگر زاویہ ϕ مثبت چلائے تو بڑھایا جائے تو $\phi = \pi$ تک پہنچا جاسکتا ہے۔ اس کے برعکس اگر صفر زاویہ سے شروع ہو کر زاویہ ϕ منفی کرتے ہوئے $\phi = \pi$ تک پہنچنے کی کوشش کی جائے تو ایسا ممکن نہیں ہے۔ یوں $\phi = \pi$ پر V_m کی ایک عدد قیمت ہوگی۔

2237

مشق 7.7: کارٹیزی محدود استعمال کرتے ہوئے مثال 7.3 کے طرز پر ثابت کریں کہ کسی بھی غیر سمتی متغیرہ کے ڈھلوان کی گردش صفر کے برابر ہوگی یعنی

$$\nabla \times (\nabla V) = 0 \quad (7.84)$$

2238

آئیں اب سمتی مقناطیسی دباؤ پر غور کرتے ہیں۔ ہم شروع

$$\nabla \cdot \mathbf{B} = 0 \quad (7.85)$$

سے کرتے ہیں۔ سمتی مقناطیسی دباؤ کو اس مساوات کے ہم آہنگ ہونا ہوگا۔ مساوات 7.66 میں ہم دیکھ چکے ہیں کہ کسی بھی سمتی متغیرہ کے گردش کا پھیلاؤ صفر کے برابر ہوتا ہے لہذا اگر سمتی متغیرہ \mathbf{A} کا گردش

$$\mathbf{B} = \nabla \times \mathbf{A} \quad (7.86)$$

ہو تب بھی \mathbf{B} کا پھیلاؤ

$$\nabla \cdot \nabla \times \mathbf{A} = 0$$

ہی ہوگا۔ ہم مساوات 7.86 میں دے \mathbf{A} کو سمتی مقناطیسی دباؤ کی تعریف مان کر آگے بڑھتے ہیں۔ یوں سمتی مقناطیسی دباؤ خود بخود مساوات 7.85 کے ہم آہنگ ہوگا۔ یوں

$$\mathbf{H} = \frac{1}{\mu_0} \nabla \times \mathbf{A}$$

اور

$$\nabla \times \mathbf{H} = \mathbf{J} = \frac{1}{\mu_0} \nabla \times \nabla \times \mathbf{A}$$

حاصل ہوتے ہیں۔ کسی بھی سمتی متغیرہ کے گردش کا گردش عموماً صفر کے برابر نہیں ہوتا۔ سمتی مقناطیسی دباؤ \mathbf{A} کی اکائی ویبر فی میٹر $\frac{\text{Wb}}{\text{m}}$ ہے۔ گردش کے گھوش کی قدر مختلف صورت صفحہ 215 پر مساوات 7.41 میں حاصل کی گئی ہے۔

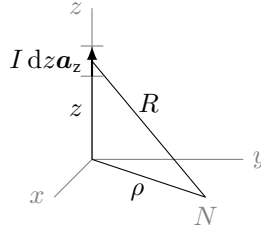
2240

ہم حصہ 7.7.1 میں دیکھیں گے کہ \mathbf{A} اور \mathbf{B} کے تعریف اور بائیوٹ سیوارٹ کے قانون سے

$$\mathbf{A} = \oint \frac{\mu_0 I d\mathbf{L}}{4\pi R} \quad (7.87)$$

لکھا جاسکتا ہے۔ ہم نے \mathbf{A} کی تعریف اس کے گردش کے ذریعے کی ہے۔ چونکہ ڈھلوان کا گردش صفر کے برابر ہوتا ہے لہذا ہم مندرجہ بالا مساوات کے ساتھ کسی غیر سمتی متغیرہ کا ڈھلوان بھی جمع کر سکتے ہیں۔ ایسا کرنے سے \mathbf{B} یا \mathbf{H} کے قیمتوں پر کوئی اثر نہ پڑتا۔ ساکن مقناطیسی میدان میں عموماً ڈھلوان جمع نہیں کیا جاتا اور اس مساوات کو یوں ہی رکھا جاتا ہے۔

2243



شکل 7.20: تار کے چھوٹے حصے سے پیدا سمتی مقناطیسی دباؤ۔

ساکن برقی دباؤ کے مساوات

$$V = \int \frac{\rho_L dL}{4\pi\epsilon_0 R}$$

کے ساتھ مساوات 7.87 کا موازنہ کرنے سے یہ بات بہتر سمجھ میں آتی ہے کہ A واقع سمتی مقناطیسی دباؤ ہی ہے۔ یہ دونوں مساوات لکیری مکمل دیتے ہیں۔ ایک برقی رو اور دوسرا کثافت چارج کا لکیری مکمل دیتا ہے۔ دونوں میں تفرقی فاصلے dL کا اثر R کے بالعکس متناسب ہے اور دونوں مساوات میں خالی خلاء کے خاصیت یعنی μ_0 اور ϵ_0 استعمال ہوتے ہیں۔

مساوات 7.87 کی تفرق شکل

$$(7.88) \quad dA = \frac{\mu_0 I dL}{4\pi R}$$

بھی لکھی جاسکتی ہے جب تک dL سے حاصل dA کا کوئی مطلب نہ لیا جائے۔ یاد رہے کہ جب تک بند مکمل پورا نہ لیا جائے، حاصل A کوئی معنی نہیں رکھتا۔

شکل 7.20 میں z محدد پر لا محدود لمبائی کے برقی رو گزرتے تار کا چھوٹا حصہ dL دکھایا گیا ہے۔ نقطہ N پر یہ

$$dA = \frac{\mu_0 I dz a_z}{4\pi \sqrt{\rho^2 + z^2}}$$

یا

$$(7.89) \quad dA_z = \frac{\mu_0 I dz}{4\pi \sqrt{\rho^2 + z^2}}, \quad dA_\rho = 0, \quad dA_\phi = 0$$

سمتی مقناطیسی دباؤ پیدا کرے گا۔ آپ دیکھ سکتے ہیں کہ تار کے ہر چھوٹے حصے کا پیدا کردہ سمتی مقناطیسی دباؤ تار کے اسی حصے کی سمت میں ہوگا۔

مقناطیسی شدت تکلی محدود میں مندرجہ بالا مساوات کے گردش

$$\begin{aligned} dH &= \frac{1}{\mu_0} \nabla \times dA = \frac{1}{\mu_0} \left(-\frac{\partial dA_z}{\partial \rho} \right) a_\phi \\ &= \frac{I dz}{4\pi} \frac{\rho a_\phi}{(\rho^2 + z^2)^{\frac{3}{2}}} \end{aligned}$$

سے حاصل ہوگا۔ یہی مساوات شکل 7.20 کو دیکھتے ہوئے بائوٹ سیوارٹ کے مساوات سے لکھی جاسکتی ہے۔

سمتی مقناطیسی دباؤ A کے کلیات دیگر اشکال کے کثافت برقی رو کے لئے بھی لکھا جاسکتے ہیں۔ یوں سطحی کثافت برقی رو K کے لئے برقی رو کے چھوٹے حصے کو

$$I dL = K dS$$

اور حجمی کثافت برقی رو J کے لئے

$$I dL = J dh$$

لکھے جاسکتے ہیں۔ لکیری برقی رو کے چھوٹے حصے کو عموماً $I dL$ لکھا جاتا ہے۔ یوں برقی رو کو غیر سمتی تصور کرتے ہوئے فاصلے کو سمتی تصور کیا جاتا ہے۔ اس کے برعکس مندرجہ بالا دو مساوات میں کثافت برقی رو کو سمتی مقدار تصور کیا گیا جبکہ تفرقی سطح dS اور تفرقی حجم dh کو غیر سمتی تصور کیا گیا۔ یوں A کے دیگر کچے

$$(7.90) \quad A = \int_S \frac{\mu_0 \mathbf{K} dS}{4\pi R}$$

اور

$$(7.91) \quad A = \int_h \frac{\mu_0 \mathbf{J} dh}{4\pi R}$$

ہیں۔

سمتی مقناطیسی دباؤ مختلف اشکال کے برقی رو اور کثافت برقی رو سے مندرجہ بالا مساوات کی مدد سے حاصل ہوتے ہیں۔ برقی دباؤ کی طرح سمتی مقناطیسی دباؤ کا زمین بھی لامحدود فاصلے پر رکھا جاتا ہے یعنی $R \rightarrow 0$ پر $A \rightarrow 0$ تصور کیا جاتا ہے۔ لامحدود فاصلے پر کوئی بھی برقی رو $R \rightarrow \infty$ کی بنا پر سمتی مقناطیسی دباؤ پر کوئی اثر نہیں ڈال سکتا۔

2254

مثال 7.6: رداس a کے موصل تار میں یکساں برقی رو I گزر رہی ہے۔ تار کے اندر B حاصل کرتے ہوئے A بھی حاصل کریں۔

حل: تار کو z محدد پر پڑا تصور کرتے ہیں۔ تار کے اندر ρ رداس کا بند دائرہ $\frac{I\pi\rho^2}{\pi a^2}$ برقی رو گھیرے گی لہذا اس دائرے پر $\mathbf{a}_\phi = \frac{\mu_0 I \rho}{2\pi a^2}$ ہوگا۔ آپ دیکھ سکتے ہیں کہ B کا صرف زاویائی جزو پایا جاتا ہے۔ یوں A کے گردش کو مساوات 7.55 کی مدد سے لکھتے ہوئے صرف زاویائی جزو لیتے ہیں۔ اس طرح

$$B_\phi = \frac{\partial A_\rho}{\partial z} - \frac{\partial A_z}{\partial \rho}$$

لکھا جاسکتا ہے۔ چونکہ برقی رو \mathbf{a}_z سمت میں ہے لہذا A کا صرف A_z جزو متوقع ہے لہذا مندرجہ بالا مساوات

$$B_\phi = -\frac{\partial A_z}{\partial \rho}$$

یعنی

$$-\frac{\partial A_z}{\partial \rho} = \frac{\mu_0 I \rho}{2\pi a^2}$$

صورت اختیار کر لے گا جس سے

$$A_z = \frac{\mu_0 I \rho^2}{4\pi a^2} + M$$

حاصل ہوتا ہے جہاں M تکمیل کا مستقل ہے۔

2256

2257

7.7 ساکن مقناطیسی میدان کے قوانین کا حصول

ساکن مقناطیس میدان کے تمام قوانین بائوٹ سیوارٹ کے قانون،

$$(7.92) \quad H = \oint \frac{I dL \times a_R}{4\pi R^2}$$

سمتی مقناطیسی دباؤ کے تعریف

$$(7.93) \quad B = \nabla \times A$$

اور مقناطیسی میدان کی شدت اور کثافت مقناطیسی بہاؤ کے تعلق

$$(7.94) \quad B = \mu_0 H$$

سے حاصل کئے جاسکتے ہیں۔ آئیں ایسا ہی کرتے ہیں۔ امید کی جاتی ہے کہ طلبہ و طالبات مندرجہ ذیل ثبوت کو سمجھتے ہوئے پڑھیں گے۔ آپ سے گزارش کی جاتی ہے کہ انہیں یاد کرنے کی کوشش نہ کریں۔

7.7.1 سمتی مقناطیسی دباؤ

سمتی مقناطیسی دباؤ کی مساوات

$$(7.95) \quad A = \int_h \frac{\mu_0 J dh}{4\pi R}$$

ثابت کرنے کی خاطر ہم اس سے بائوٹ سیوارٹ کا قانون یعنی مساوات 7.92 حاصل کرتے ہیں۔ مساوات 7.91 میں (x_2, y_2, z_2) پر سمتی مقناطیسی دباؤ دی گئی ہے جبکہ (x_1, y_1, z_1) وہ مقام ہے جہاں برقی رو گزارنا تار کا چھوٹا حصہ پایا جاتا ہے۔ یوں چھوٹے حجم کو dh_1 لکھیں گے جو $dx_1 dy_1 dz_1$ کے برابر ہوگا۔ مکمل کے متغیرات x_1, y_1, z_1 اور x_2, y_2, z_2 ہیں۔ یوں

$$(7.96) \quad A_2 = \int_h \frac{\mu_0 J_1 dh_1}{4\pi R_{21}}$$

لکھا جاسکتا ہے۔ اب

$$H_2 = \frac{B_2}{\mu_0} = \frac{\nabla_2 \times A_2}{\mu_0}$$

کے برابر ہے جہاں ∇_2 کے زیر نوشت میں 2 لکھ کر یاد دہانی کرائی گئی ہے کہ گردش نقطہ (x_2, y_2, z_2) پر حاصل کیا جائے گا لہذا گردش کے متغیرات بھی x_2, y_2, z_2 اور x_1, y_1, z_1 ہوں گے۔ آپ کو یاد ہوگا کہ صفحہ 108 پر مثال 4.4 میں ڈھلوان حاصل کرتے ہوئے بالکل اسی طرح کیا گیا تھا۔ یوں موجودہ مسئلے میں گردش حاصل کرتے وقت تمام تفرق x_2, y_2, z_2 اور x_1, y_1, z_1 کے ساتھ لئے جائیں گے۔

اس طرح مساوات 7.96 سے A_2 پر کرتے ہوئے

$$H_2 = \frac{1}{\mu_0} \nabla_2 \times \int_h \frac{\mu_0 J_1 dh_1}{4\pi R_{21}}$$

حاصل ہوتا ہے۔ گردش بنیادی طور پر تفرق کا عمل ہے۔ اس مساوات میں مکمل کا گردش حاصل کیا جا رہا ہے۔ مکمل اور تفرق جس ترتیب سے حاصل کئے جائیں، اس کا حاصل جواب پر کوئی اثر نہیں ہے لہذا ہم تفرق کے عمل کو مکمل کے اندر لے جاسکتے ہیں جبکہ $\frac{\mu_0}{4\pi}$ مستقل ہے جسے مکمل کے باہر لایا جاسکتا ہے۔ یوں

$$\mathbf{H}_2 = \frac{1}{4\pi} \int_h \nabla_2 \times \frac{\mathbf{J}_1 dh_1}{R_{21}}$$

لکھا جاسکتا ہے۔ یہاں $dh_1 = dx_1 dy_1 dz_1$ پہلے تو مقداری ہے جس کی گردش حاصل نہیں کی جاسکتی۔ اس کے علاوہ اس کا x_2, y_2 اور z_2 کے ساتھ تفرق صفر کے برابر ہے لہذا اسے گردش کے عمل سے باہر لکھا جاسکتا ہے یعنی

$$(7.97) \quad \mathbf{H}_2 = \frac{1}{4\pi} \int_h \left(\nabla_2 \times \frac{\mathbf{J}_1}{R_{21}} \right) dh_1$$

یہاں سمتیہ \mathbf{J} ضرب مقداری $\frac{1}{R_{21}}$ کا گردش لیا جا رہا ہے۔ مثال 7.2 میں کسی بھی سمتیہ \mathbf{S} اور مقداری M کے حاصل ضرب کی گردش

$$(7.98) \quad \nabla \times (M\mathbf{S}) \equiv (\nabla M) \times \mathbf{S} + M(\nabla \times \mathbf{S})$$

حاصل کی گئی۔ اس کی مدد سے مساوات 7.97 کو کھولتے ہیں جہاں سمتیہ \mathbf{J}_1 اور مقداری $\frac{1}{R_{21}}$ ہیں۔

$$(7.99) \quad \mathbf{H}_2 = \frac{1}{4\pi} \int_h \left[\left(\nabla_2 \frac{1}{R_{21}} \right) \times \mathbf{J}_1 + \frac{1}{R_{21}} (\nabla_2 \times \mathbf{J}_1) \right] dh_1$$

اس مساوات کے دوسرے جزو میں \mathbf{J}_1 صرف x_1, y_1 اور z_1 پر منحصر ہے۔ نقطہ (x_2, y_2, z_2) کا اس پر کسی قسم کا کوئی اثر نہیں لہذا \mathbf{J}_1 کے تمام تفرق جو x_2, y_2 اور z_2 کے ساتھ لئے جائیں صفر کے برابر ہوں گے۔ یوں $\nabla_2 \times \mathbf{J}_1 = 0$ ہو گا۔

2266

صفحہ 109 پر مساوات 4.48 کے استعمال سے مندرجہ بالا مساوات

$$\mathbf{H}_2 = -\frac{1}{4\pi} \int_h \frac{\mathbf{a}_{R21} \times \mathbf{J}_1}{R_{21}^2} dh_1$$

یا

$$\mathbf{H}_2 = \frac{1}{4\pi} \int_h \frac{\mathbf{J}_1 \times \mathbf{a}_{R21}}{R_{21}^2} dh_1$$

لکھی جاسکتی ہے۔ اس میں $\mathbf{J}_1 dh_1$ کی جگہ لکیری انداز میں $I d\mathbf{L}_1$ پر کرتے ہوئے اور بند مکمل لکھ کر جانی پہچانی بایوٹ سیوارٹ مساوات

$$\mathbf{H}_2 = \oint_h \frac{I d\mathbf{L}_1 \times \mathbf{a}_{R21}}{4\pi R_{21}^2}$$

حاصل ہوتی ہے۔ یوں ثابت ہوتا ہے کہ مساوات 7.96 درست ہے اور یہ مساوات، مساوات — اور مساوات پر پورا اترتا ہے۔

2267

7.7.2 ایمپیرر کا دوری قانون

آئیں اب ایمپیرر کے دوری قانون کی نقطہ شکل

$$(7.100) \quad \nabla \times \mathbf{H} = \mathbf{J}$$

کو بایوٹ سیوارٹ کے قانون سے حاصل کریں۔

2269

شروع کرتے ہیں مساوات 7.93 اور مساوات 7.94 سے جن سے

$$(7.101) \quad \nabla \times \mathbf{H} = \nabla \times \frac{\mathbf{B}}{\mu_0} = \frac{1}{\mu_0} \nabla \times \nabla \times \mathbf{A}$$

لکھا جاسکتا ہے۔ صفحہ 215 پر مساوات 7.41 استعمال کرتے ہوئے یوں

$$(7.102) \quad \nabla \times \mathbf{H} = \frac{1}{\mu_0} \left[\nabla (\nabla \cdot \mathbf{A}) - \nabla^2 \mathbf{A} \right]$$

لکھا جاسکتا ہے۔ مندرجہ بالا مساوات میں پھیلاؤ اور لاپلاسی کے عمل درکار ہیں۔

پھیلاؤ کو پہلے حل کرتے ہیں۔ مساوات 7.96 کی پھیلاؤ

$$(7.103) \quad \nabla_2 \cdot \mathbf{A}_2 = \frac{\mu_0}{4\pi} \int_h \nabla_2 \cdot \frac{\mathbf{J}_1}{R_{21}} dh_1$$

لکھی جاسکتی ہے۔ صفحہ 120 پر مثال 4.7 میں سمتیہ \mathbf{D} اور مقداری V کے لئے

$$\nabla \cdot (V\mathbf{D}) = V(\nabla \cdot \mathbf{D}) + \mathbf{D} \cdot (\nabla V)$$

ثابت کیا گیا۔ یہاں سمتیہ \mathbf{J}_1 جبکہ مقداری $\frac{1}{R_{21}}$ ہیں لہذا اس مساوات کو یوں لکھا جاسکتا ہے

$$(7.104) \quad \nabla \cdot \left(\frac{\mathbf{J}_1}{R_{21}} \right) = \frac{1}{R_{21}} (\nabla \cdot \mathbf{J}_1) + \mathbf{J}_1 \cdot \left(\nabla \frac{1}{R_{21}} \right)$$

جس کی مدد سے

$$(7.105) \quad \nabla_2 \cdot \mathbf{A}_2 = \frac{\mu_0}{4\pi} \int_h \left[\frac{1}{R_{21}} (\nabla_2 \cdot \mathbf{J}_1) + \mathbf{J}_1 \cdot \left(\nabla_2 \frac{1}{R_{21}} \right) \right] dh_1$$

ہوگا۔

چونکہ \mathbf{J}_1 صرف متغیرات x_1, y_1 اور z_1 پر منحصر ہے لہذا اس کے x_2, y_2 اور z_2 کے ساتھ تفرق صفر کے برابر ہوں گے لہذا $\nabla_2 \cdot \mathbf{J}_1 = 0$ ہوگا۔

ہم صفحہ 109 پر مساوات 4.50

$$\nabla_1 \frac{1}{R_{21}} = -\nabla_2 \frac{1}{R_{21}}$$

کو استعمال کرتے ہوئے یوں

$$(7.106) \quad \nabla_2 \cdot \mathbf{A}_2 = \frac{\mu_0}{4\pi} \int_h \left[-\mathbf{J}_1 \cdot \left(\nabla_1 \frac{1}{R_{21}} \right) \right] dh_1$$

لکھ سکتے ہیں۔ مساوات 7.104 کے دوبارہ استعمال سے

$$(7.107) \quad \nabla_2 \cdot \mathbf{A}_2 = \frac{\mu_0}{4\pi} \int_h \left[\frac{1}{R_{21}} (\nabla_1 \cdot \mathbf{J}_1) - \nabla_1 \cdot \left(\frac{\mathbf{J}_1}{R_{21}} \right) \right] dh_1$$

حاصل ہوتا ہے۔ مساوات 7.67 کہتی ہے کہ ساکن مقناطیسی میدان صرف اس صورت پیدا ہوگا جب $\nabla \cdot \mathbf{J} = 0$ ہو۔ چونکہ ہمیں ساکن مقناطیسی میدان سے ہی غرض ہے لہذا مندرجہ بالا مساوات میں سے

$$(7.108) \quad \nabla_2 \cdot \mathbf{A}_2 = -\frac{\mu_0}{4\pi} \int_h \nabla_1 \cdot \left(\frac{\mathbf{J}_1}{R_{21}} \right) dh_1$$

حاصل ہوتا ہے۔ صفحہ 87 پر مساوات 3.43 مسئلہ پھیلا و بیان کرتا ہے جس کے تحت حجمی مکمل کو سطحی مکمل کی صورت میں لکھا جاسکتا ہے۔ اسے استعمال کرتے ہوئے یوں

$$(7.109) \quad \nabla_2 \cdot \mathbf{A}_2 = -\frac{\mu_0}{4\pi} \oint_{S_1} \frac{\mathbf{J}_1}{R_{21}} \cdot d\mathbf{S}_1$$

حاصل ہوتا ہے جہاں سطح S_1 اس تمام حجم کو گھیرتی ہے جس پر حجمی مکمل حاصل کیا گیا تھا۔ چونکہ حجمی مکمل اس غرض سے حاصل کیا گیا تھا کہ ساکن مقناطیسی میدان پیدا کرنے والے برقی رو کو مکمل طور پر شامل کیا جائے لہذا اس حجم کے باہر کسی قسم کا کوئی برقی رو نہیں پایا جاتا۔ اگر حجم سے باہر کوئی بھی برقی رو ہوتی تب ہمیں حجم کو بڑھا کر اس برقی رو کے اثر کو بھی شامل کرنا ہوتا۔ ہم مکمل لیتے ہوئے حجم کو مزید بڑھا سکتے ہیں تاکہ اس کی سطح کو برقی رو نہ چھوئے۔ ہم ایسا اس لئے کر سکتے ہیں کہ برقی رو سے خالی حجم کے شمول سے مکمل کی قیمت تبدیل نہیں ہوتی۔ یوں ضرورت سے زیادہ حجم پر مکمل سے مراد یہ بھی ہے کہ سطحی مکمل ایسی سطح پر لی جائے جس پر کثافت برقی رو صفر کے برابر ہو۔ صفر کثافت برقی رو کا سطحی مکمل صفر کے برابر ہوتا ہے لہذا مندرجہ بالا مساوات سے

$$(7.110) \quad \nabla \cdot \mathbf{A} = 0$$

حاصل ہوتا ہے جو کہتا ہے کہ سمتی مقناطیسی دباؤ کا پھیلاؤ صفر کے برابر ہے۔ اس مساوات میں زیر نوشت میں 2 نہیں لکھا گیا ہے جو اس نقطے کی نشاندہی کرتا ہے جہاں مقناطیسی میدان کی بات ہو رہی ہو۔ پھیلاؤ بھی اسی نقطے پر حاصل کیا جاتا ہے۔ یاد رہے کہ ہم مساوات 7.102 حل کرنے کی خاطر پھیلاؤ اور لاپلاسی حاصل کرنے نکلے تھے۔ پھیلاؤ حاصل ہو چکا ہے آئیں اب لاپلاسی حاصل کریں۔

2275

برقی دباؤ اور سمتی مقناطیسی دباؤ کے ایک جزو

$$V = \int_h \frac{\rho}{4\pi\epsilon_0 R} dh$$

$$A_x = \int_h \frac{\mu_0 J_x}{4\pi R} dh$$

کا موازنہ کرنے سے صاف ظاہر ہے کہ ρ اور J_x کو آپس میں تبدیل کرتے ہوئے اور $\frac{1}{\epsilon_0}$ اور μ_0 کو آپس میں تبدیل کرتے ہوئے ایک مساوات سے دوسری مساوات حاصل کی جاسکتی ہے۔ اب ہم پوئسن مساوات

$$\nabla^2 V = -\frac{\rho}{\epsilon_0}$$

میں یہی تبدیلیاں کرتے ہوئے

$$\nabla^2 A_x = -\mu_0 J_x$$

اور

$$\nabla^2 A_y = -\mu_0 J_y$$

$$\nabla^2 A_z = -\mu_0 J_z$$

لکھ سکتے ہیں جنہیں یوں

$$(7.111) \quad \nabla^2 \mathbf{A} = -\mu_0 \mathbf{J}$$

بھی لکھا جاسکتا ہے۔

2276

مساوات 7.102 میں مساوات 7.110 اور مساوات 7.111 استعمال کرتے ہوئے یوں ایمپیر کے دوری قانون کی نقطہ شکل

(7.112)

$$\nabla \times \mathbf{H} = \mathbf{J}$$

2277

حاصل ہوتی ہے۔

2278

مثال 7.7: مندرجہ بالا حصے میں برقی دباؤ کے لاپلاسی سے سمتی مقناطیسی دباؤ کی لاپلاسی اخذ کی گئی۔ سمتی مقناطیسی دباؤ کے لاپلاسی کو ایمپیر کے دوری قانون اور \mathbf{A} کی تعریف سے حاصل کریں۔

2280

حل: ایمپیر کے دوری قانون کی نقطہ شکل اور \mathbf{A} کی تعریف

$$\begin{aligned}\nabla \times \mathbf{H} &= \mathbf{J} \\ \mathbf{B} &= \nabla \times \mathbf{A}\end{aligned}$$

سے

$$\nabla \times \nabla \times \mathbf{A} = \mu_0 \mathbf{J}$$

لکھا جاسکتا ہے جہاں $\mathbf{B} = \mu_0 \mathbf{H}$ کا استعمال کیا گیا ہے۔ صفحہ 215 پر مساوات 7.41 استعمال کرتے ہوئے

$$\nabla (\nabla \cdot \mathbf{A}) - \nabla^2 \mathbf{A} = \mu_0 \mathbf{J}$$

حاصل ہوتا ہے جسے مساوات 7.110 کی مدد سے

(7.113)

$$\nabla^2 \mathbf{A} = -\mu_0 \mathbf{J}$$

2281

لکھا جاسکتا ہے۔

2282

سوالات

سوال 7.1: لامحدود لمبائی کی سیدھی تار y محدود پڑی ہے۔ اس میں a_y جانب 5 mA برقی رو گزر رہی ہے۔ نقطہ $N(2, 5, 3)$ پر مقناطیسی میدان H اور $|H|$ حاصل کریں۔ اگر تار $x = 3$ ، $z = -1$ پر ہو تب جوابات کیا ہوں گے۔ دونوں تاروں کی موجودگی میں جوابات حاصل کریں۔

$$H = 371a_x - 75a_z \frac{\mu A}{m}, |H| = 193 \frac{\mu A}{m}, H = 187a_x + 47a_z \frac{\mu A}{m}, |H| = 221 \frac{\mu A}{m}, H = 184a_x - 122a_z \frac{\mu A}{m}, |H| = 378 \frac{\mu A}{m}$$

سوال 7.2: مساوات 7.11 حاصل کریں۔

سوال 7.3: سطح $z = 0$ پر y محدود کے متوازی لامحدود لمبائی کے آٹھ عدد تار پڑے ہیں جن میں a_y جانب 1 A برقی رو گزر رہی ہے۔ یہ تار $y = -3.5$ ، $y = -2.5$ ، $y = 2.5$ ، $y = 3.5$ پر پائے جاتے ہیں۔ نقطہ $(0, 0, 1)$ اور $(0, 0, 50)$ پر H حاصل کریں۔

جوابات: $0.421a_x$ ، $0.0254a_x$ ؛ محدود پچاس گنا دور میدان صرف سترہ گنا کم ہے۔

سوال 7.4: چار میٹر لمبے تار کو پچور کی شکل دی جاتی ہے جس کا رقبہ $1 m^2$ ہے۔ اس پچور کو $z = 0$ سطح پر رکھا جاتا ہے۔ تار میں برقی رو 10 mA گزرنے کی صورت میں پچور کے وسط $N(0, 0, 0)$ میں مقناطیسی میدان H حاصل کریں۔ نقطہ $P(0, 0, 1)$ پر بھی میدان حاصل کریں۔

جوابات: $9 \frac{mA}{m}$ ، $2.3 \frac{mA}{m}$

سوال 7.5: شکل 7.8 کے لامحدود سطح سے پیدا مقناطیسی میدان بائوٹ-سیوارٹ کے قانون کی مدد سے حاصل کریں۔

سوال 7.6: ایک تار کو دائری شکل دے کر سطح $z = 0$ پر رکھا جاتا ہے۔ دائرے کا رقبہ $1 m^2$ ہے۔ تار میں 10 mA گزرنے کی صورت میں دائرے کے وسط $N(0, 0, 0)$ میں مقناطیسی میدان H حاصل کریں۔ نقطہ $P(0, 0, 1)$ پر بھی میدان حاصل کریں۔

جوابات: $2.82 \frac{mA}{m}$ ، $1.86 \frac{mA}{m}$

سوال 7.7: محدود x اور y میں بڑھتے جانب 55 mA برقی رو گزر رہی ہے۔ نقطہ $N(5, 6, 4)$ پر H حاصل کریں۔

جواب: $854a_x - 673a_y - 57a_z \frac{\mu A}{m}$

سوال 7.8: مساوات 7.23 حاصل کرنے کے طرز پر شکل 7.11 میں 3 تا 4 پر H_{y34} حاصل کریں۔

جواب: شرح $\frac{\partial H_y}{\partial x}$ ہے۔ یوں $-\frac{\Delta x}{2}$ تبدیلی سے $\frac{\partial H_y}{\partial x}(-\frac{\Delta x}{2})$ تبدیلی رونما ہوگی اور یوں نئی قیمت $H_{y0} - \frac{\partial H_y}{\partial x} \frac{\Delta x}{2}$ ہوگی۔

سوال 7.9: عمومی محدود میں حاصل کردہ گردش کی مساوات سے کارتیسی محدود میں گردش کی مساوات حاصل کریں۔

سوال 7.10: سطحی رو $K = \frac{8}{\rho} a_\phi \frac{\text{A}}{\text{m}}$ خطہ $\rho = 3 \text{ m}$ تا $\rho = 7 \text{ m}$ میں پائی جاتی ہے۔ سطح $\phi = 0$ سے گزرتی کل برقی رو حاصل کریں۔ نقطہ $N(0, 0, z)$ پر H حاصل کرتے ہوئے میدان کی قیمت $z = 10$ پر دریافت کریں۔

2308

جوابات: $I = 8 \ln \frac{7}{3} \text{ A}$ ، $H = \left[\frac{4}{\sqrt{z^2+3^2}} - \frac{4}{\sqrt{z^2+7^2}} \right] a_z$ ، $55.4 \frac{\text{mA}}{\text{m}}$

2309

سوال 7.11: سطحی رو $K = 8\rho a_\phi \frac{\text{A}}{\text{m}}$ خطہ $\rho = 3 \text{ m}$ تا $\rho = 7 \text{ m}$ میں پائی جاتی ہے۔ سطح $\phi = 0$ سے گزرتی کل برقی رو حاصل کریں۔ نقطہ $N(0, 0, z)$ پر H حاصل کرتے ہوئے میدان کی قیمت $z = 10$ پر دریافت کریں۔

2311

جوابات: $I = 160 \text{ A}$ ، $H = 4 \left[\frac{2z^2+49}{\sqrt{(z^2+49)}} - \frac{2z^2+9}{\sqrt{z^2+9}} \right] a_z$ ، $1.52 \frac{\text{A}}{\text{m}}$

2312

2313

سوال 7.12: عمومی محدود میں حاصل کردہ گردش کی مساوات سے نکلی محدود میں گردش کی مساوات حاصل کریں۔

2314

2315

سوال 7.13: رداس a کے دائری چادر پر یکساں سطحی کثافت چارج ρ_s پائی جاتی ہے۔ چادر کے محور کو محدود کے مرکز پر رکھتے ہوئے چادر کو سطح $z = 0$ پر رکھا جاتا ہے۔ اگر چادر محور کے گرد زاویائی رفتار ω سے گھوم رہی ہو تب نقطہ $N(0, 0, z)$ پر مقناطیسی میدان H کیا ہوگا؟ میدان کی قیمت $\rho_s = 5 \frac{\mu\text{C}}{\text{m}^2}$ اور $\omega = 100\pi \frac{\text{rad}}{\text{s}}$ کی صورت میں $(0, 0, 0.1)$ پر حاصل کریں۔

2318

جوابات: $\left[\frac{2z^2+4}{\sqrt{z^2+4}} - 2z \right] \frac{\omega \rho_s}{2}$ ، $1.42 \frac{\text{mA}}{\text{m}}$

2319

سوال 7.14: سطح $z = 0$ پر خطہ $x = -3 \text{ m}$ تا $x = 3 \text{ m}$ پر سطحی برقی رو $K = 4ay \frac{\text{A}}{\text{m}}$ پائی جاتی ہے۔ نقطہ $N(0, 0, 5)$ پر مقناطیسی میدان حاصل کریں۔

2321

جواب: $0.688 a_x \frac{\text{A}}{\text{m}}$

2322

سوال 7.15: گول دائرے پر برقی رو کا دائرے کے محور سے ہٹ کر مقناطیسی میدان کی شدت حاصل کرتے ہوئے مساوات 7.78 میں دئے بیضوی تکمل حاصل کئے گئے۔ ان میں H_y کا عددی حل مثال 7.5 میں حاصل کیا گیا۔ بالکل اسی طرز پر تکمل کو دس ٹکڑوں میں کرتے ہوئے H_z کی عددی قیمت نقطہ $N(0, a, a)$ پر حاصل کریں۔

2325

جواب: $0.96525 \left(\frac{I}{4\pi a} \right)$

2326

2327

سوال 7.16: سطح $x = 0$ پر سطحی برقی رو $1200 a_z \frac{\text{A}}{\text{m}}$ پائی جاتی ہے۔ خطہ $0 < z < \infty$ ، $5 < y < 15$ پر برقی رو سے نقطہ $N(10, 0, 0)$ پر پیدا مقناطیسی میدان H حاصل کریں۔

2329

جواب: $H = 45.6 a_x + 49.6 a_y \frac{\text{A}}{\text{m}}$

2330

سوال 7.17: خطہ $0 < z < 5$ میں یکساں کثافت برقی رو $15 a_y \frac{\text{A}}{\text{m}^2}$ پائی جاتی ہے۔ ایمپیر کے دوری قانون کی مدد سے ثابت کریں کہ $H_{z=0} = -H_{z=5}$ کے برابر ہے۔ نقطہ $(2, 5, 7)$ اور نقطہ $(4, 12, 2)$ پر H حاصل کریں۔

2332

جوابات: $37.5a_x \frac{A}{m}$ ، $-7.5a_x \frac{A}{m}$

سوال 7.18: متحدہ کے مرکز پر رداس a کا موصل کرہ پایا جاتا ہے۔ منفی z محور پر $10a_z A$ کی برقی رو، کرہ کی سطح پر نقطہ $(0, 0, -a)$ تک پہنچتی ہے جہاں سے یہ کرہ کے سطح پر یکساں پھیل کر نقطہ $(0, 0, a)$ تک پہنچتی ہے اور اس کے بعد مثبت z محور پر بڑھتے جانب چلے جاتی ہے۔ کرہ کے اندر اور اس کے باہر مقناطیسی میدان حاصل کریں۔

جوابات: $0 \frac{A}{m}$ ، $\frac{10}{2\pi\rho} a_\phi \frac{A}{m}$

سوال 7.19: منفی z محور سے برقی رو I موصل $\theta = 30^\circ$ سطح تک پہنچ کر سطح پر یکساں پھیل کر چلے جاتی ہے۔ نقطہ $(0, 0, z)$ اور نقطہ $(5, 5, 5)$ پر مقناطیسی میدان H حاصل کریں۔

جوابات: $0 \frac{A}{m}$ ، $\frac{I}{2\pi\sqrt{50}} \frac{A}{m}$

سوال 7.20: تفاعل $G = (5x + yz)a_x + 3xyz a_y + \frac{x^2 y}{z} a_z$ نقطہ $N(0.6, 0.4, 0.2)$ اور اس کے قریب پایا جاتا ہے۔ سطح $z = 0.2$ پر $2a$ لمبائی کے اطراف کے مربع لکیر پر $\oint G \cdot dL$ حاصل کریں جہاں مربع کا مرکز نقطہ N پر ہے۔ لکیری مکمل کو مربع کے رقبے سے تقسیم کریں اور $a \rightarrow 0$ لیتے ہوئے $\nabla \times G_z$ حاصل کریں۔

جوابات: چاروں اطراف کے لکیری مکمل $0.48a^2 + 0.288a$ ، $0.48a^2 - 0.288a$ ، $-0.4a^2 + 6.16a$ اور $-0.4a^2 - 6.16a$ ہیں۔ $\nabla \times G_z = 0.04$ ہے۔

سوال 7.21: مساوات 7.34 استعمال کرتے ہوئے تفاعل $G = (5x + yz)a_x + 3xyz a_y + \frac{x^2 y}{z} a_z$ کا نقطہ $N(0.6, 0.4, 0.2)$ پر $\nabla \times G$ حاصل کریں۔ سوال 7.20 میں حاصل کئے گئے $\nabla \times G_z$ کے ساتھ موازنہ کریں۔

جواب: $1.08a_x - 2a_y + 0.04a_z$

سوال 7.22: ہم محوری تار میں $E = 3000\rho^{1.3} \cos(\omega t - 0.3z)a_\rho \frac{V}{m}$ پایا جاتا ہے۔ تار میں $\nabla \times E$ حاصل کریں۔

جواب: $900\rho^{1.3} \sin(\omega t - 0.3z)a_\phi$

سوال 7.23: میدان $V = 5(x^2 + y^2)$ اور $V = 10x^3 + y^2 + xz^4$ کے لئے $\nabla^2 V$ اور $\nabla \times E$ حاصل کریں۔

جوابات: 0 ، $60x + 2 + 12xz^2$ ، 0 ، 20

سوال 7.24: میدان $H = x^2 y^2 z a_x - x y^2 z^2 a_z$ دیا گیا ہے۔ مسئلہ سٹوکس کے دونوں اطراف باری باری استعمال کرتے ہوئے، سطح $xy = 1$ میں خطہ $1 < x < 2$ ، $1 < z < 3$ سے a_y جانب گزرتی برقی رو حاصل کریں۔

جواب: $13.3 A$

سوال 7.25: میدان $H = \frac{2xy}{z^2}a_x - \frac{y^2}{z^2}a_y + x^2y^2a_z$ دیا گیا ہے۔ سطح $x = 0.5$ میں خطہ $1 < y < 2$ ، $2 < z < 3$ سے a_x جانب گزرتی برقی رو درکار ہے۔ الف) برقی رو کو بذریعہ سطحی مکمل حاصل کریں۔ ب) برقی رو کو بذریعہ لکیری مکمل حاصل کریں

جواب: 0.426 A

سوال 7.26: کروی محدود میں میدان $H = \frac{50r}{\sin\theta}a_\phi$ دیا گیا ہے۔ مسئلہ سٹوکس کے دونوں اطراف باری باری استعمال کرتے ہوئے کروی خطہ $r = 0.2$ ، $0 < \phi < 2\pi$ ، $0 < \theta < 60^\circ$ سے گزرتی برقی رو حاصل کریں۔

جواب: 5.44 A

سوال 7.27: میدان $H = \frac{4r^2}{\sin\theta}a_\theta + 50r \sin\theta a_\phi$ دیا گیا ہے۔ سطح $\theta = 45^\circ$ میں خطہ $0 < r < 3$ ، $0 < \phi < 2\pi$ سے a_θ جانب گزرتی برقی رو حاصل کریں۔

جواب: -1414 A

سوال 7.28: پاکستان میں کل زمینی مقناطیسی میدان $45 \mu T$ تا $50 \mu T$ پایا جاتا ہے جس کا افقی جزو اوسطاً $30 \mu T$ کے لگ بھگ ہے۔ ایک تار جس میں $1A$ کی برقی رو گزر رہی ہو، کتنے فاصلے پر زمینی میدان کے افقی جزو برابر مقناطیسی میدان پیدا کرے گی۔

جواب: 4.2 cm

سوال 7.29: بیس سنٹی میٹر لمبائی اور پانچ سنٹی میٹر رداس کا پچھدار لچھا جس میں برقی رو گزر رہی ہو میں مقناطیسی میدان $H = 200a_z \frac{A}{m}$ پایا جاتا ہے۔ نقطہ $\nabla \times B = A$ کے درمیان غیر سمتی مقناطیسی دباؤ V_{m21} حاصل کریں۔ سمتی مقناطیسی دباؤ $N_1(0.02, 0^\circ, 0.02)$ اور $N_2(0.04, 50^\circ, 0.06)$ کے درمیان غیر سمتی مقناطیسی دباؤ V_{m21} حاصل کریں۔ یہ مساوات استعمال کرتے وقت A کا دباؤ سے حاصل کرتے ہوئے $\rho = 0$ پر $A = 0$ لیتے ہوئے انہیں دو نقطوں کے مابین A_{21} حاصل کریں۔ یہ مساوات استعمال کرتے وقت A کا دباؤ سے جزو اپنے علم سے چنیں۔

جوابات: $2.5a_\phi \frac{\mu Wb}{m}$ ، $-8 A$

سوال 7.30: نکلی کثافت برقی رو $50a_z \frac{A}{m}$ رداس $\rho = 2m$ پر پائی جاتی ہے جبکہ رداس $\rho = 4m$ پر $25a_z \frac{A}{m}$ اور رداس $\rho = 5m$ پر $-40a_z \frac{A}{m}$ پائے جاتے ہیں۔ زاویہ $\phi = 0$ پر $V_m = 0$ لیتے اور $\phi = 180^\circ$ کو رکاوٹ تصور کرتے ہوئے نقطہ $N_1(3.5, 60^\circ, 0)$ پر غیر سمتی مقناطیسی دباؤ V_m حاصل کریں۔

جوابات: -66.6 A

سوال 7.31: سطح $z = 0$ پر تار $x = 4$ میں $0.2 A$ کی برقی رو a_y جانب پائی جاتی ہے جبکہ تار $x = -4$ میں $0.2 A$ برقی رو $-a_y$ جانب پائی جاتی ہے۔ محدود کے مرکز پر $V_m = 0$ لیتے ہوئے z محدود پر غیر سمتی مقناطیسی دباؤ V_m حاصل کریں۔

جواب: $A \tan^{-1} \frac{z}{4}$

ڈھلوان، پھیلاؤ، گردش اور لاپلاسی

5406

کارتیسی محدود

5407

$$\begin{aligned}\nabla f &= \frac{\partial f}{\partial x} \mathbf{a}_x + \frac{\partial f}{\partial y} \mathbf{a}_y + \frac{\partial f}{\partial z} \mathbf{a}_z \\ \nabla \cdot \mathbf{A} &= \frac{\partial A_x}{\partial x} + \frac{\partial A_y}{\partial y} + \frac{\partial A_z}{\partial z} \\ \nabla \times \mathbf{A} &= \left(\frac{\partial A_z}{\partial y} - \frac{\partial A_y}{\partial z} \right) \mathbf{a}_x + \left(\frac{\partial A_x}{\partial z} - \frac{\partial A_z}{\partial x} \right) \mathbf{a}_y + \left(\frac{\partial A_y}{\partial x} - \frac{\partial A_x}{\partial y} \right) \mathbf{a}_z = \begin{vmatrix} \mathbf{a}_x & \mathbf{a}_y & \mathbf{a}_z \\ \frac{\partial}{\partial x} & \frac{\partial}{\partial y} & \frac{\partial}{\partial z} \\ A_x & A_y & A_z \end{vmatrix} \\ \nabla^2 f &= \frac{\partial^2 f}{\partial x^2} + \frac{\partial^2 f}{\partial y^2} + \frac{\partial^2 f}{\partial z^2}\end{aligned}$$

5408

نلکی محدود

$$\begin{aligned}\nabla f &= \frac{\partial f}{\partial \rho} \mathbf{a}_\rho + \frac{1}{\rho} \frac{\partial f}{\partial \phi} \mathbf{a}_\phi + \frac{\partial f}{\partial z} \mathbf{a}_z \\ \nabla \cdot \mathbf{A} &= \frac{1}{\rho} \frac{\partial(\rho A_\rho)}{\partial \rho} + \frac{1}{\rho} \frac{\partial A_\phi}{\partial \phi} + \frac{\partial A_z}{\partial z} \\ \nabla \times \mathbf{A} &= \left(\frac{1}{\rho} \frac{\partial A_z}{\partial \phi} - \frac{\partial A_\phi}{\partial z} \right) \mathbf{a}_\rho + \left(\frac{\partial A_\rho}{\partial z} - \frac{\partial A_z}{\partial \rho} \right) \mathbf{a}_\phi + \frac{1}{\rho} \left(\frac{\partial(\rho A_\phi)}{\partial \rho} - \frac{\partial A_\rho}{\partial \phi} \right) \mathbf{a}_z = \begin{vmatrix} \frac{1}{\rho} \mathbf{a}_\rho & \mathbf{a}_\phi & \frac{1}{\rho} \mathbf{a}_z \\ \frac{\partial}{\partial \rho} & \frac{\partial}{\partial \phi} & \frac{\partial}{\partial z} \\ A_\rho & \rho A_\phi & A_z \end{vmatrix} \\ \nabla^2 f &= \frac{1}{\rho} \frac{\partial}{\partial \rho} \left(\rho \frac{\partial f}{\partial \rho} \right) + \frac{1}{\rho^2} \frac{\partial^2 f}{\partial \phi^2} + \frac{\partial^2 f}{\partial z^2} = \frac{\partial^2 f}{\partial \rho^2} + \frac{1}{\rho} \frac{\partial f}{\partial \rho} + \frac{1}{\rho^2} \frac{\partial^2 f}{\partial \phi^2} + \frac{\partial^2 f}{\partial z^2}\end{aligned}$$

5409

کروی محدود

$$\begin{aligned}\nabla f &= \frac{\partial f}{\partial r} \mathbf{a}_r + \frac{1}{r} \frac{\partial f}{\partial \theta} \mathbf{a}_\theta + \frac{1}{r \sin \theta} \frac{\partial f}{\partial \phi} \mathbf{a}_\phi \\ \nabla \cdot \mathbf{A} &= \frac{1}{r^2} \frac{\partial(r^2 A_r)}{\partial r} + \frac{1}{r \sin \theta} \frac{\partial(\sin \theta A_\theta)}{\partial \theta} + \frac{1}{r \sin \theta} \frac{\partial A_\phi}{\partial \phi} \\ \nabla \times \mathbf{A} &= \frac{1}{r \sin \theta} \left[\frac{\partial(\sin \theta A_\phi)}{\partial \theta} - \frac{\partial A_\theta}{\partial \phi} \right] \mathbf{a}_r + \frac{1}{r} \left(\frac{1}{\sin \theta} \frac{\partial A_r}{\partial \phi} - \frac{\partial(r A_\phi)}{\partial r} \right) \mathbf{a}_\theta + \frac{1}{r} \left(\frac{\partial(r A_\theta)}{\partial r} - \frac{\partial A_r}{\partial \theta} \right) \mathbf{a}_\phi \\ \nabla^2 f &= \frac{1}{r^2} \frac{\partial}{\partial r} \left(r^2 \frac{\partial f}{\partial r} \right) + \frac{1}{r^2 \sin \theta} \frac{\partial}{\partial \theta} \left(\sin \theta \frac{\partial f}{\partial \theta} \right) + \frac{1}{r^2 \sin^2 \theta} \frac{\partial^2 f}{\partial \phi^2}\end{aligned}$$

$$\begin{aligned}
\nabla f &= \frac{1}{k_1} \frac{\partial f}{\partial u} \mathbf{a}_u + \frac{1}{k_2} \frac{\partial f}{\partial v} \mathbf{a}_v + \frac{1}{k_3} \frac{\partial f}{\partial w} \mathbf{a}_w \\
\nabla \cdot \mathbf{A} &= \frac{1}{k_1 k_2 k_3} \left(\frac{\partial(k_2 k_3 A_u)}{\partial u} + \frac{\partial(k_3 k_1 A_v)}{\partial v} + \frac{\partial(k_1 k_2 A_w)}{\partial w} \right) \\
\nabla \times \mathbf{A} &= \frac{1}{k_2 k_3} \left[\frac{\partial(k_3 A_w)}{\partial v} - \frac{\partial(k_2 A_v)}{\partial w} \right] \mathbf{a}_u + \frac{1}{k_3 k_1} \left[\frac{\partial(k_1 A_u)}{\partial w} - \frac{\partial(k_3 A_w)}{\partial u} \right] \mathbf{a}_v \\
&\quad + \frac{1}{k_1 k_2} \left[\frac{\partial(k_2 A_v)}{\partial u} - \frac{\partial(k_1 A_u)}{\partial v} \right] \mathbf{a}_w \\
\nabla^2 f &= \frac{1}{k_1 k_2 k_3} \left[\frac{\partial}{\partial u} \left(\frac{k_2 k_3}{k_1} \frac{\partial f}{\partial u} \right) + \frac{\partial}{\partial v} \left(\frac{k_3 k_1}{k_2} \frac{\partial f}{\partial v} \right) + \frac{\partial}{\partial w} \left(\frac{k_1 k_2}{k_3} \frac{\partial f}{\partial w} \right) \right]
\end{aligned}$$

$$\mathbf{F} \cdot \mathbf{G} = FG \cos \theta \quad \text{غیر سمتی (نقطہ) ضرب}$$

$$\theta = \cos^{-1} \left(\frac{\mathbf{F} \cdot \mathbf{G}}{FG} \right)$$

$$\mathbf{F} \times \mathbf{G} = FG \sin \theta \mathbf{a}_N \quad \text{سمتی (صلیبی) ضرب}$$

$$\theta = \sin^{-1} \left[\frac{(\mathbf{F} \times \mathbf{G}) \cdot \mathbf{a}_N}{FG} \right]$$

$$\nabla \cdot (\nabla \times \mathbf{F}) = 0$$

$$\nabla \cdot \nabla f = \nabla^2 f$$

$$\nabla \times \nabla f = 0$$

$$\nabla(f + g) = \nabla f + \nabla g$$

$$\nabla \cdot (\mathbf{F} + \mathbf{G}) = \nabla \cdot \mathbf{F} + \nabla \cdot \mathbf{G}$$

$$\nabla \times (\mathbf{F} + \mathbf{G}) = \nabla \times \mathbf{F} + \nabla \times \mathbf{G}$$

$$\nabla(fg) = f\nabla g + g\nabla f$$

$$\nabla \cdot (f\mathbf{G}) = f(\nabla \cdot \mathbf{G}) + \mathbf{G} \cdot (\nabla f)$$

$$\nabla \times (f\mathbf{G}) = f(\nabla \times \mathbf{G}) + (\nabla f) \times \mathbf{G}$$

$$\nabla \times (\nabla \times \mathbf{F}) = \nabla(\nabla \cdot \mathbf{F}) - \nabla^2 \mathbf{F}$$

جہاں $\nabla^2 \mathbf{F}$ سے مراد

$$\nabla^2 \mathbf{F} = \nabla^2 F_x \mathbf{a}_x + \nabla^2 F_y \mathbf{a}_y + \nabla^2 F_z \mathbf{a}_z$$

ہے۔

$$\begin{aligned}
\nabla \cdot (\mathbf{F} \times \mathbf{G}) &= \mathbf{G} \cdot (\nabla \times \mathbf{F}) - \mathbf{F} \cdot (\nabla \times \mathbf{G}) \\
\mathbf{F} \cdot (\mathbf{G} \times \mathbf{H}) &= \mathbf{G} \cdot (\mathbf{H} \times \mathbf{F}) = \mathbf{H} \cdot (\mathbf{F} \times \mathbf{G}) \\
\nabla \times (\mathbf{F} \times \mathbf{G}) &= \mathbf{F}(\nabla \cdot \mathbf{G}) - \mathbf{G}(\nabla \cdot \mathbf{F}) + (\mathbf{G} \cdot \nabla)\mathbf{F} - (\mathbf{F} \cdot \nabla)\mathbf{G} \\
\nabla(\mathbf{F} \cdot \mathbf{G}) &= (\mathbf{F} \cdot \nabla)\mathbf{G} + (\mathbf{G} \cdot \nabla)\mathbf{F} + \mathbf{F} \times (\nabla \times \mathbf{G}) + \mathbf{G} \times (\nabla \times \mathbf{F})
\end{aligned}$$

5412

سطحی اور حجمی تکمیل کے تعلق

مندرجہ ذیل تین مساوات میں دائیں جانب حجمی تکمیل کے حجم کو بائیں جانب سطحی تکمیل کی سطح گھیرتی ہے۔

$$\begin{aligned}
\oint_S f \, dS &= \int_h \nabla f \, dh \\
\oint_S \mathbf{F} \cdot d\mathbf{S} &= \int_h \nabla \cdot \mathbf{F} \, dh \quad \text{مسئلہ پھیلاؤ} \\
\oint_S \mathbf{a}_N \times \mathbf{F} \, dS &= \int_h \nabla \times \mathbf{F} \, dh
\end{aligned}$$

5413

خطی اور سطحی تکمیل کے تعلق

مندرجہ ذیل دو مساوات میں دائیں جانب سطحی تکمیل کی سطح کو بائیں جانب خطی تکمیل کی بند راہ گھیرتی ہے۔

$$\begin{aligned}
\oint_l f \, dl &= \int_S \mathbf{a}_N \times \nabla f \, dS \\
\oint_l \mathbf{F} \cdot dl &= \int_S (\nabla \times \mathbf{F}) \cdot d\mathbf{S} \quad \text{مسئلہ سٹوکس}
\end{aligned}$$

⁵⁴⁰complex permittivity

dispersion

try⁵⁴¹ to resolve the issue of using k and γ as propagation constants

kraus p473 fig 10-60 sec 10.18 and 10.19, 10.17,10.16,10.15,10.11 or do the entire chap9 and 10 transmission from kraus too

fourier transform sec 14.8 of kraus must draw the figures

charge is barqi bar and let the reader figure out which bar is meant

degree angle and degree celcius, ohm, micro etc not showing

kraus p581 mentions three types of impedances: intrinsic, characteristic and transverse. ensure that i too⁵⁴³ have these distinctions

kraus fig-13.28 and fig 13.29 and table 13.3 (on p577) are v. impt

Huygens improvements

figTransmissionSmithFromInternet.tex is not giving the figure of the book

the answers should be at the end of the book

handle all side notes () and remove the corresponding text

read chapter 9 onwards (proof reading)

antenna chapter, 3D figure at start and complete the start section.

house completion certificate.

zaryab fish

$F = \frac{dW}{dT}$ to include in inductance chapter plus a question or two

magnetization curve and an iteration example. fig 8.10, 11 of hayt.

add questions to machine book too.

⁵⁴³⁶

when giving fields always remember the following rules:

always ensure that divergence of magnetic field is zero.

moving waves must be of the form $E = E_0 \cos(\omega t - kz)$ where $c = (\mu * \epsilon)^{-0.5}$ and $k = 2 * \pi / \lambda$

include complex permittivity (7th ed Q12.18 says $\sigma = \omega \epsilon''$)

include 4th ed fig 11.11 of page 422

جدول 15.1: σ

$\sigma, \frac{\text{S}}{\text{m}}$	چیز	$\sigma, \frac{\text{S}}{\text{m}}$	چیز
7×10^4	گرفتار	6.17×10^7	چاندی
1200	سلیکان	5.80×10^7	تانبا
100	فیرائٹ (عمومی قیمت)	4.10×10^7	سونا
5	سمندری پانی	3.82×10^7	المونیم
10^{-2}	چھونا پتھر	1.82×10^7	ٹنگسٹن
5×10^{-3}	چکنی مٹی	1.67×10^7	جست
10^{-3}	تازہ پانی	1.50×10^7	پیتل
10^{-4}	مقطر پانی	1.45×10^7	نکل
10^{-5}	ریتیلی مٹی	1.03×10^7	لوہا
10^{-8}	سنگ مرمر	0.70×10^7	قلعی
10^{-9}	بیک لائٹ	0.60×10^7	کاربن سٹیل
10^{-10}	چینی مٹی	0.227×10^7	مینگنیں
2×10^{-13}	بیرا	0.22×10^7	جرمنیم
10^{-16}	پولیسٹرین پلاسٹک	0.11×10^7	سٹینلس سٹیل
10^{-17}	کوارٹس	0.10×10^7	نائیکروم

جدول 15.2: $\sigma/\omega\epsilon$ and ϵ_R

$\sigma/\omega\epsilon$	ϵ_R	چیز
	1	خالی خلاء
	1.0006	ہوا
0.0006	8.8	المونیم آکسائیڈ
0.002	2.7	عنبر
0.022	4.74	بیک لائٹ
	1.001	کاربن ڈائی آکسائیڈ
	16	جرمنیم
0.001	4 تا 7	شیشہ
0.1	4.2	برف
0.0006	5.4	ابرق
0.02	3.5	نائلون
0.008	3	کاغذ
0.04	3.45	پلیکسی گلاس
0.0002	2.26	پلاسٹک (تھیلا بنانے والا)
0.000 05	2.55	پولیسٹرین
0.014	6	چینی مٹی
0.0006	4	ہائریکس شیشہ (برتن بنانے والا)
0.000 75	3.8	کوارٹس
0.002	2.5 تا 3	ریڑ
0.000 75	3.8	سلیکا SiO_2
	11.8	سلیکان
0.5	3.3	قدرتی برف
0.0001	5.9	کھانے کا نمک
0.07	2.8	خشک مٹی
0.0001	1.03	سٹائروفوم
0.0003	2.1	ٹیفلان
0.0015	100	ٹائٹینیم ڈائی آکسائیڈ
0.04	80	مقطر پانی
4		سمندری پانی
0.01	1.5 تا 4	خشک لکڑی

جدول 15.3: μ_R

μ_R	چیز
0.999 998 6	بسمت
0.999 999 42	پیرافین
0.999 999 5	لکڑی
0.999 999 81	چاندی
1.000 000 65	المونیم
1.000 000 79	بیریلم
50	نکل
60	ڈھلوان لوہا
300	مشین سٹیل
1000	فیرائٹ (عمومی قیمت)
2500	پریم بھرت (permalloy)
3000	ٹرانسفارمر پتری
3500	سیلکان لوہا
4000	خالص لوہا
20 000	میو میٹل (mumetal)
30 000	سنڈسٹ (sendust)
100 000	سوپریم بھرت (supermalloy)

جدول 15.4: اہم مستقل

قیمت	علامت	چیز
$(1.602\,189\,2 \pm 0.000\,004\,6) \times 10^{-19} \text{ C}$	e	الیکٹران چارج
$(9.109\,534 \pm 0.000\,047) \times 10^{-31} \text{ kg}$	m	الیکٹران کمیت
$(8.854\,187\,818 \pm 0.000\,000\,071) \times 10^{-12} \frac{\text{F}}{\text{m}}$	ϵ_0	برقی مستقل (خالی خلاء)
$4\pi 10^{-7} \frac{\text{H}}{\text{m}}$	μ_0	مقناطیسی مستقل (خالی خلاء)
$(2.997\,924\,574 \pm 0.000\,000\,011) \times 10^8 \frac{\text{m}}{\text{s}}$	c	روشنی کی رفتار (خالی خلاء)

